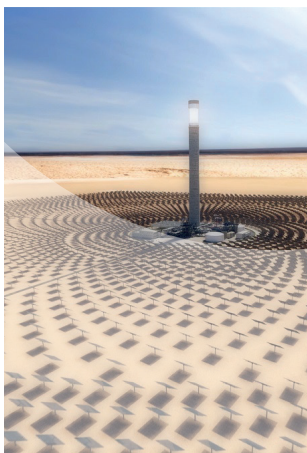
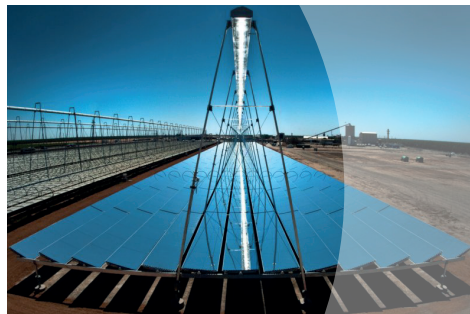


تكنولوجيا محطات المركبات الشمسية



**Concentrating
Solar Plant
Technologies
CSP**



**مراجعة دكتور مهندس
محمد موسى عمران**

**دكتور مهندس
كاميليا يوسف محمد**

العقارية هي:

1 % من الإلهام

99 % من السعي الجاد

توماس إدson

مقدمة

كشفت أزمة البترول في عام 1970 عن مدى أهمية الوقود الأحفوري كمصدر للطاقة في العالم، ومنذ ذلك الحين لاقت الأبحاث العلمية في مجال تكنولوجيا الطاقات المتجددة مثل الطاقة الشمسية وطاقة الرياح إهتماماً واسعاً.

تنصف الطاقة الشمسية بأنها المصادر الطاقة البديلة نظراً لأنها غير ملوثة للبيئة ولا يصدر عنها غازات الإحتباس الحراري المؤثر على المناخ العالمي والناجمة من استخدام الوقود الأحفوري، أي أن الطاقة الشمسية ليس لها آثار سلبية كما أنها مقبولة بيئياً. ومع تطور الأبحاث العلمية مستقبلاً، سوف تنخفض تكاليف الطاقة الكهروشمسية وتزيد كفاءتها وستصبح الطاقة الشمسية عالمياً هي المصدر الرئيسي للطاقات المتجددة نظراً لإمكانياتها الهائلة ومزاياها طويلة المدى.

تعتبر جمهورية مصر العربية من أكثر الدول التي تتميز بالسطوع الشمسي طوال العام لذا اتجهت الدولة ممثلة في قطاع الكهرباء والطاقة المتجددة لاستغلال الطاقة الشمسية وخاصة في انتاج الطاقة الكهربائية مباشرة باستخدام تكنولوجيا الفوتوفولتية، أو انتاج طاقة كهربائية باستخدام المركبات الحرارية الشمسية (الطريقة غير المباشرة)، باعتبارهما من وسائل استراتيجيات الطاقة لتوفير الاحتياجات المستقبلية من الطاقة الكهربائية.

تهدف استراتيجية الطاقة الجديدة والمتجددة إلى زيادة نسبة الطاقة المولدة من الطاقات المتجددة إلى 20% من إجمالي الطاقة الكهربائية المولدة في مصر عام 2022 والوصول إلى نسبة 42% حتى عام 2035.

وقد تبني قطاع الكهرباء مشروع إنشاء محطات طاقة شمسية فوتوفولتية أعلى أسطح المباني وذلك بعد اختيار الأماكن المناسبة والمتوافرة لتركيب الخلايا الفوتوفولتية.

كما تمت تجربة التشغيل التجاري لمشروع أول محطة شمسية حرارية لإنتاج الكهرباء قدرة 140 م.وات منها 20 م.وات مكون شمسي بمنطقة الكريمات والتي

تعمل بنظام مزدوج للتوليد الشمسي / الحراري باستخدام تكنولوجيا المركبات الشمسية
بالإرتباط مع الدورة المركبة التي تستخدم الغاز الطبيعي كوقود.

كان افتتاحى فى 27/2/2018 لمحطة طاقة شمسية نموذجية متعددة الأغراض
بتكنولوجيا المركبات الشمسية ببرج العرب - اسكندرية ، مبعث سعادة لي لا هميتها
التعليمية، كذلك هناك اتفاقيات لبناء محطة طاقة شمسية ضخمة بقدرات تصل الى
1465 ميجا وات فى منطقة تبعد نحو 50 كيلو مترا شمال أسوان و تعد اكبر محطة
لإنتاج الكهرباء من الطاقة الشمسية.

لقد أعطى قطاع الكهرباء مزيداً من الإهتمام بتدريب وتجهيز ورفعوعي وطاقات
الكواذر البشرية من المهندسين والفنين في مجالات الطاقة الشمسية الفوتوفلتينية
والحرارية المركزية، و كان اصدار هذا الكتاب "تكنولوجيا محطات المركبات
الشمسية" باللغة العربية تشجيعاً على القراءة وتحصيل العلم، وحافظاً على اللغة
العربية. وأتمنى من الله أن يستفيد أبنائي المهندسين والفنين من هذا الكتاب
والله الموفق لخير مصر

وزير الكهرباء والطاقة المتجددة
دكتور مهندس / محمد شاكر المرقبي

مقدمة

نتيجة تزايد الاستهلاك العالمي لمصادر الطاقة غير المتجددة مثل البترول والغاز الطبيعي بمعدلات مرتفعة، أصبح لزاماً الاهتمام بتشجيع استخدام مصادر الطاقات المتجددة مثل الطاقة الشمسية، وطاقة الرياح والطاقة الحرارية الأرضية.

تحصل الأرض على 174 بيتاً وات من الإشعاع الشمسي في الغلاف الجوي العلوي، وينعكس حوالي 30% إلى الفضاء ويتم امتصاص باقي الكمية من قبل المحيطات والغيوم وكثلة الأرض.

تعتبر مصر إحدى دول منطقة الحزام الشمسي حيث تتمتع باشعاع شمسي مباشر يصل إلى 3200 ك.و.س/م² سنوياً، اعتماداً على الموقع والوقت من اليوم والوقت من السنة بالإضافة إلى الظروف الجوية.

يمكن تصنيف تكنولوجيا الطاقة الشمسية إلى نشطة وسلبية، ومن أمثلة التكنولوجيا النشطة كل من الخلايا الفوتوفلتينية (والتي تعرف بالطريقة المباشرة لإنتاج الكهرباء) ومركبات الطاقة الحرارية الشمسية (والتي تعرف بالطريقة غير المباشرة لإنتاج الكهرباء)، أما التكنولوجيا السلبية فمن أمثلتها تحسين دوران الهواء وتوجيهه لإستخدام ضوء الشمس بشكل إيجابي في الفراغات.

كما يوجد العديد من الحقائق عن الطاقة الشمسية التي تقيم امكانياتها، واللازمة لتلبية احتياجات الطلب على الطاقة، فإنها لا تنتج أية ملوثات، وصيانتها منخفضة، مع سهولة التشغيل والتركيب. وعلى الرغم من أن كثير من الدول قد بدأت في التوسع في استخدام الطاقة الشمسية على نطاق واسع فإنه يتبع على أغلب هذه الدول أن تقطع شوطاً كبيراً لاستغلال هذه الطاقات، حيث أن الاستثمار في الطاقة الشمسية يؤدي إلى الوصول إلى تكاليف فعلية وانخفاض تلوث الهواء والمياه والحد من انبعاثات الغازات الدفيئة.

تعتمد النظم الشمسية المركزية الحرارية لإنتاج الكهرباء على استبدال مصادر الوقود المستخدمة بالمحطات الحرارية التقليدية لإنتاج الكهرباء بالطاقة الحرارية المنتجة من تركيز الإشعاع الشمسي، حيث تتميز هذه الأنظمة بإمكانية تكاملها مع النظم التقليدية لإنتاج الكهرباء وكذلك تضمن امدادات منتظمة للكهرباء ولا تسبب مشكلات لتشغيل الشبكة الكهربائية العامة.

من المشروعات المقامة في مصر المحطة الشمسية الحرارية بالكريمات والتي تعد أكبر مشروع ضمن ثلاثة مشروعات تم تنفيذها على مستوى قارة أفريقيا، في المغرب والجزائر ومصر وجميعها تعتمد على ارتباط الدورة المركبة بالحقل الشمسي.

بين أيدينا كتاب "تكنولوجيا محطات المركبات الشمسية" والذي يستعمل على: أنواع تكنولوجيات محطات المركبات الشمسية، فرسنيل الخطية، طبق قطع مكافئ، الأبراج الشمسية، حوض القطع المكافئ، مائع نقل الحرارة، أنظمة تخزين الطاقة الحرارية، اقتصadiات محطات المركبات الشمسية الحرارية، إنتاج الطاقة، ثم تطبيقات.

مع تمنياتي من الله أن يستفيد بهذا العمل أبناءنا المهندسين والفنين وفقنا الله إلى ما فيه خير أمتنا بالعلم والتقدم والرقي.

د.م. / محمد موسى عمران
وكيل أول وزارة الكهرباء والطاقة المتجدد
للبحوث والتخطيط ومتابعة الهيئات

مقدمة المؤلف

تتمتع مصر بثروة في مصادر الطاقة المتجددة، خاصة الطاقة الشمسية، نظراً للموقع الجغرافي المتميز لمصر بين مداري السرطان والجدي، ولقد اهتم قطاع الكهرباء بالطاقة الشمسية في مجال إنتاج الكهرباء ونشر التوعية بها.

وفي شهر مارس 2018 حدثت عدة أحداث عظيمة لها علاقة بالطاقة الشمسية:

- أصبحت مصر عضواً مؤسساً في التحالف الدولي للطاقة الشمسية حيث وقع د/ محمد شاكر وزير الكهرباء والطاقة المتجددة الإنفاق الاطاري للتحالف وبحضور سفير الهند في القاهرة، بهدف هذا التحالف إلى علاج التحديات المتعلقة بالطاقة الشمسية وتوسيع نطاق استخدامها في الدول الأعضاء بما يتوافق مع احتياجاتها.
- دشن السيد الدكتور/وزير الكهرباء والطاقة المتجددة أول محطة شمسية لانتاج الكهرباء بمجمع بنبان الشمسي في أسوان، بقدرة 50 م.وات من اجمالي عدد 32 محطة شمسية فرعية تنتج 50 م.وات من كل محطة باجمالي قدرات 1600 م.وات. علماً بأن المشروع مقام على مساحة 8843,3 فدان على الطريق الصحراوي "أسوان- القاهرة" بقرية بنبان.
- بعد عدة سنوات من الأبحاث المشتركة مع إيطاليا ودول الاتحاد الأوروبي تم افتتاح محطة مركبات شمسية حرارية (CSP) بقدرة 1 م.وات من الكهرباء وما يقارب من 250 متراً مكعباً من المياه المحلاة، وذلك بمدينة الأبحاث العلمية - برج العرب - الإسكندرية.

بالإضافة إلى ذلك فقد صدر أول أطلس شمسي متعدد لمصر، والذي قام على حسابات الطاقة الشمسية ومناطقها، للاستفادة بعمل محطات المركبات الشمسية والألوان الفوتوفلورية.

ونظراً لإهتمام قطاع الكهرباء بالطاقة الشمسية في إنتاج الكهرباء، كان دعم السيد الدكتور/ وزير الكهرباء والطاقة المتجددة لإصدار كتاب: "تكنولوجيا محطات المركبات الشمسية" والذي يحتوي على 12 باب هي: تاريخ محطات المركبات الشمسية، الإشعاع الشمسي، تكنولوجيا محطات المركبات الشمسية،

مائع نقل الحرارة، أنظمة تخزين الطاقة الحرارية، محطات قوي فرسنل الخطية، محطات قوي مجمعات طبق قطع مكافئ، محطات قوى مجمعات الأبراج الشمسية، محطات قوي مجمعات حوض قطع مكافئ، اقتصاديات محطات المركبات الشمسية الحرارية، انتاج الطاقة من محطات المركبات الشمسية الحرارية، تطبيقات لمحطات المركبات الشمسية الحرارية بمصر.

وقد قام بمراجعة الكتاب السيد د.م. / محمد موسى عمران وكيل أول وزارة الكهرباء والطاقة المتتجدة للبحوث والتخطيط ومتابعة الهيئات، والذي أضفى قيمة ثمينة للكتاب وساعد سيادته في اخراج الكتاب بالصورة التي ظهر بها.

وأنقدم للسيد الفاضل دم/ محمد شاكر المرقبي وزير الكهرباء والطاقة المتتجدة على تفضل سيادته بكتابه مقدمة الكتاب وعلى دعمه وتشجيعه الدائم للمهندسين والفنين العاملين على البحث العلمي وتعلم الجديد في المجالات المتعلقة بالطاقة الكهربائية والطاقات المتتجدة.

كما نقدم الشكر إلى "اللجنة المصرية الألمانية المشتركة للطاقة المتتجدة وكفاءة الطاقة وحماية البيئة" (JCEE) على قيامها بطباعة الكتاب.

أتمنى من الله أن يستفيد من هذا الكتاب المهندسين والفنين العاملين بمجال الطاقات المتتجدة وأن يضعوا أمام أعينهم المقومات الأساسية للتعليم وهي: التدريب – الدراسة – الإطلاع.

والله نسأل أن يتقبل منا هذا العمل خالصاً لوجهه الكريم.

أكتوبر 2018

د.م/كاميليا يوسف محمد

محتويات كتاب تكنولوجيا المركبات الشمسية الحرارية

مقدمة الوزير

مقدمة د. موسى عمران

مقدمة المؤلفة

المحتويات

المختصرات

1 - الباب الأول

تاريخ محطات المركبات الشمسية

2 - الباب الثاني

الإشعاع الشمسي

3 - الباب الثالث

تكنولوجيا محطات المركبات الشمسية

4 - الباب الرابع

مائع نقل الحرارة

5 - الباب الخامس

أنظمة تخزين الطاقة الحرارية

6 - الباب السادس

محطات قوي فرسنل الخطية

7 - الباب السابع

محطات قوي مجمعات طبق قطع مكافئ

8 - الباب الثامن

محطات قوى مجمعات الابراج الشمسية

9 - الباب التاسع

محطات قوي مجمعات حوض قطع مكافئ

10 - الباب العاشر

اقتصاديات محطات المركبات الشمسية الحرارية

11 - الباب الحادى عشر

انتاج الطاقة من محطات المركبات الشمسية الحرارية

12 - الباب الثانى عشر

تطبيقات - محطات المركبات الشمسية الحرارية

ملحق

مراجع

Abbreviation

CSP	Concentrating solar plant
CST	Concentrating solar thermal plant
CRg	Geometric concentration ratio
DNI	Direct Normal Irradiance
ET	Euro Trough
ENEA	L'Energia e l'Ambiente (Italian National Board for New Technology, Energy and the Environment)
FR	Collector heat removal factor
FRs	Fresnel Reflectors
H	Hydrogen
He	Helium
HRSG	Heat Recovery Steam Generator
HTF	Heat Transfer Fluid
IEA	International Energy Agency
IST	Industrial Solar Technology
LF	Linear Fresnel reflector
LFC	Linear Fresnel collector
LS	Luz System
MATS	Multipurpose Applications by Thermodynamic Solar
ORC	Organic Rankine Cycle
P	Poise
PB	Power Block
PCU	Power Conversion Unit
PT	Parabolic Trough
PTC	Parabolic trough collector
PV	Photovoltaic
SCA	Solar Collector Assembly
SCA	Solar Collector Array
SM	Solar Multiple
SM	Stretched membrane
SEGS	Solar Electric Generating System
SEGS	Solar Energy Generating System
TES	Thermal energy storage systems

الباب الأول

تاريخ محطات المركبات الشمسية

Concentrating Solar Power (CSP) Plants History

من المعلوم وجود صعوبة اقتصادية لتخزين الطاقة الكهربائية المنتجة من الوقود التقليدي والتي يجب استخدامها فور انتاجها، منعاً (أو تقليلاً) لاهدار فقد بعض الطاقة الكهربائية المنتجة. بينما في مجال الطاقة الشمسية (solar energy) فإنه يمكن تخزين الطاقة الشمسية في صورة طاقة حرارية مثلاً (الحرارة المجمعة من الشمس)، وقد تمكن التقييات الحديثة من خلال تخزين الطاقة الشمسية أن تكون الطاقة الحرارية متوفرة حتى في الفترات التي لا تشع الشمس فيها، مما يساعد على توفير الوقود الأحفوري.

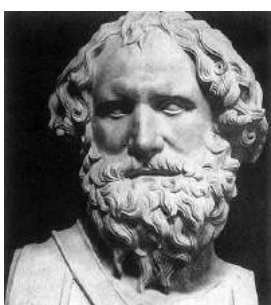
تصنف تكنولوجيات الطاقة الشمسية (solar energy) إلى:

- الطاقة الكهروشمسيّة (أو الكهروضوئيّة) (Photovoltaic).
- تسخين شمسيّ (المياه) (Solar heating (water)).
- الطاقة الحراريّة الشمسيّة (Solar thermal power).

تعتمد الأنظمة الشمسية الحرارية لانتاج الكهرباء، على استبدال الوقود الأحفوري المستخدم بالمحطات الحرارية التقليدية لانتاج الكهرباء بالطاقة الحرارية الناتجة من تركيز الاشعاع الشمسي عند درجات حرارة عالية (400°C : 1500°C).

من مميزات أنظمة الطاقة الشمسية الحرارية:

- يمكن أن تتكامل مع الأنظمة التقليدية لانتاج الكهرباء.
- تضمن امدادات منتظمة للطاقة الكهربائية.
- انتاج الطاقة الكهربائية النظيفة ليلاً أو نهاراً.



العالم أرشميدس

تطور تاريخ محطات المركبات الشمسية:

1. منذ سنة 200 قبل الميلاد وصف عالم الرياضيات الفيزيائي المخترع اليوناني المهندس أرشميدس (Archimedes) (المولود بإيطاليا عام 287 قبل الميلاد) (1) فكرة الألواح العاكسة لتركيز الشمس



شكل (1) فريسكو (1599 – 1600) في معرض أو فيزي، فلورنسا، أظهر جوليو باريجي أشعة أرشميدس المدمرة.

2. في القرن الثاني قبل الميلاد (375-295) وصف عالم الرياضيات اليوناني ديوكليس (Diocles) (شكل(2)) الخصائص البصرية لحوض صغير قطع مكافئ (PT) (parabolic trough).



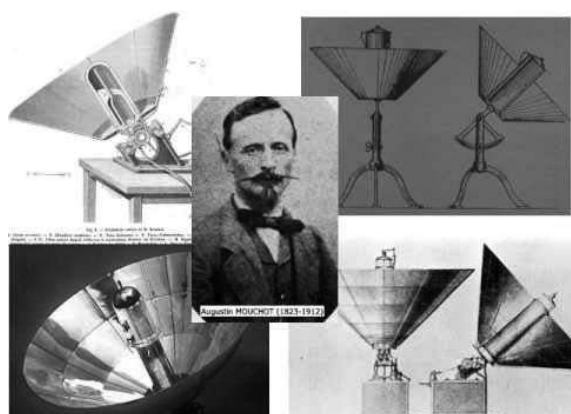
شكل (2) العالم ديوكليس.

3. في عام 1746 وصف العالم الفرنسي الكونت دي بوفون (Conte de Buffon) (عالم الطبيعت والرياضيات والكونيات: 1707-1788) ((شكل (3))) تصميمات الهليوستات (heliostat) (هي أداة ذات مرآة تعكس الشمس في اتجاه واحد).



شكل (3) العالم الكونت دي بوفون.

4. في عام 1866 استخدم المخترع الفرنسي أوستين موشوت (Augustin Mouchot) (عالم الرياضيات والفيزياء 1825-1911) (شكل (4)) حوض قطع مكافئ لانتاج البخار لأول ماكينة بخار بالشمس وفي عام 1878 اخترع نظام محرك بخار مدفوع بطريق (dish) والذي عرض بالمعرض العالمي بباريس.



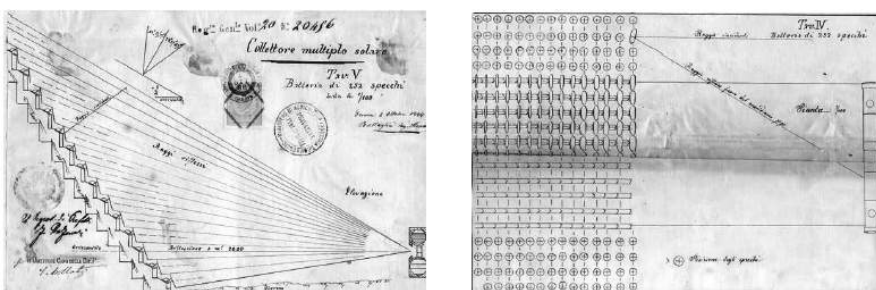
شكل (4) العالم أوستين موشوت.

5. في عام 1880 أنشأ المهندس الميكانيكي العالم الأميركي / السويدي جون إركسون (John Ericsson) (1803-1889) (شكل (5)) أول مجمع حوض قطع مكافئ واستخدمة كمصدر لماكينة هواء ساخن.



شكل (5) العالم جون إركسون.

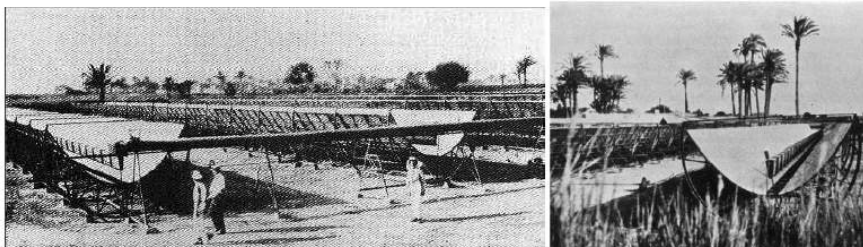
6. في عام 1886 سُجل أول اختراع لمجمع شمسي بمعونة العالم الإيطالي الساندرو باتاجليا (Alessandro Battaglia) (1842 - n.a) (شكل (6)).



شكل (6) اختراع لمجمع شمسي للعالم الساندرو باتاجليا.

7. في عام 1913 نجح العالم الأمريكي فرانك شومان (Frank Shuman) (1862-1918) في بناء حوض قطع مكافئ لادارة نظام ضخ في مصر بمنطقة المعادي، (شكل (7)) ، وقد استخدم عدد 5 أحواض قطع مكافئ طول كل حوض 60 متر،

لتركيز أشعة الشمس خطياً مع نظام تتبع شمسي، ثم تركز الأشعة على غلاية تكفي إنتاج بخار لضخ حوالي 23000 لتر مياه في الدقيقة، (قدرة 55 HP).



شكل (7) حوض قطع مكافئ لادارة نظام ضخ في مصر.

.8 خلال القرن العشرين تمت كثيرة من التجارب والنمذج .9 في عام 1929 تم بناء أول نظام محطة حرارية شمسية بطبق مرآيات بواسطة العالم الأميركي دكتور روبرت هوتشنجل جودارد (Robert Hutchings Goddard) (1882–1945)، شكل (8).



شكل (8) العالم الأميركي دكتور روبرت هوتشنجل جودارد.

.10 في عام 1968 تم تشغيل أول محطة شمسية مركبة باليطانيا .11 في عام 1983 تم التشغيل بنجاح لأول مكينة حرارية بتمويل خاص في أريزونا، تحتوي على مجمعات حوض قطع مكافئ بمساحة 5580 متر مربع لانتاج تسخين حراري بدرجات حرارة أعلى من 260 °C لشركة أعمال نحاس.

12. في عام 1983 كانت الولادة الحقيقة لمحطات المركبات الشمسية (CSP) Concentrating Solar Power) كأساس الصناعة في كاليفورنيا، حيث وُضعت سياسة لانشاء 9 أحواض قطع مكافئ منفصلة بقدرة إجمالية 354 MW_e ، لهذه المحطات أكثر من 2000000 متر مربع مساحة مرايات.

ويوضح جدول (1) خصائص هذه المحطات الشمسية المركزية ويوضح شكل(9) المحطتان 7&3 بكاليفورنيا - أمريكا.

13. منذ عام 2006 شهد انتاج الطاقة الشمسية المركزية نموا كبيرا في إسبانيا وأمريكا لتحويل الطاقة الشمسية (أشعة الشمس) إلى طاقة كهربائية مع مراعاة أن تكون السماء صافية والضوء قوي، وتتوافر هذه الظروف الطبيعية في: جنوب غرب أمريكا - المكسيك - شمال أفريقيا - الشرق الأوسط - وسط آسيا - جنوب أفريقيا - استراليا - جنوب أوروبا - وأجزاء من الصين والهند.

14. في عام 2014 تم التشغيل التجاري لأكبر محطة في العالم للطاقة الحرارية الشمسية بقدرة 392 MW_e كاليفورنيا - أمريكا.

يوضح شكل (10) عملية البخار بشركة a pharmaceutical - مصر بقدرة 1330 KW ودرجة حرارة التشغيل 173° C

يوضح جدول (2) تطور ساعات محطات المركبات الشمسية (CSP) (solar power) في العالم منذ عام 1984 وحتى 2016.

ويوضح جدول (3) توزيع ساعات محطات المركبات الشمسية في عام 2016.



شكل (9) المحطة 3&7 بكاليفورنيا – أمريكا.

source: Sandia National Laboratory



شكل (10) عملية البخار بشركة a pharmaceutical مصر.

Source: SEGS solar plants in California (Sandia National

Laboratory)

جدول (1) خصائص عدد 9 محطات مركبات شمسية

تجهيزات	المخرج السنوي (GWha)	كفاءة التربينة (%)	مساحة الحقل الشمسي (m^2)	درجة حرارة مخرج الحقل الشمسي (C°)	اجمالي المخرج (MW _e)	سنة بداية التشغيل	رقم المحطة
تخزين حراري (3hr)	30	31.5/-	82960	307	13.8	1985	1
محمصات تعمل بالغاز	80	29.4/37.3	190338	316	30.0	1986	2
غلاية غاز	93	30.6/37.4	230300	349	30.0	1987	$\frac{3}{4}$
غلاية غاز	93	30.6/37.4	250500	349	30.0	1988	5
غلاية غاز	91	37.5/39.5	188000	390	30.0	1989	6
غلاية غاز	93	37.5/39.5	194280	390	30.0	1989	7
سخان سوائل بالمبادل الحراري يعمل بالغاز	253	37.6/37.6	464340	390	80.0	1990	8
سخان سوائل بالمبادل الحراري يعمل بالغاز	256	37.6/37.6	483960	390	80.0	1991	9

Source: SEGS Solar Plants in California (Sandia National Laboratory)

جدول (2) تطور ساعات CSP في العالم

السنة	السعة المركبة MW_p	السعة التراكمية MW_P
1984	14	14
1985	60	74
1989	200	274
1990	80	354
00	00	354
2006	1	355
2007	74	423
2008	55	484
2009	179	663
2010	307	969
2011	629	1598
2012	803	2553
2013	872	3425
2014	925	4335
2015	420	4705
2016	110	4815

Source: REN21, CSP - World.com, IRENA.

جدول (1-3) توزيع ساعات محطات المركبات الشمسية CSP في 2016

MW _p	السعة	البلد
2300		أسبانيا
1738		الولايات المتحدة
225		الهند
(added)200+100		جنوب أفريقيا
180		المغرب
100		الامارات العربية المتحدة
25		الجزائر
20		مصر
12		استراليا
(added)10+10		الصين
5		تايلاند

Source: REN21 Global status Report. June 2017



الباب الثاني الإشعاع الشمسي Solar radiation

تعتبر الطاقة الشمسية هي المصدر الرئيسي والهام الذي يمد الأرض بالطاقة، تقوم الشمس بإمداد الأرض بطاقة تزيد عن إجمالي احتياجات العالم من الطاقة بنحو 5000 مرة حيث أن الطاقة التي يمكن الحصول عليها من أشعة الشمس لمدة 105 دقيقة تكفى احتياجات واستهلاكات العالم أجمع لمدة عام (<http://forum.arab-mms.com/t215307.html>).

الإشعاع الشمسي هو مقدار الأشعة الشمسية الساقطة على مساحة معينة و القادرة على إنتاج طاقة كهربائية . ولا يصيب الأرض إلا حوالي جزء من ألفي مليون جزء من أشعة الشمس التي تقدر بنحو 130 ميجاوات لكل متر مربع من سطح الشمس، وهذا القدر الضئيل هو المسؤول عن كل الطاقة الحرارية لسطح الأرض و غالها الجو.

ترجع معظم مصادر الطاقة إلى الإشعاعات الشمسية فجميع أنواع الطاقة (البترول – الغاز – الفحم) تكونت بسبب أشعة الشمس .

تتأثر شدة الإشعاع الشمسي قبل الوصول إلى الأرض بعاملين أساسين:

- الغلاف الجوي
- الزوايا الشمسية

يمكن توقع شدة الإشعاع الشمسي في موقع ما من الأرض اعتماداً على موقعه على الكره الأرضية والزمن (اليوم – الشهر – السنة) . فيما يلى بعض التعريفات الهامة للإشعاع:

حرمة الإشعاع (Beam radiation)

هو الإشعاع الحادث من اتجاه الشمس. وهذا يعني أنه لا يحتوى على أشعة منتشرة . ويمكن حساب اتجاه حرمة الإشعاع لكل مكان في العالم (كل خط عرض وخط طول)، لأى زمن من السنة، وذلك باستخدام العلاقات الهندسية المتاحة. ويمكن قياس شدة الإشعاع باستخدام المشمس (وهو لقياس طاقة الشمس الإشعاعية) أي مقياس بيرهليوميتر (normal incidence pyrheliometer).

الإشعاع المنتشر أو المنتاثر (Diffuse radiation)

هو الإشعاع الذي يتم تلقيه من الشمس بعد أن ينثاثر من قبل الجو والسحب. يمكن أن يصل الإشعاع المنتشر إلى 100٪ من الإشعاع الوارد في الأيام الغائمة، ويكون أعلى

من 10% في الأيام المشرقة جداً. ويمكن قياس الإشعاع المنتشر بالظل - باستخدام مقياس بير هليوميتر الذي يمنع الإشعاع المباشر.

الإشعاع الكلى (global radiation)

هو مجموع حزمة الإشعاع والإشعاعات المنتشرة، الذي يمكن أيضاً قياسه بمقاييس بير هليوميتر.

الإشعاع (Irradiance)

ويعطى بوحدة (W / m²) ويشير إلى معدل الطاقة الإشعاعية التي تقع على وحدة سطح منطقة. هو أيضاً شدة (intensity) الإشعاع الشمسي.

الإشعاع (Irradiation)

هو كمية الطاقة التي يتم استقبالها لكل وحدة مساحة المعطى بوحدة (J / m²) (MJ ≈ 0.28 Kwh)

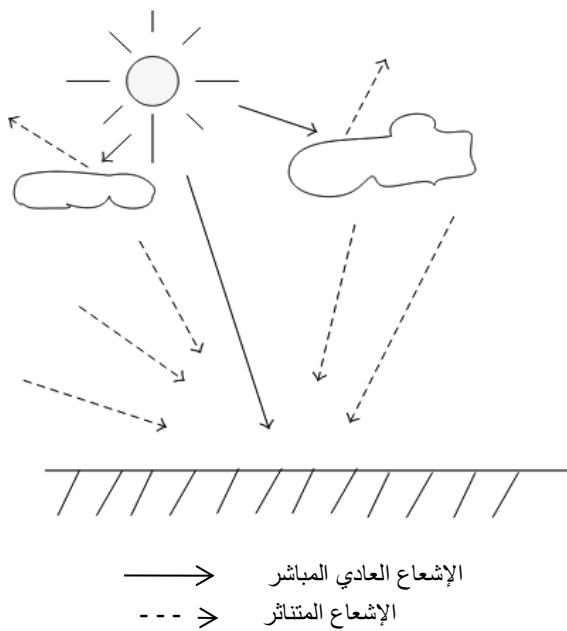
الإشعاع الشمسي (Insolation)

هو إشعاع الطاقة الشمسي.

عموماً لا تتساوى شدة الإشعاع الشمسي في جميع الأماكن على كوكب الأرض. يعتمد ذلك على خط عرض المكان. وكلما ارتفع خط العرض (في نصف الكرة الشمالي)، انخفضت شدة الإشعاع الشمسي. وهذا يعتمد أيضاً على الرطوبة في المكان. عندما يكون المكان رطباً، يكون الإشعاع الشمسي أكثر ترقفاً بسبب الغيوم وبالتالي شدته أقل.

إن الأماكن الأكثر ملائمة للطاقة الشمسية المركزية في العالم تقع في الشرق الأوسط وشمال أفريقيا وجنوب أفريقيا واستراليا والولايات المتحدة.

يتكون ضوء الشمس من مكونات مباشرة وأخرى غير مباشرة (متناشرة). يمثل المكون المباشر والمعروف بالإشعاع العادي المباشر (DNI or Direct Normal Irradiance) حوالي 90% من مجموع أشعة الشمس خلال الأيام المشمسة ولكن لا يكاد يذكر في الأيام الغائمة. يتم تركيز أشعة الشمس المباشرة باستخدام المرايا أو الأجهزة البصرية الأخرى (مثل العدسات). يوضح شكل (1) الإشعاع العادي المباشر والإشعاع المتناشر.



شكل (1) الإشعاع العادي المباشر والإشعاع المتناثر

أطلس مصر الشمسي

مصر إحدى دول منطقة الحزام الشمسي الأكثـر مناسبـة لتطبيقات الطـاقة الشـمسيـة تم إصدار أطلـس شـمـس مـصـرـاً مشـتمـلاً عـلـيـ قـرـاءـاتـ تـمـ حـصـرـهـاـ عـلـىـ مـدىـ سـنـوـاتـ لـجـمـيعـ مـنـاطـقـ الـجـمـهـورـيـةـ،ـ وـمـتـضـمـنـاـ أـيـضاـ عـامـ نـمـطـيـ يـتـمـ فـيـهـ تـمـثـيلـ الـبـيـانـاتـ المـتـوقـعـةـ لـكـلـ أـيـامـ الـعـامـ مـثـلـ الـإـشـاعـ الشـمـسـيـ وـسـاعـاتـ سـطـوـعـ الشـمـسـ.

تـُـظـهـرـ نـتـائـجـ الـأـطـلـسـ تـرـاـوـحـ مـتوـسـطـ الـإـشـاعـ الشـمـسـيـ الـمـباـشـرـ الـعـمـودـيـ ماـ بـيـنـ 2000 - 3200 لـ.ـكـ.ـ وـ.ـسـ/ـمـ2ـ/ـالـسـنةـ.

يـتـرـاـوـحـ مـعـدـلـ سـطـوـعـ الشـمـسـ بـيـنـ 9 - 11 ساعـةـ/ـيـومـ.

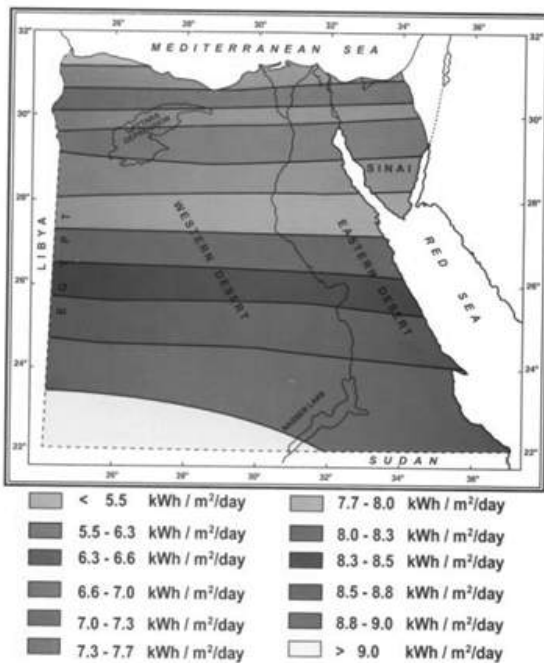
يـوـضـعـ شـكـلـ (2)ـ مـتـوـسـطـ الـإـشـاعـ الشـمـسـيـ الـمـباـشـرـ السـنـوـيـ بمـصـرـ

بـيـنـماـ يـوـضـعـ شـكـلـ (3)ـ الـإـشـاعـ الشـمـسـيـ طـبـقـاـ لـلـيـوـمـ وـالـشـهـرـ -ـ الـقـاهـرـةـ -ـ مـصـرـ (ـبـوـحدـةـ

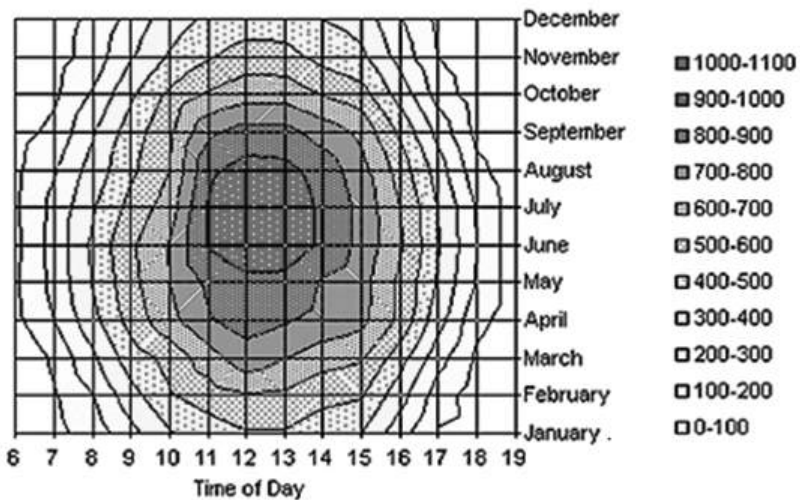
(W/m²).ـ يـوـضـعـ شـكـلـ (4)ـ الـإـشـاعـ العـادـيـ الـمـباـشـرـ فـيـ شـمـالـ أـفـرـيـقـيـاـ بـوـحدـةـ

Wh/m²ـ وـيـوـضـعـ شـكـلـ (5)ـ الـإـشـاعـ العـادـيـ الـمـباـشـرـ فـيـ الـعـالـمـ

بـوـحدـةـ kWh/m²ـ per~year~



شكل (2) متوسط الإشعاع الشمسي المباشر السنوى

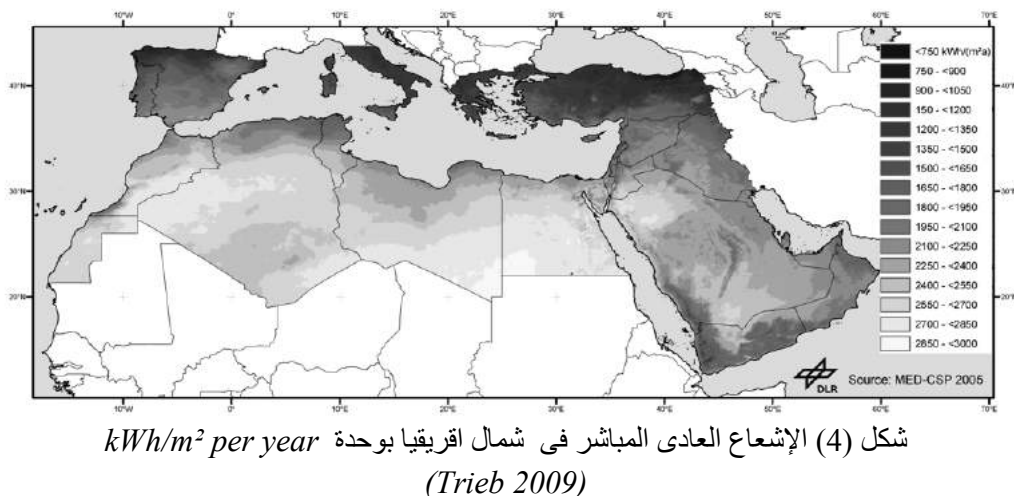


شكل (3) الإشعاع الشمسي طبقاً لليوم والشهر - القاهرة - مصر

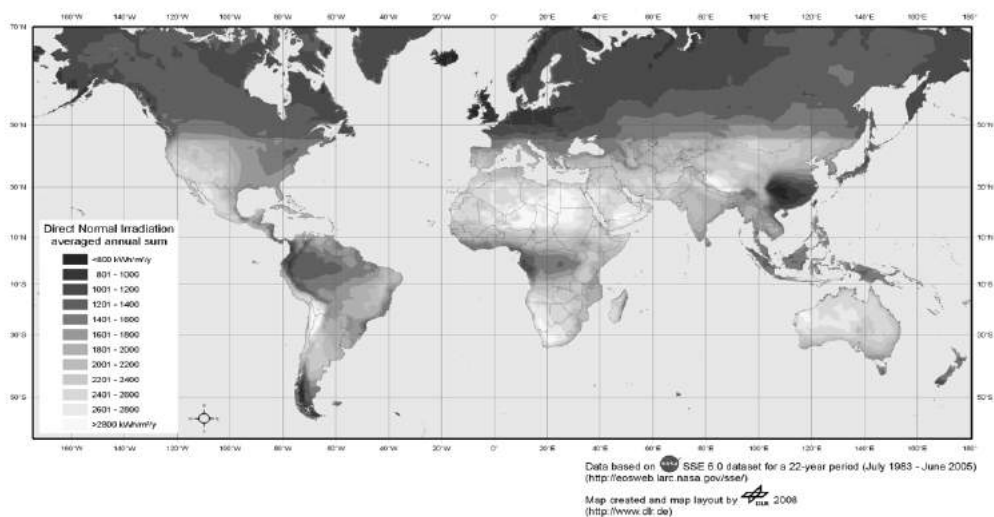
(W/m^2)

الإشعاع الشمسي

**Annual Sum of Direct Normal Irradiation
[kWh/(m²a)] for the year 2002**



Direct Normal Irradiation (DNI)



يمكن لمحطات المركزات الشمسية أن توفر طاقة فعالة من حيث التكلفة في المناطق التي لديها إشعاع شمسي مباشر أكبر من 2000 كيلووات ساعة / متر مربع في السنة، وذلك بالمناطق الواقعة عند خطوط عرض تتراوح بين 15° و 40° شمالاً أو جنوب خط الاستواء. في أفضل المناطق ($DNI < 2800$ كيلووات ساعة / m^2 - سنة)، فإن إمكانيات توليد الطاقة الشمسية المركزة هي 100-130 جيجاوات ساعة / km^2 وهذا تقريرياً يساوي نفس الطاقة الكهربائية المنتجة سنوياً من محطة تعمل بالفحم بقدرة 20 ميجاوات ولها عامل سعة (capacity factor) 75% (عامل السعة = (الحمل المتوسط/ القدرة الأسمية) * 100)

الباب الثالث

تكنولوجيا محطات المركبات الشمسية

Concentrating solar plant technologies

تستخدم أنظمة محطات المركبات الشمسية تركيبة من المرآيات أو العدسات لتركيز حزم الأشعة الشمسية المباشرة بغرض انتاج أشكال من الطاقة المفيدة مثل الحرارة أو الكهرباء أو وذلك باستخدام تكنولوجيات مختلفة غالباً يستخدم التعبير (محطة المركبات الشمسية) (Concentrating solar plant) كمرادف للتعبير عن "محطة المركبات الحرارية" (Concentrating solar thermal plant) وكل منها يرمز له بالحروف (CSP) أو (CST).

نصّت وكالة الطاقة العالمية (IEA2010) على:

"تحاج أنظمة CSP إلى اشعاع شمسي لكي تعمل، بأكثر دقة تحتاج إلى المركبة المباشرة للأشعاع الشمسي" (direct irradiance). من الضروري استخدام الاشعاع المباشر لأنظمة الطاقة الحرارية ذات درجات الحرارة العالية لأنها يمكن أن تتركز في مساحات صغيرة باستخدام المرآيات أو العدسات ، ولذا لا يمكن استخدام المركبة المتتائرة (diffuse component). وعلى ذلك لتركيز أشعة الشمس يتطلب سماوات صافية والتي يجب أن تكون مناطق حارة وشبه جافه وبالتالي تكون هذه المناطق مناسبة لانشاء محطات (CSP).

يتراوح مستوى البداية للأشعاع العادي المباشر (Direct Normal Irradiance (DNI)) المناسب لانشاء محطات CSP من 1900 Kwh/m²/y إلى 2100 Kwh/m²/y هذا الاشعاع المرتفع يستخدم للمحطات CSP لانتاج الكهرباء من خلال تركيز طيف الطاقة الشمسية للحصول على درجة حرارة عالية لموائع أو مواد واستخدامها لإدارة ماكينات أو مولدات كهربائية.

يوضح جدول (1) مميزات وعيوب محطات المركبات الشمسية

جدول (1) مميزات وعيوب محطات المركبات الشمسية

العيوب	المميزات
• تحتاج أنظمة المركبات الشمسية تتبع(تعقب) الشمس للحفاظ على تركيز أشعة الشمس على المجمع	• تستخدم مرايات غير مرتفعة التكاليف نسبياً
• عدم القدرة على الحصول على طاقة في حالات الأشعة المتناثرة	• كفاءة جيدة
• تكاليف مرتفعة	• تصل إلى درجات حرارة عالية جداً
• تحتاج مساحات شاسعة وأماكن محددة	• لا توجد تكاليف للوقود
	• القدرة متاحة 24 ساعة / 7 أيام في الأسبوع (في حالة وجود نظام تخزين حراري)
	• غير ملوث للبيئة

لماذا التركيز ؟

توجد بعض مجمعات الطاقة الشمسية لا تتركز الطاقة المستقبله من الشمس، والتي تعرف بالمجمعات الثابتة (Stationary collectors) وتستخدم أساساً في تسخين المياه للأغراض المنزليه.

يكون لمجمع عدم التركيز (non-concentrated collector) عامل تركيز يساوي 1 وهذا يعني تساوي مساحة تركيز الاشعاع ومساحة مجمع الحرارة. أغلب هذا النوع يكون من نوع مجمعات الألواح المسطحة (Flat plate) . تصل درجة حرارة هذه المجمعات إلى حوالي $C\ 120^{\circ}$ وهي درجة حرارة غير كافية لاستخدامات انتاج الكهرباء.

لعمليات تركيز الاشعاع الشمسي العديد من الفوائد منها:

- عند تركيز الاشعاع على المستقبل (receiver) ، تصل درجة حرارة مائع تحويل الحرارة (HTF) (heat transfer fluid) الموجود داخل المستقبل

إلى درجة حرارة عالية جداً (تصل إلى 2000°C) وبالتالي فإن كفاءة دورة الديناميكا الحرارية (Thermodynamic) تكون عالية جداً.

تكون الأسطح العاكسة (المرايات) أبسط هيكلياً وبالتالي أرخص من مجموعات الألواح المسطحة.

تنخفض المفروقات الحرارية بوضع المستقبل داخل انشاءات مفرغة.

وعلي ذلك فإن أنظمة التركيز تستخدم أساساً الإشعاع المباشر والقليل من الإشعاع المنتشر . للحصول على أقصى طاقة مستقبلة من المجمع، تحتاج المركزات لأن تكون متتابعة (Tracking) للشمس طوال اليوم، هذا التتابع (التعقب) يسبب زيادة الاستثمارات. في النهاية يجب الاهتمام بأعمال النظافة لأسطح المركزات.

كل مجمع يتكون من جزئين:

▪ المركز (Concentrator) والذي يعكس أشعة الشمس الساقطة على المجمع، هذا يزيد الطاقة المستقبلة.

▪ المستقبل (Receiver) والذي يمرر المائع، ويستخرج الطاقة الحرارية من الإشعاع.

تصنف تكنولوجيا مجموعات المركزات الشمسية إلى:

▪ تركيز خطي (Line focusing) والتي تعني أنها تركز الإشعاع على أنبوبة تتبع الشمس بمحور واحد. هذا النوع هو مجموعات أحواض القطع المكافئ (Parabolic troughs)، ومجموعات فرسنل الخطى (Linear fresnel).

▪ في هذه الأنواع تصل درجة الحرارة بين 120°C ، 450°C

▪ تركيز نقطة (Point focusing) والتي تعني أنها تركز أشعة الشمس في نقطة وتحتوي على تتبع للشمس على محورين. هذا النوع هو الأبراج الشمسية (Solar tower) وأطباق القطع المكافئ (Parabolic dishs) في هذه الأنواع تصل درجة الحرارة إلى درجة حرارة عالية حتى 2000°C

يبين شكل (1) تمثيل لأنواع محطات المركزات الشمسية طبقاً لنوع التكنولوجيا.

يوضح شكل (2) أنواع محطات المركزات الشمسية طبقاً لنوع التكنولوجيا.

ويوضح شكل (3) تصنیف تکنولوجيا المركبات الشمسيّة طبقاً لدرجة الحرارة.

ينقسم التركيز في محطات CSP إلى نظامين هما:

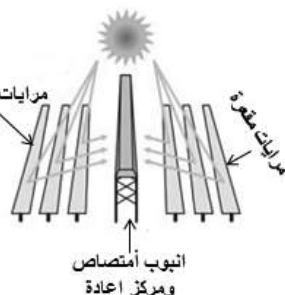
- يتعامل النظام الأول مع كيفية تركيز الإشعاع المباشر على المستقبل Point (تركيز خط Line focus) أو تركيز على نقطة receiver .(focus).
- يتعامل النظام الثاني مع نوع المستقبل المستخدم (ثابت أو متحرك).

يوضح جدول (2) مصفوفة التكنولوجيات المختلفة لمحطات CSP

(أ) حوض القطع المكافئ



(ب) مجمعات فرسنل الخطى



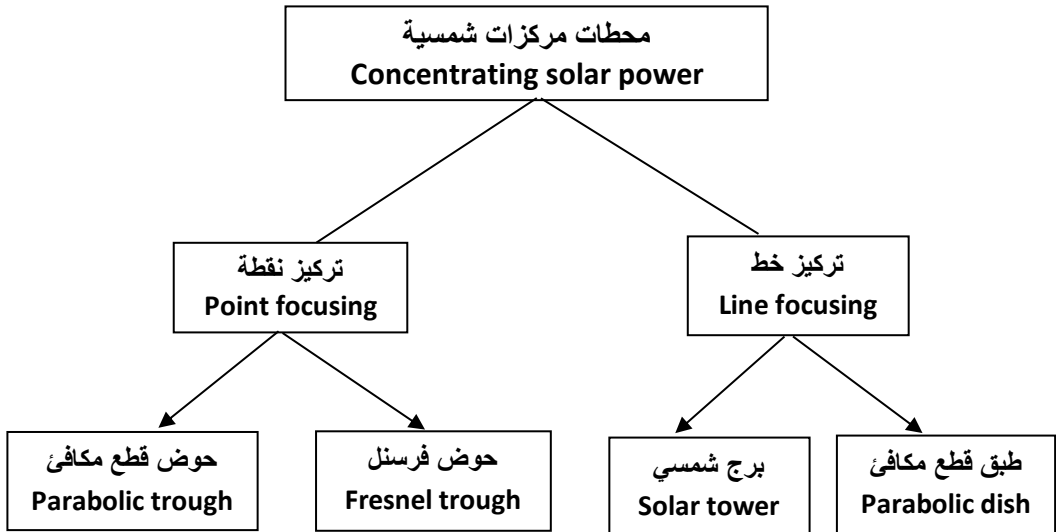
(ج) طبق القطع المكافئ



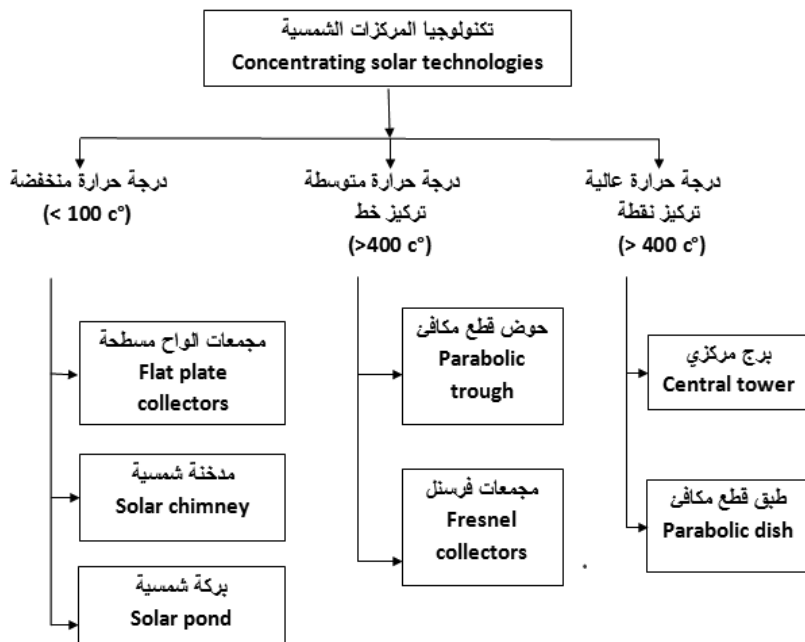
(د) برج شمسي



شكل (1) تمثيل لأنواع محطات المركبات الشمسيّة طبقاً لنوع التكنولوجيا



شكل (2) أنواع محطات المركبات الشمسية طبقاً لنوع التكنولوجيا



شكل (3) ترتيب تكنولوجيات المركبات الشمسية طبقاً لدرجات الحرارة

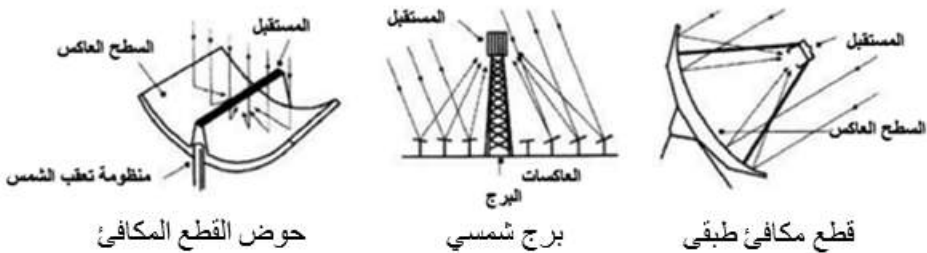
تقنيات محطات المركبات الشمسية

جدول (2) نظام مصفوفة التكنولوجيات المختلفة لأربعة عائلات المركبات الشمسية

تركيز نقطة: تتعقب المجمعات الشمسية على طول محورين ويركز الاشعاع على مستقبل نقطة أحادية . هذا يسمح بالحصول على درجة حرارة أعلى	تركيز خطى: تتعقب المجمعات الشمس على طول محور أحادي ويركز الاشعاع على مستقبل خطى . هذا يجعل تعقب الشمس أسهل	نوع تركيز الأشعة نوع المستقبل
الأبراج	عاكسات فرسنل الخطية	المستقبلات الثابتة تكون معدات مستديمة والتي تظل مستقلة عند معدات مراكز المحطة (البؤر). هذا يسهل نقل الحرارة المجمعة إلى مكونات محطة الكهرباء (power block)(PB)
أطباقي قطع مكافئ	أحواض قطع مكافئ	المستقبلات المتحركة تتحرك مع معدات التركيز (البؤر). في كل من تصميم التركيز الخطى والتركيز النقطة فإن المستقبلات المتحركة تجمع طاقة أكثر

تكنولوجيا محطات المركبات الشمسية

فيما يلي استعراض تكنولوجيا محطات المركبات الشمسية طبقاً لشكل (4):



شكل (4) تكنولوجيا محطات المركبات الشمسية

1. التركيز الخطى (Line concentrated)

أ. نظام محطة أحواض القطع المكافئ (plant system) (Parabolic trough power)

يعتبر هذا النظام هو الأقدم في التاريخ التجاري المتاح لـ تكنولوجيا المركبات الشمسية. أول محطة تجارية أنشئت في صحراء موهاتي Mojave 1980s في كاليفورنيا - الولايات المتحدة الأمريكية الموضحة في شكل (5) Desert



شكل (5) أول محطة تجارية أنشئت في صحراء موهاتي في كاليفورنيا – الولايات المتحدة الأمريكية

البنية الأساسية لهذا النوع من المحطات الموضحة في شكل (5) عبارة عن صفوف طويلة موضوعة في محور الشمال والجنوب. هذه الصفوف تتبع الشمس من الشرق إلى الغرب.

وتكون مجموعات أحواض القطع المكافئ (Parabolic trough) (PTCs) والموضحة في شكل (6) من مجموعات شمسية (مرآيات)، مستقبلات حرارة (receivers) وهيكل معدني للثبيت. تشكل المرآيات ذات القطع المكافئ من الواح من مادة عاكسة من زجاج شفاف مطلي بالفضة، هذا الزجاج المطلي يعطي العاكسات امكانية تركيز الاشعاع الشمسي إلى 80 ضعف مرة، الغرض من المرآيات المصنعة على شكل قطع مكافئ هو تركيز الشمس المستقبلة من ضوء الشمس إلى أنبوب استقبال مركزي عند خط محور المجمع. تكون مصفوفات المرآيات حوالي 100 m طول أو أكثر ، بفتحة منحنى من 5m إلى 6m

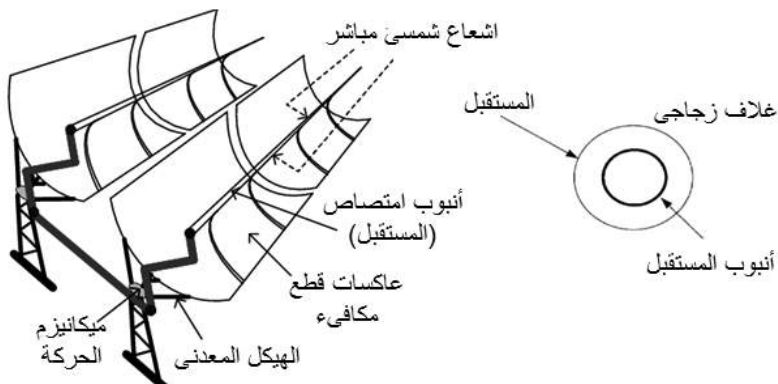
تستقبل أنابيب الامتصاص الموجدة في النقط المحورية لعاكسات القطع المكافئ، الطاقة الشمسية المركزية وبالتالي تسخنها . تصنع أنابيب الامتصاص من صلب استانليس مطلي، ويختار طلاء طيفي لامتصاص الأشعة الشمسية (الموجات القصيرة) جيداً، ولكن يبعث كمية قليلة جداً من الاشعة تحت الحمراء (الموجات الطويلة). وهذا يساعد في تخفيض المفقودات الحرارية. كما تستخدم الأنابيب الزجاجية المفرغة حول أنبوب الامتصاص لتخفيض المفقودات الحرارية، يدور مائع تحويل الحرارة (heat transfer fluid) (HTF) خلال أنابيب الامتصاص لتجميع الطاقة الشمسية وتحويلها إلى بخار للمولد أو إلى نظام تخزين الحرارة. وأغلب أنواع أحواض القطع المكافئ تستخدم زيوت صناعية كمائع لتحويل الحرارة والتي تكون مستقرة عند أعلى من 400° C

تستخدم المحطات الجديدة الأملاح الذائبة عند درجة حرارة 540° C أما لتحويل إلى حرارة و/أو كوسيط لتخزين الحرارة ... تؤدي درجة الحرارة العالية للأملاح المذابة إلى تحسين أداء التخزين الحراري.

يتم ضخ الماء الساخن بطلبة إلى مبادل حراري مركزي (heat exchanger) حيث يتم تحويل المياه إلى بخار ساخن تحت ضغط لتحرير التوربينات البخارية. ثم تستخدم التوربينة البخارية، مثل أنظمة الطاقة التقليدية، لإنتاج الكهرباء من المولدات.

تكون الكفاءة الكلية لهذه التكنولوجيا حوالي 15% في المتوسط، بينما تصل إلى 28% في الحالات المثالية.

تستخدم تركيبة ميكانيكية كمتعقب احدى المحور لتوجيه كل من المجمعات الشمسية ومستقبلات الحرارة في اتجاه الشمس. عادة تكون المجمعات مصفوفة في اتجاه الشمال - الجنوب وتتعقب الشمس عند تحركها من الشرق إلى الغرب لتجمیع أقصى طاقة شمسية.



شكل (6) مكونات حوض قطع مكافى

بـ. أنظمة عاكسات (أو مجمعات) فرسنل الخطية reflector(LFR) (or collector (LFC)) systems

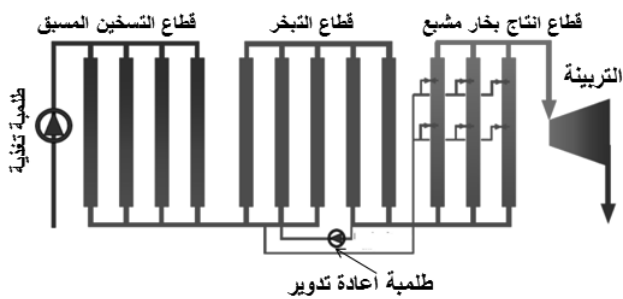
تتصف هذه الأنظمة بأنها تكنولوجيا أبسط كثيراً من أنظمة أحواض القطع المكافئ . يتكون النظام من مرايات صغيرة طولية (والتي يمكن أن تكون على شكل منحني) توضع على مستوى واحد ويمكنها أن تدور تبعاً لمسار الشمس ل إعادة توجيه وتركيز مستمر لأشعتها إلى أنبوب المستقبل الخطى الثابت أي تعمل على عكس الشمس على مستقبل امتصاص أنبوبى مركب فوق صندوق المرايات. لتحسين اصطياد ضوء الشمس يتم تركيب عاكس ثانى أعلى أنابيب المستقبل ب بعدة أمتار والذى يعرف بالعاكس الثانوى. تتراوح متوسط درجة حرارة التشغيل للنظام بين 400°C ، 500°C وهى أعلى من درجة حرارة تشغيل أنظمة أحواض القطع المكافئ. تستخدم

عاكسات فرسنل لانتاج البخار المباشر ولذا يفضل استخدامها في تطبيقات البخار .
يوضح شكل (7) مكونات النظام.



شكل (7) مكونات عاكسات (أو مجمعات) فرسنل الخطية

تسخن المياه من خلال ثلاثة أجزاء، كما في شكل (8)، لانتاج بخار مشبعة (supersaturated steam) والذى يمكن استخدامه لانتاج الكهرباء أو البخار وحرارة العمليات، تتمثل أول مرحلة في تغذية طلمبة والتي تدفع مياه بدرجة حرارة حوالي 30°C إلى الجزء الخاص بالتسخين المسبق (preheating). ثم تدفع المياه مسبقة التسخين، ضعف داخلي، إلى الجزء التالي والخاص بالتبخر (evaporation) عندها يتbxر ويعاد تدويرها إلى جزء البخار وذلك لزيادة عامل التبخير (evaporation factor). اعتمادا على عامل التبخير فإن البخار عندئذ يحقن في جزء التحميص (super heating) بينما ينتج البخار المشبعة والذي يستخدم في العمليات الصناعية المختلفة أو في انتاج الكهرباء من خلال التربينات البخارية.



شكل(8) تمثيل لقطاعات انتاج بخار مشب

من المميزات الرئيسية لعاكسات فرسنل (LFCs) مقارنة بحوض القطع المكافئ (PTCs):

1. يستخدم LFCs مرآيات زجاجية مسطحة رخيصة الثمن والتي تعتبر سلعة قياسية منتجة بكثرة.
2. تحتاج LFCs لصلب وخرسانة أقل، لأن هيكل التثبيت المعدني يكون أخف وزنا، بالإضافة إلى سهولة التجميع.
3. أحمال الرياح على LFCs تكون أقل، والنتيجة استقرار أفضل لهيكل، وتخفيف المفقودات البصرية (الطيف)، وقلة زجاج المرآيات الهالك.
4. مساحة المرآيات لكل مستقبل تكون أكبر في حالة LFCs عن PTCs ، وهذا هام جدا لأن المستقبل هو أعلى مكون لكل من LFCs ، PTC.
5. أسهل في عمليات التنظيف.

تحتاج هذه المميزات إلى توازن لأن الكفاءة البصرية (Optical efficiency) لمجال الشمس للمجمع LFC (بالنسبة إلى اشعاع الشمس المباشر على فتحات المرآيات المتراكمة) تكون أقل من المجال الشمسي للمجمع PTC نتيجة الخصائص الهندسية للمجمع LFC.

المشكلة أن المستقبل يكون ثابت بالإضافة إلى أن مفقودات القدرة في الصباح والمساء تكون مرتفعة مقارنة بالمستقبل PTC . على الرغم من هذه العيوب، فإن البساطة النسبية لنظام LFC يعني أنه أرخص في التصنيع والانشاء عن نظام PTC.

وعلى ذلك تظل التكلفة لكل ك.و.س أقل. بالإضافة إلى ذلك، عموما فإن LFCs يقترح استخدام انتاج بخار مباشر، مع اضافة تخزين الطاقة الحرارية والتي تكون أكثر تكلفة.

2. تركيز نقطة (Point concentrated)

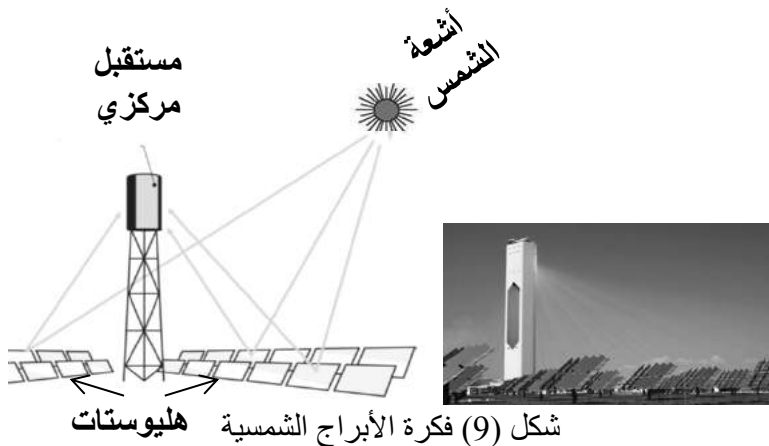
أ. الأبراج الشمسية (Solar towers)

تعتبر الأبراج الشمسية جزء من أنظمة المستقبلات الثابتة ، ولها في هذا المجال أكبر الفوائد لأن لها القدرة على انتاج بخار مشبعب (Supersaturated) بدرجة حرارة أعلى من 700°C وحتى 1000°C ، تعمل درجات الحرارة العالية على

الحصول على كفاءات أعلى مع تربينات البخار وبالتالي كفاءة كلية عالية لمحطة القوي.

لأبراج الشمسية ذات نسبة تركيز 600-fold تكون الكفاءة الإجمالية (Overall efficiency) بين %20 & %35

تعمل أبراج الحرارة الشمسية بآلاف المرات، والتي تعرف بالهليوستات (Heliostats) (أدوات ذات مرآة تعكس الشمس في اتجاه واحد). هذه الهليوستات تعمل لحظيا كعاكسات مسطحة والتي تكون مركبة على نظام محور مزدوج وتعكس الاشعاع الشمسي على نقطة واحدة في البرج العالي. ويمكن أن تعمل الأبراج الشمسية مع نوع معين من مائع التسخين، وتكون أنظمة الهواء والأملام المذابة مناسبة أكثر لهذه التقنية، لأن هذا لا يستدعي الاحتياج إلى مبادرات حرارية إضافية والتي تؤدي إلى انخفاض الكفاءة يوضح شكل (9) فكرة الأبراج الشمسية.



شكل (9) فكرة الأبراج الشمسية هليوستات

بـ. طبق ستيرلنج قطع مكافئ (Dish parabolic - stirling power plant)

يستخدم في هذا النظام تكنولوجيا ستيرلنج القطع المكافئ والتي تنتج الكهرباء مباشرة بالتوافق مع ماكينة ستيرلنج (stirling engine). مقارنة بالأنظمة الأخرى، فإن الكفاءة الكلية للنظام تكون كبيرة حوالي من 20% إلى 30% (اشعاع

تكنولوجيا محطات المركبات الشمسية

شمسي إلى كهرباء). كذلك يحتاج هذا النظام إلى مساحة أرض أصغر مقارنة بالتقنيات الشمسية الأخرى (البرج وحوض القطع المكافئ).

يكون المجمع على شكل طبق قطع مكافئ ، وينعكس الإشعاع على مستقبل موضوع في نقطة مركز (بؤرة) الطبق ، يجهز الطبق بنظام تتبع (تعقب) شمسي على محورين للتأكد من الحصول على أفضل إشعاع للمرآيات ، دائماً يواجه الطبق جهة الشمس . وله نسبة تركيز (concentration ratio) يمكن أن تصل إلى 2000، وعادة يكون عرض الأطباق بين 15m ، 5m

لا يحتاج هذا النوع إلى تخزين طاقة حرارية أو احتمال نقل طاقة حرارية، لأن الطاقة تحول مباشرة إلى كهرباء.

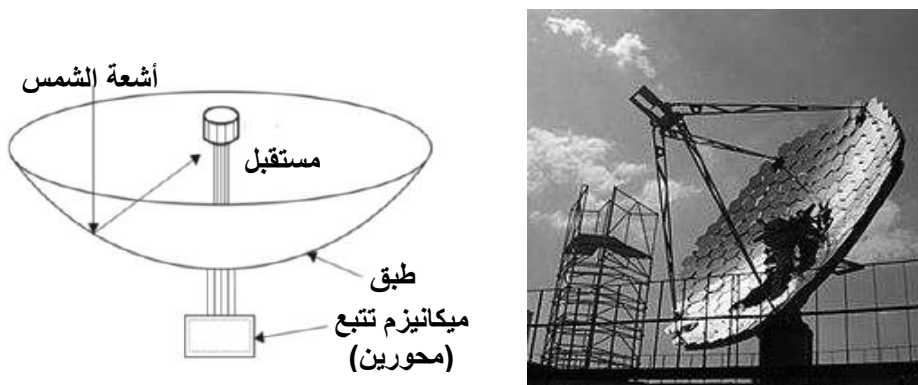
فكرة أساس عمل تكنولوجيا ستيرننج قطع مكافئ: تعكس مرآيات القطع المكافئ أشعة الشمس مباشرة على مستقبل متحرك (ماكينة ستيرننج) والقريب من مرآيا القطع المكافئ شكل (10) فكرة طبق ستيرننج قطع مكافئ.

تسخن العاكستس مائع التسخين (إما هيدروجين أو هليم) في ماكينة ستيرننج حتى درجة حرارة C 750° بعض الأنواع تصل إلى C 1500° وضغط Bar 150. يتم تحويل الحرارة إلى كهرباء عن طريق مولد ستيرننج أو مولد صغير آخر.

من المميزات الأساسية لتكنولوجيا ستيرننج قطع مكافئ تحويل الحرارة مباشرة إلى ماكينة ستيرننج ، والحجم الصغير للنظام له القدرة على التطبيقات الصغيرة لانتاج الطاقة غير مركزية والبعيدة عن الشبكة.

حدود قدرة محطات ستيرننج القطع المكافئ بين 10 KWel, 50 KWel . وبالتالي يسمح ذلك بأن تكون تكاليف الانتاج منخفضة.

من العيوب الرئيسية لهذه التكنولوجيا الاحتياج إلى عاكس هندسي (reflector) معقد وبالتالي تكلفة تصنيع مرتفعة ، وكذلك صيانة خاصة بمهارة لأن كل طبق يشمل على مولد وماكينة خاصة به.



شكل (10) فكرة طبق ستيرلنج قطع مكافئ

يوضح جدول (3) مقارنة بين تكنولوجيات CSP .
ويوضح جدول (4) خصائص CSP المنتجة تجاريا:

- حوض قطع مكافئ Parabolic trough
- مجمع فرسنل الخطى Linear Fresnel
- الأبراج الشمسية Solar Towers
- طبق قطع مكافئ Parabolic dish

جدول (3) مقارنة بين تكنولوجيات CSP

البند	الأبراج الشمسية Solar Towers	حوض قطع مكافي Parabolic trough	طريق قطع مكافي Parabolic dish	مجمع فرسنل الخطى Linear Fresnel
الاستخدام	المشاريع الكبيرة المتصلة بالشبكة بسعة MW 200-30	المشاريع الكبيرة المتصلة بالشبكة بسعة MW 200-30	التطبيقات الفردية او مجموعات في المزارع	التطبيقات الفردية
التكليف (دولار/وات)	4.4 – 2.5	4 – 2.7	12.6 – 1.3	غير متوفّر
محور مزدوج	محور مزدوج	محور أحدى أو مزدوج	محور مزدوج	محور مزدوج
مبادل حراري	يحتاج	يحتاج	لا يحتاج	لا يحتاج
نوع التركيز (في حالة الصفوف المتوازية)	تركيز نقطة	تركيز خط	تركيز نقطة	تركيز خط
نوع المستقل	ثابت	متحرك (متقل)	متحرك	ثابت
المميزات	لأن الأملاح الموجودة المرغوبة أقل فإن درجة حرارة التشغيل تكون أعلى مقارنة بـ "حوضقطع المكافي"	ضوء الشمس مركزى للحصول على كفاءة جيدة للمستقبل	يمكن تركيبها في اي قطعة أرض (تضاريس) باسخدام كميات قليلة من المياه	لا تحتاج ربط دوار بين المستقلات و مواسير الموقع الرئيسية ، و بالتالي تجهيز تصميم اضافي مرن
العيوب	كل مرآة يجب ان تشتمل على تحكم محوري مزدوج	تلف أنابيب المستقبل بأنابيب زجاج شفاف لتخفيف الفقد الحراري	تحتاج التحويل من الحرارة إلى الكهرباء إلى آلية ثقيلة ، و التي تحتاج إلى نظام تعقب	تحتاج إلى مرآة أعلى المستقبل(الثانوى) لإعادة بور الأشعة الضائعة أو مستقبل متعدد الأنابيب و الذي يكون كبير كفاية لالتقاط الأشعة الضائعة بدون مرأة

جدول (4) خصائص CSP المنتجة تجاريًا

مجمع فرنستل Collector Fresnel	طبق ستيرلنج Dish stirling	برج مركزي Central tower	حوض قطع مكافيء Parabolic trough
درجة الحرارة: 400°C	درجة الحرارة: 700 - 800 °C	درجة الحرارة: 600 - 800 °C	درجة الحرارة: 400°C
تركيز خط	تركيز نقطة	تركيز نقطة	تركيز خط
مستقبل خطى	متتبع محور مزدوج	مستقبل مركزي	أنبوب استقبال خطى
-----	لا يحتاج مياه	يستهلك مياه	تستهلك مياه
- صف مستقبل ثابت مع مرايات - مرايات مركبة مسطحة او منحنية	تركيز طبق	مرايات ترکيز مسطحة	التركيز : مرايات قطع مكافئ
-----	صعوبة تخزين الحرارة	قدرة تخزين الحرارة	يمكن تخزين الحرارة
تجاريا تحت التطوير	تجاريا تحت التطوير	معتمد تجاريا	الأكثر انتشارا تجاريا
5 MW تشغيل	وحدات 25 KW	أداء جيد للساعات الكبيرة و درجات الحرارة	جيد لاختيارات التهجين (المزج)
إنشاءات أقل	-----	يمكن الانشاء على موقع غير مسطح	يحتاج أرض مسطحة
-----	كفاءة عالية %30	كفاءة منخفضة للمستقبل ولكن كفاءة عالية للتربية	كفاءة جيدة للمستقبل ولكن كفاءة منخفضة للتربية
-----	تبريد جاف	-----	-----
-----	ماكينة ستيرلنج	-----	-----

الباب الرابع مائع نقل الحرارة (Types of heat transfer fluid (HTF))

يعرف انتقال الحرارة (heat transfer) أنه طاقة منتقلة نتيجة لفرق في درجات الحرارة. فلينما يظهر فرق في درجات الحرارة في وسط معين أو بين وسطين عند ظهر ظاهرة انتقال للحرارة.

إن انتقال الحرارة هو انتقال الطاقة الحرارية من الكتلة الألسخ إلى الكتلة الأبرد. عندما يكون لجسم ما درجة حرارة مختلفة عما يحيط به من الأجسام، فإن انتقال الطاقة الحرارية (تعرف أيضاً بالتدفق الحراري أو التبادل الحراري)، يحدث بحيث تصل الأجسام إلى توازن حراري، وهذا يعني أنها ذات درجة حرارة واحدة. ويحدث الانتقال الحراري دائمًا من الأجسام الألسخ إلى الأجسام الأبرد، وهذا ما يؤكد القانون الثاني للديناميكا الحرارية: إن انتقال الحرارة بين الأجسام القريبة لا يمكن إيقافه، ولكن يمكن إبطاؤه. تنتقل الحرارة بثلاثة طرق هي: التوصيل، والحمل، والإشعاع.

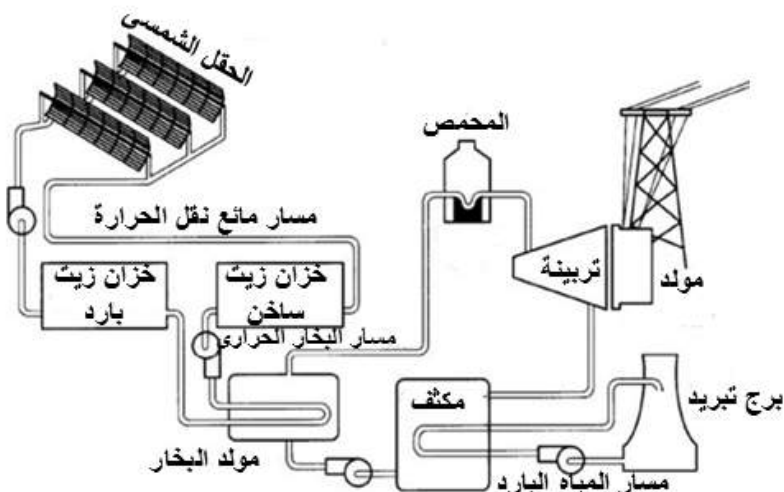
إن انتقال الطاقة بواسطة التوصيل أو الحمل يحتاج إلى وجود وسط مادي بينما الانتقال عن طريق الإشعاع لا يحتاج ذلك وأن الانتقال بالإشعاع يظهر بكفاءة أكبر في الفراغ فيما يلى تعريف طرق انتقال الحرارة:

- التوصيل (conduction): وتنتقل الحرارة بالتوصيل من جسم إلى آخر بواسطة الإتصال المباشر أو التصادم العشوائي بدون أي حركة لكتلة المادة وإنطلاق الحرارة وقد يكون توصيلاً مستقراً أو بمعدل ثابت أو غير مستقر بمعدل متغير.

- الحمل (convection): يحدث هذا النوع من انتقال الحرارة في الموائع (السوائل والغازات) وذلك أثناء سريانها داخل أو خارج المواسير أو سريانها على الأسطح الساخنة أو الباردة، ويتم انتقال الحرارة بالحمل نتيجة لحركة جزيئات المائع و هي محملة بالحرارة حيث تصطدم مع جزيئات أخرى أقل منها في درجة الحرارة وبالتالي تكتسها جزء من حرارتها، ويلاحظ أن انتقال الحرارة بالتوصيل أسرع من انتقال الحرارة بالحمل، هذا ويكون إما حملًا حراً أو حملًا جبرياً.

- الإشعاع (radiation) : هو انتقال للموجات الكهرومغناطيسية من مصدر مشع إلى آخر خلال الفراغ الذي قد يكون أو لا يكون مشغولاً بالمادة.

إن مائع نقل الحرارة، هو أحد المكونات الأساسية لتخزين ونقل الطاقة الحرارية في أنظمة مركبات الطاقة الشمسية. يوجد أنواع مختلفة من موائع نقل الحرارة مثل الهواء والماء / البخار والزيوت الحرارية (thermal oils) والسوائل العضوية (organic fluids) والأملاح المنصهرة (molten-salts) والمعادن السائلة (liquids) والصلب (metals)، والتي تختلف خصائصها مثل درجة حرارة الانصهار (melting temperature)، الثبات الحراري - (thermal stability) – التآكل (corrosion)، وتكون الأنابيب والمواد الحاوية لمائع نقل الحرارة من الفولاذ المقاوم للصدأ وسبائك النيكل. يوضح شكل (1) مسار مائع نقل الحرارة بنظام مركبات الطاقة الشمسية



شكل (1) مسار مائع نقل الحرارة بنظام مركبات الطاقة الشمسية

أنواع مائع نقل الحرارة (Types of heat transfer fluid (HTF))

1. زيوت حرارية اصطناعية (Synthetic thermo oil)

وللتتبسيط تسمى زيوت حرارية (thermo oil)

هذا المائع مستخدم في جميع أنظمة المركبات الشمسية البخارية منذ أكثر من 25 سنة بمحطات حوض القطع المكافئ.

هذه الزيوت عبارة عن خليط أصهري (eutectic mixture) (أحيانا يطلق عليه بوتكتي) (هو مخلوط من مادتين أو أكثر له نقطة انصهار أقل من نقطة انصهار أي مخلوط آخر منها، وقد تسلك البوتكتيات من بعض الوجوه مسلك المركب الحقيقي) من ثانوي أكسيد الفينيل (biphenyl / biphenyl oxide).

من الأنواع شائعة الإستخدام: (Thermal VP-1) (Dowtherm A) & (1) يوضح جدول (1) مميزات وعيوب الزيوت الحرارية.

جدول (1) مميزات وعيوب الزيوت الحرارية

العيوب	المميزات
<p>درجات حرارة قصوى محدودة (حوالى 400°C)</p> <p>تسبب مشاكل في التحلل الحراري</p> <p>مشاكل الوميض</p> <p>مشاكل السموم</p> <p>العمل تحت ضغط (حوالى 25 الى 35 بار) لتجنب التبخر عند درجات حرارة التشغيل</p> <p>تكليف مرتفعة (حوالى 4 الى 7 يورو/كجم)</p> <p>أقل صدافة للبيئة مقارنة بالأوساط الأخرى ، التسريب لا يسبب مشكلة عند تشغيل المحطة ولكن يؤثر بيئيا.</p>	<ul style="list-style-type: none"> درجة حرارة تجمد منخفضة (حوالى من 12°C الى 20°C) استقرار حراري عالي في حدود درجات حرارة التشغيل لزوجة منخفضة (تحسين النقل الحراري - انخفاض مشاكل الصخ وبداية التشغيل) عدم التأكل (من غير المرغوب استخدام سبائك خاصة أو ستليس ستيل)

2. الزيوت المعدنية (Mineral oil)
 استخدمت هذه الزيوت عند انشاء أول محطة مركبات شمسية حرارية عام 1985
 يوضح جدول (2) مميزات وعيوب الزيوت المعدنية.

جدول (2) مميزات وعيوب الزيوت المعدنية

العيوب	المميزات
<ul style="list-style-type: none"> ▪ عند درجة حرارة أعلى من 500°C يصبح غير مستقر. 	<ul style="list-style-type: none"> ▪ في حالة وجود نظام تخزين مباشر ، أي أن نظام التخزين يستخدم HTF مباشر كوسط تخزين ، لأن الزيوت المعدنية تمتاز بأنها وسط تخزين حراري جيد.

3. الأملاح الذائبة (Molten salts)
 توجد أنواع مختلفة من خليط الأملاح الذائبة مثل:

- خليط ثنائي (brinary mixtures) :
 أملاح شمسية (solar salts) :
 نترات صوديوم % m/m : 60% Na NO3
 نترات بوتاسيوم 40% K NO3
- خليط ثلاثي (ternary mixture) :
 ملح غير عضوي (الاسم التجاري Hitec)
 نترات صوديوم % m/m : 7% Na NO3
 نترات بوتاسيوم 53% K NO3
 نترات صوديوم 40% Na NO2
- ملح خليط النترات الثلاثي (الاسم التجاري Hitec XL)
 نترات صوديوم % m/m : 7% Na NO3

نترات بوتاسيوم K NO₃
نترات كالسيوم Ca (NO₃)₂

الكسر الكتلي (mass fraction) w_i :

فى الكيمياء، هو عبارة عن نسبة كتلة مادة ما m_i إلى كتلة المزيج الكلى m_{tot} أى ان $w_i = m_i / m_{tot}$ ويرمز له بـ %
هذا يعني أن الكسر الكتلى يستخدم فى تقنية تحليل العناصر للاشارة إلى نسبة كتلة أحد العناصر إلى الكتلة الكلية

يوضح جدول (3) مميزات وعيوب الأملاح الذائبة

ويوضح جدول (4) خصائص أنواع الأملاح الذائبة

جدول (3) مميزات وعيوب الأملاح الذائبة

المميزات	العيوب
<ul style="list-style-type: none"> ▪ أقصى درجات حرارة (حتى C 600°) ▪ عدم وجود مشاكل للوميض ▪ لا توجد مشاكل سوموم ▪ ضبط تشغيل منخفض ▪ (حوالي 1 الى 10 بار) ▪ تكاليف منخفضة (حوالي 0.5 الى 2 يورو/كجم) 	<ul style="list-style-type: none"> ▪ درجة تجمد مرتفعة (صعوبة التحكم ليلا، مثلا التسخين الكهربائي للأنباب، أو دوران المائع الساخن)

جدول (4) خصائص أنواع الأملاح الذائبة

ملح خليط النترات الثلاثي Hitec) (XL	ملح غير عضوي (Hitec)	أملاح شمسية solar) (salt	الخصائص
500	535	600	أقصى درجة حرارة °C
120	142	238	نقطة تجميد °C
1992	1640	1899	الكثافة عند 300°C (kg/m3)
6.37	3.16	3.26	*اللزوجة عند 300°C (cp)
1447	1560	1495	السعة الحرارية عند 300°C (kj/kg)

*اللزوجة هي مقاومة مائع ما للجريان، ومقدار مقاومته لضغط يجبره على التحرك والسائلة. كلما زادت لزوجة مائع ما، قلّت قابليته للجريان.

البواز (Poise) عبارة عن وحدة غير نظامية لقياس اللزوجة الحركية، سميت نسبة للفيزيائي الفرنسي جان لويس ماري بوازييه (Jean Louis Marie Poiseuille) من مئة جزء واحد من سنتيمتر مربع من البواز يسمى سنتيمواز، وذلك بإضافة الساقية سنتي. 1 سنتيمواز يعادل 1 ميلي باسكال.ثانية ($cP = 10^{-3} P = 10^{-3} \text{ Pa}\cdot\text{s}$)

4. البخار / المياه (Steam / Water)

يستخدم كمائع نقل الحرارة ومائع تشغيل في دوره مجموعة القوي

يوضح جدول (5) مميزات وعيوب البخار / المياه

جدول (5) مميزات وعيوب البخار / المياه

المميزات	العيوب
▪ عدم وجود مشاكل التجمد	▪ ضغوط مرتفعة داخل أنبوب الممتص (حوالي 100 بار)
▪ عدم وجود مشاكل الوميض	▪ صعوبة التحكم في درجة الحرارة على طول الأنبوب

يوضح جدول (6) خصائص أنواع مائع نقل الحرارة الآتية:

- زيت معدني
- زيت اصطناعي
- زيت سيليكون
- أملاح نترات
- أملاح كربونية
- صوديوم (سائل)

جدول (6) خصائص مائع نقل الحرارة

الموصولية الحرارية (K) (w/m.k)	السعة الحرارية (Cp) (J/Kg . k)	أقصى درجة حرارة (° C)	نوع الوسط
0.12	2600	300	زيت معدني (mineral oil)
0.11	2300	400	زيت اصطناعي (synthetic oil)
0.10	2100	400	زيت سيليكون (silicon oil)
0.50	1500	450	أملاح نترات (Nitride salt)
0.50	1600	565	أملاح نترات (Nitride salt)
2.0	1800	850	أملاح كربونية (carbonate salt)
71.0	1300	850	صوديوم (سائل) (sodium)

حيث

C_p = specific heat at constant pressure

K = thermal conductivity (heat conductivity)

- الحرارة النوعية (specific heat)

هي كمية الحرارة اللازمة لتغيير حالة 1 كيلوجرام من المادة من حالة إلى أخرى دون تغيير في درجة الحرارة (مثل تحول الماء إلى بخار). ... وعند تحول المادة من الحالة السائلة إلى الحالة الصلبة فقد المادة حرارة الانصهار وتصبح مادة صلبة.

- الموصلية الحرارية (thermal conductivity)

في الفيزياء والكيمياء هي خاصية المادة التي تشير إلى قابلية المادة لنقل الحرارة. تفاصيل الموصلية الحرارية لمادة ما بوحدة وات/متر/كلفن.

وتختلف الموصلية الحرارية من مادة إلى مادة فالمعادن عموما تكون جيدة الناقلية الحرارية مثل النحاس والحديد والفضة، أما الأخشاب و البلاستيك مثلا، فهي ضعيفة التوصيل الحراري.

الباب الخامس أنظمة تخزين الطاقة الحرارية Thermal energy storage systems (TES)

سيق توضيح أن تكنولوجيا تركيز الطاقة الشمسية تستخدم المرايا لتعكس وتركتز أشعة الشمس نحو مستقبل يقوم بجمع هذه الطاقة وتحويلها إلى حرارة و التي يمكن استخدامها لانتاج الكهرباء عن طريق التوربينات البخارية والمولدات الكهربائية. على الرغم أن الطاقة الشمسية تصنف من بين الطاقات ال возاعية، إلا أنها تواجه عدة تحديات منها أن إنتاج الطاقة يكون متقطع عندما تغرب الشمس أو عند وجود الغيوم.

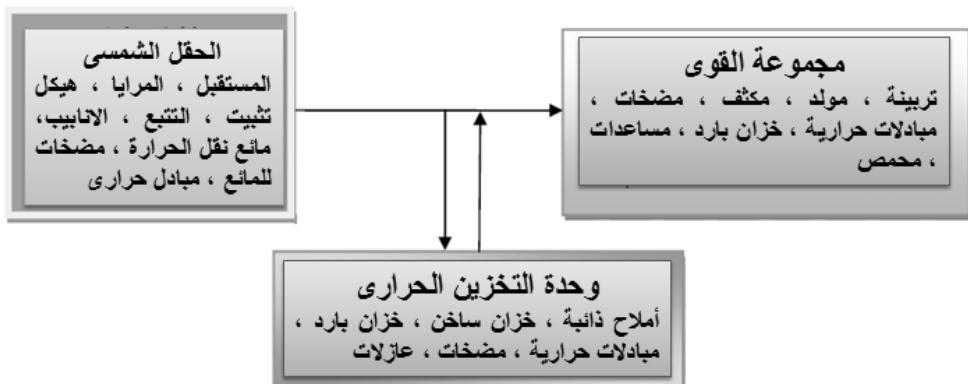
يعتبر التخزين الحراري من أنجح الطرق للتصدي لهذا التحدي حيث يساعد في الاستخدام الفعال للطاقة وتوفيرها كما أن هناك اختلاف بين نسبة الطاقة المولدة والمستهلكة.

من تقنيات التخزين الحراري، تخزين الحرارة الكامنة والتي تستخدم مواد تغير حالتها الفيزيائية بفعل الحرارة. إذ أن هذه المواد لها خاصية تخزين الطاقة في شكل حرارة كامنة، هذه الحرارة يجري تخزينها أو استخدامها أثناء الانتقال من الحالة الصلبة إلى الحالة السائلة أو العاكس. فهي تعتمد على تطبيق مبدأ فيزيائي بسيط، إذ تتميز كل مادة بدرجة حرارة انصهار معينة فتحول إلى حالتها السائلة عن طريق امتصاص الحرارة من الجو المحيط و تستعيد حالتها الصلبة عند انخفاض درجة الحرارة. و ترتبط هذه الخاصية بالطاقة الحجمية الممنوحة عند انصهار المادة، إذ كلما كانت كبيرة كلما كانت خصائص تخزين / استعادة الحرارة مثيرة للاهتمام. يمكن تصنيف هذه المواد وفقاً لطبيعتها الكيميائية في ثلاثة فئات كبيرة: مواد عضوية ، مواد غير عضوية و مواد سهلة الانصهار.

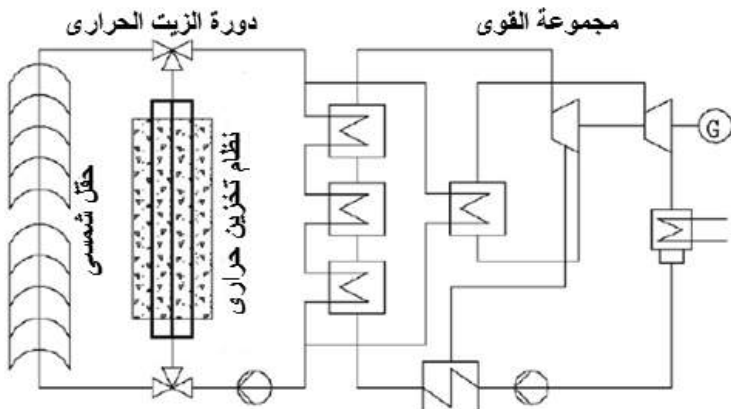
كمثال لمادة غير عضوية تدخل ضمن الأملاح الرطبة: نترات الصوديوم. تعتمد تكنولوجيا المحطات الحرارية بالمركبات الشمسية (CSP) على الاشعاع الشمسي المركب من فوائد CSP مقارنة بالمحطات الفتوافتية PV ان الاشعاع الشمسي لا يتحوال مباشرة الى طاقة كهربائية ولكن يتحوال الى حرارة ثم ينتج بخار من هذه الحرارة. يلي ذلك مرحلة امكانية تخزين الحرارة لحفظها على انتاج طاقة ثابتة. يوضح شكل (1) المكونات الرئيسية لمحطة مركبات شمسية، للتخزين الحراري عدة

تطبيقات مختلفة في محطة CSP، من أهم تطبيقات التخزين الحراري أنه يتجاوز حالة وجود سحب، غمام أو ظلام وعمل المحطة لفترات طويلة وقت الغروب. يوضح شكل (2) تمثيل لمكونات محطة شمسية ديناميكا حرارية، وموضع التخزين الحراري بها.

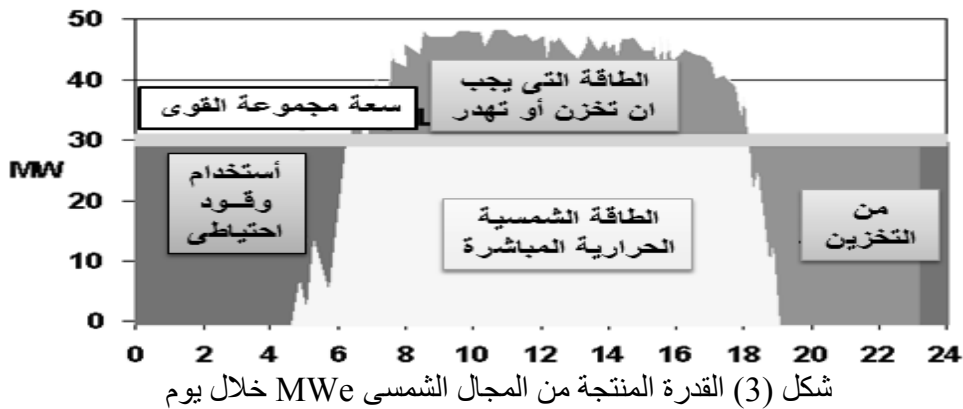
يوضح شكل (3) تمثيل للقدرة المنتجة من المجال الشمسي MWe خلال يوم لمحطة مركبات شمسية، يلاحظ أن أقصى طاقة كهرباء حرارية منتجة من الحقل الشمسي أكبر من المقدن الحراري لمجموعة القوى، هذه الزيادة تخزن في حالة وجود نظام تخزين أو تهدى في حالة عدم وجود نظام تخزين.



شكل (1) المكونات الرئيسية لمحطة مركبات شمسية



شكل (2) تمثيل لمكونات محطة شمسية ديناميكا حرارية



يوضح جدول (1) أنظمة تخزين الطاقة الحرارية، ونلاحظ التوليفة بين نوع المجمع وضغط التشغيل ، وحدود درجة حرارة التشغيل، والتي تختلف من 260°C لنظام برج بخار مشبع عند 40 bar ضغط ، إلى 1000°C في نظام هواء المجمع برج وضغط 1 bar

تصنف تكنولوجيات خزانات الطاقة الحرارية إلى :

- نظام تخزين طاقة حرارية فعال مباشر (direct active) والذي فيه يكون مائع التحويل الحراري (HTF) هو وسط التخزين (شكل (4))
- نظام تخزين طاقة حرارية سلبي (passive)، والذي لا يكون فيه مائع التحويل الحراري (HTF) هو وسط التخزين، حيث تستخدم مادة أخرى في هذا النظام (شكل(5))

عادة يستخدم البخار كمائع تحويل الحرارة في أنظمة مجموعات أحواض القطع المكافئ والأبراج. في أغلب الأنواع يستخدم مركم البخار (steam accumulator)، تكون الفكرة تخزين كميات قليلة من البخار لحفظه على استقرار الشبكة الكهربائي.

جدول (1) أنظمة تخزين الطاقة الحرارية

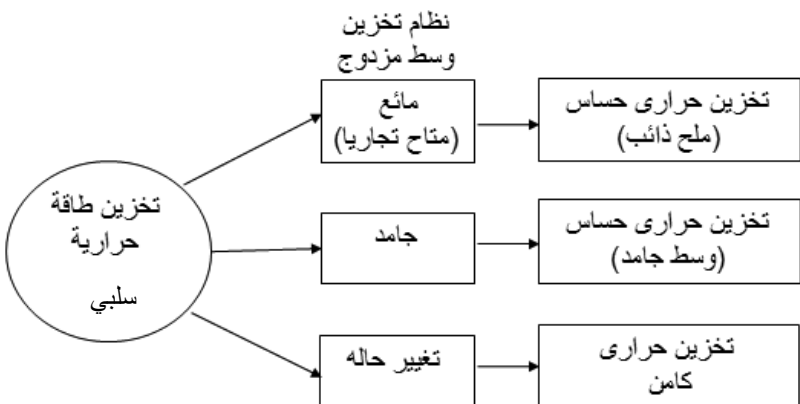
نوع مائع التحويل الحراري	نوع المجمع	ضغط التشغيل (Bar)	درجة حرارة التشغيل (° C)	مجموعة القوى (PB)
زيوت صناعية	حوض قطع مكافئ	15	400	دورة رانكن * العضوية (ORC)
بخار مشبع	برج	40	260	تربيبة بخارية
بخار محمص	برج	50-100	400-500	تربيبة غازية
ملح ذاتي	حوض/برج	1	500-600	دورة مركبة
هواء	برج	1	700-1000	ماكينة ستيرلينج **
هواء	برج	15	800-900	أخرى

* دورة رانكن العضوية (ORC) Organic Rankine Cycle

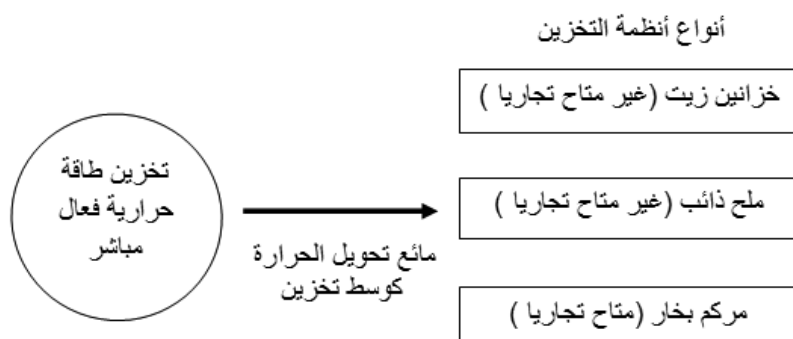
هي دورة وظيفتها تحويل الطاقة الحرارية إلى شغل. تغذي الحرارة من مصدر خارجي إلى حلقة مغلقة، والتي عادة ما تستخدم الماء. تولد هذه الدورة حوالي 80% من الطاقة الكهربائية حول العالم، بما في ذلك جميع منشآت الطاقة الشمسية الحرارية، الطاقة الحيوية، طاقة وقود أحfoري، و الطاقة النووية. يعود اسمها إلى العلامة الاسكتلندية، ويليام رانكن. تعد دورة رانكن اللبنة الأساسية في الديناميكا الحرارية المتعلقة بالمحرك البخاري.

** ماكينة ستيرلينج (Stirling engines)

يعرف أيضاً بمحرك الهواء الساخن، محرك ستيرلينج هو محرك حراري، يعمل بواسطة ضغط وتمدد الهواء أو غاز آخر، عند درجات حرارة مختلفة. وبشكل آخر هو تحويل الطاقة الحرارية لشغل ميكانيكي- بذلك جهد، وتعريفه بشكل محدد أكثر هو دائرة مغلقة ذات محرك حراري يعمل بشكل مستمر بواسطة جهد الغازات التي تتضغط وتمدد بشكل مستمر .. صمم محرك ستيرلينج في عام 1816 بواسطة روبرت ستيرلينج



شكل (4) نظام تخزين طاقة حرارية سلبي



شكل (5) نظام تخزين طاقة حرارية فعال مباشر

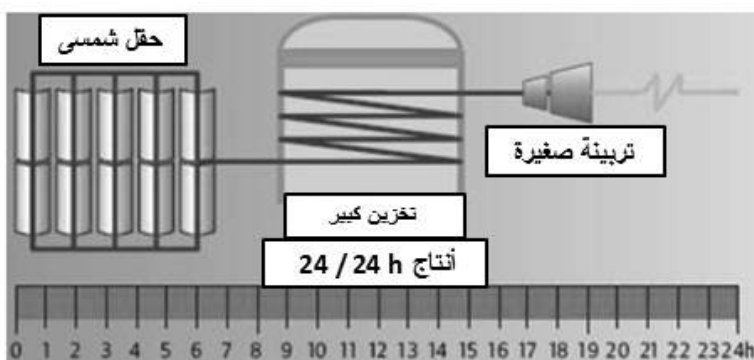
تناسق أحمال المحطة (Load plant configuration)

نظراً للتكامل بين التحويل الحراري (Thermal storage) المحتمل والذي يسمح بتخزين الطاقة الكهربائية عند حالات طلب طاقة مختلفة، ظهرت ثلاثة حالات لمحطات الحمل هي: الأساس، الوسط والذروة.

تبعاً لكل من: المصدر المختار، سعة تربينة البخار، مقاس الحقل الشمسي وحجم التخزين يتم الربط بينهم طبقاً للطريقة المناسبة. سيتم تعريف حالات محطات طلب الحمل مع فرض:

- ثبات مقاس الحقل الشمسي (Solar field) والتي يعني أن الطاقة الكهربائية المنتجة تكون ثابتة.

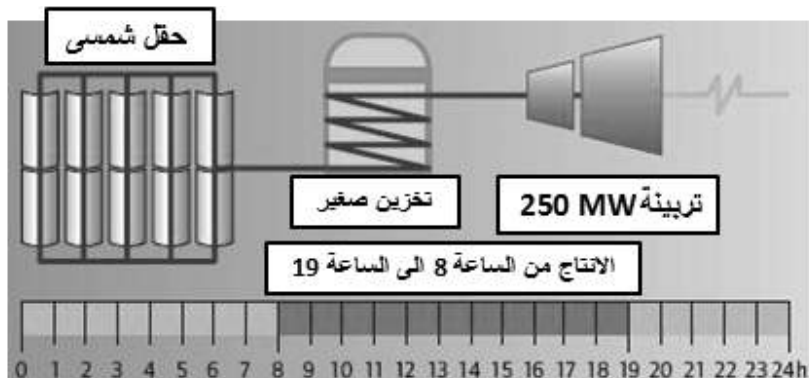
1. محطة الحمل الأساسي (base load plant) تحتاج محطة الحمل الأساسي في نظام حوض القطع المكافىء إلى تخزين كبير جداً، والتي تسمح لانتاج كهرباء لفترات طويلة جداً بدون اشعاع شمسي ، ويكون مقاس التربيعية صغير لأن الكهرباء تنتج بصفة مستمرة، أي أن يتوزع الانتاج على عدد كبير من ساعات التشغيل. ومن أمثلة هذا النوع سعة تربيعية 120 MW يوضح شكل (6) هذا النظام



شكل (6) تمثيل لمحطة الحمل الأساسي

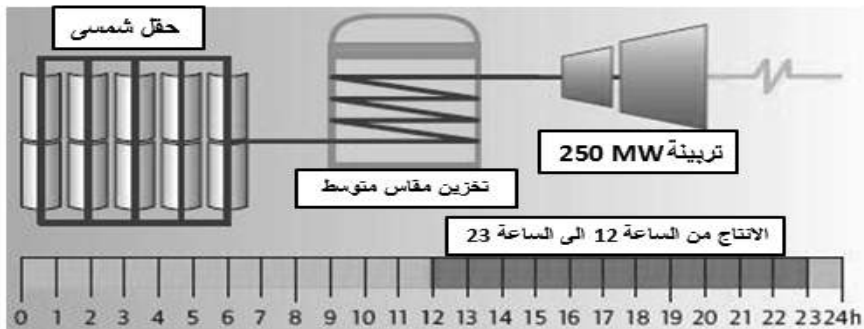
2. محطة حمل وسط (Intermediate load power plant) لهذا النوع تكون عدد ساعات التشغيل من الساعة 8 إلى الساعة 19 ، وفيه يستخدم تخزين صغير لأن الطاقة ستخزن لفترة زمنية أقل. وتكون التربيعية أكبر من النوع المستخدم في محطة الحمل الأساسي، لأن الطاقة الكهربائية تكون أقل من الناتج في محطة الحمل الأساسي، وتكون التكاليف الاستثمارية لمحطات حوض حمل وسط أقل من محطات الحمل الأساسي لأن خزان التخزين أصغر والتربيعية متوسطة الحجم. من بين محطات حوض القطع المكافىء يكون هذا النوع هو الأقل تكلفة

لانتاج الكهرباء ومن أمثلة هذا النوع سعة تربينة 250 MW، يوضح شكل (7) تمثيل لمحطة حمل وسط



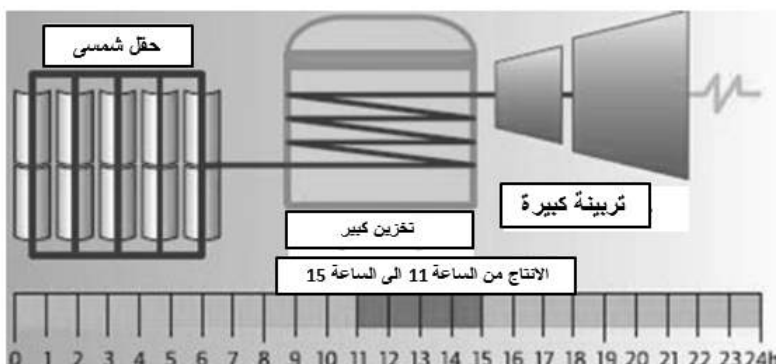
شكل (7) تمثيل لمحطة حمل وسط

3. محطات حوض حمل وسط متأخر (delay intermediate load) في هذا النوع يتم التخزين بأكمل لنفس مدة الفترة الزمنية ولكن من الساعة 12 إلى الساعة 23. يكون حجم التربيعنة بنفس الحجم في حالة حمل وسط ولكن الخزان يجب أن يكون أكبر ليسمح بانتاج الكهرباء خلال فترات انخفاض الاشعاع الشمسي. يوضح شكل (8) هذا النوع



شكل (8) تمثيل لمحطة حوض حمل وسط متأخر

4. محطة حمل الذروة (**peak load**) تعمل هذه المحطة لعدد قليل من الساعات (من الساعة 11 إلى الساعة 15) ولذا تحتاج إلى تurbine كبيرة. ثم يتم تركيز الطاقة الكهربائية في فترة زمنية قصيرة. بالإضافة إلى أن الخزان الحراري يكون كبيراً وذلك لأن مدخل الطاقة الشمسية الكبير يجب تخزينه لامكانية تحويله إلى طاقة كهربائية لفترة قصيرة. لهذا النظام أعلى تكلفة انتاج كهرباء بين الأنظمة السابقة ، كمثال لهذا النوع سعة تربينة 620 MW وتنتج لمدة 4 ساعات هي وقت أعلى استهلاك للكهرباء والتي تكون في فترة الظهر. يوضح شكل (9) تمثيل لمحطة حمل الذروة.



شكل (9) تمثيل لمحطة حمل الذروة

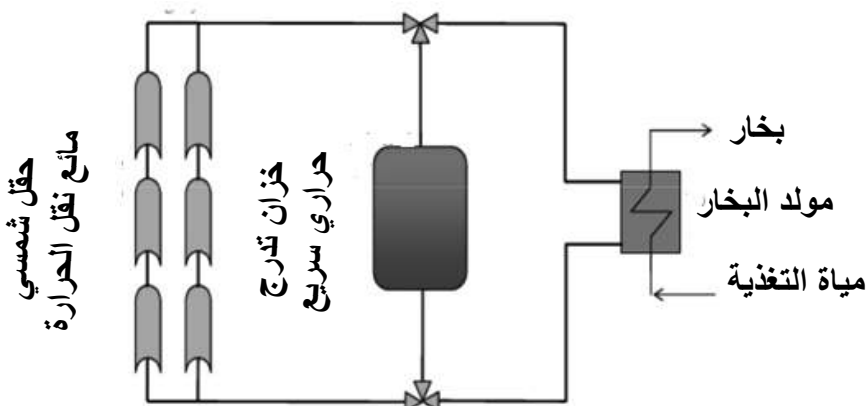
- يعتمد المقاييس المثالي للخزان على:
- التكاليف الاستثمارية لنظام التخزين

- استرتيجية تشغيل المحطة
- يجب الوصول ألي أقل تكاليف للكهرباء
(levelized Electricity cost)

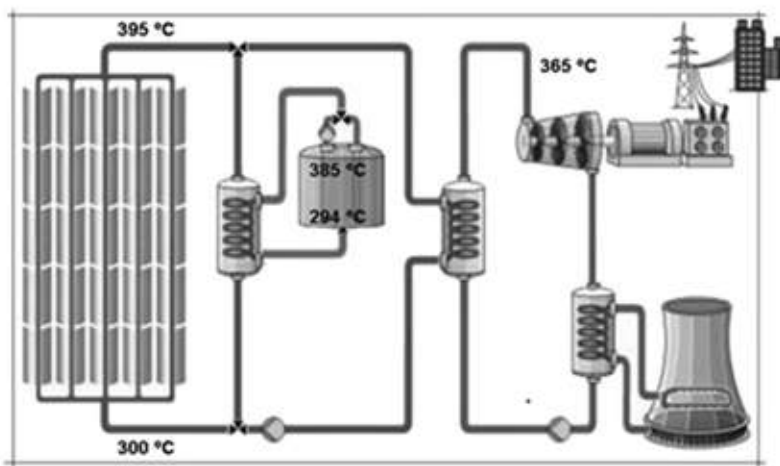
يمكن أن يحتوى نظام التخزين على خزان واحد أو خزانين

خزان واحد

خزان تدرج حراري سريع (Thermocline tank) عبارة عن خزان واحد يحتوي على مائع بدرج رأسي لدرجة الحرارة، حيث يكون المائع الساخن في أعلى الخزان بينما المائع البارد في القاع. يتصف هذا النوع أنه يستخدم مادة حشو منخفضة التكاليف والتي تشكل أعمال أساسية موضحة في شكل (10) ويوضح شكل (11) تمثيل لموضع التخزين الحراري (خزان واحد) في محطة المركبات الشمسية.



شكل (10) تمثيل خزان تدرج حراري سريع



مجموعة القوى الحقل الشمسي التخزين الحراري

شكل (11) تمثل لموضع التخزين الحراري (خزان واحد) في محطة المركزات الشمسية

نظام خزانيين

في هذا النظام يستخدم خزان منفصل يعرف بالخزان الساخن وآخر خزان بارد. تعتمد مستويات درجة الحرارة على أقصى وأدنى درجة حرارة يصل إليها مائع نقل الحرارة بالمجال الشمسي

من أمثلة درجات حرارة الخزانيين ذلك:

في محطة Archimede (نظام مباشر)

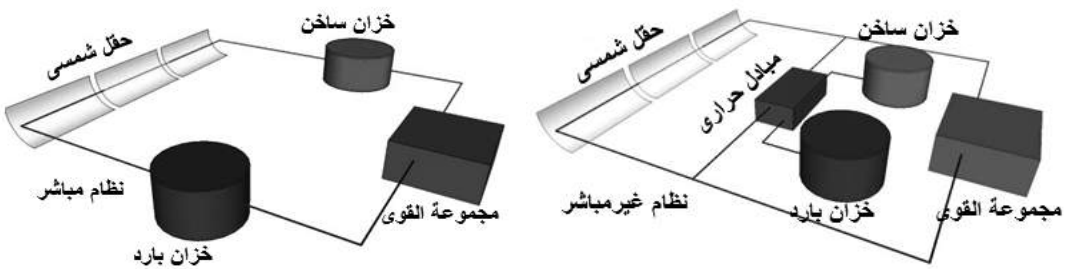
$$T_{\text{hot,tank}} = 550^\circ \text{C}, T_{\text{cold,tank}} = 290^\circ \text{C}$$

في محطة Andasol (نظام غير مباشر)

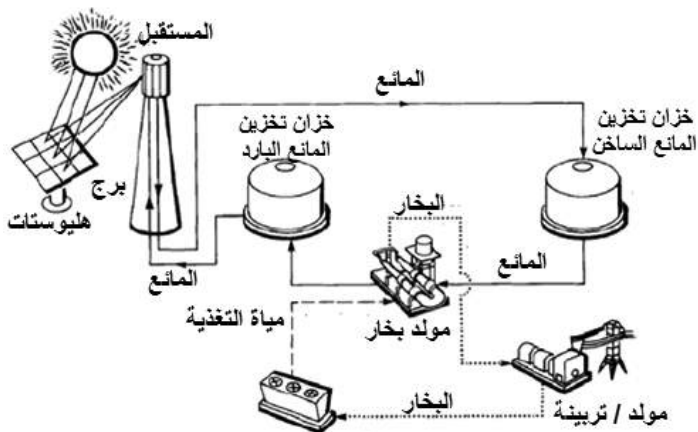
$$T_{\text{hot,tank}} = 386^\circ \text{C}, T_{\text{cold,tank}} = 292^\circ \text{C}$$

يوضح شكل (12) تمثل لنظام تخزين مباشر وآخر غير مباشر

ويوضح شكل (13) رسم تخطيطي لنظام مركزات شمسية – مستقبل مرکزی يحتوى على خزانيين ملح منصهر (المائع)



شكل (12) تمثيل لنظام تخزين مباشر وآخر غير مباشر



شكل (13) رسم تخطيطى لنظام مركزات شمسيه – مستقبل مركزى
يحتوى على خزانين ملح منصهر (المائع)

الباب السادس
محطات قوى فرسنل الخطية
Linear Fresnel Power Plants

ينسب إسم تكنولوجيا مجمعات (عاكسات) فرسنل الخطية إلى عدسات فرسنل (Fresnel lens) والتي أخترعت بواسطة الفيزيائي الفرنسي (أوجستين- جين فرسنل Augustin-Jean Fresnel) لوضعها بالمنارات لهداية الملاحين وذلك في القرن الثامن عشر، الموضحة في شكل (1)



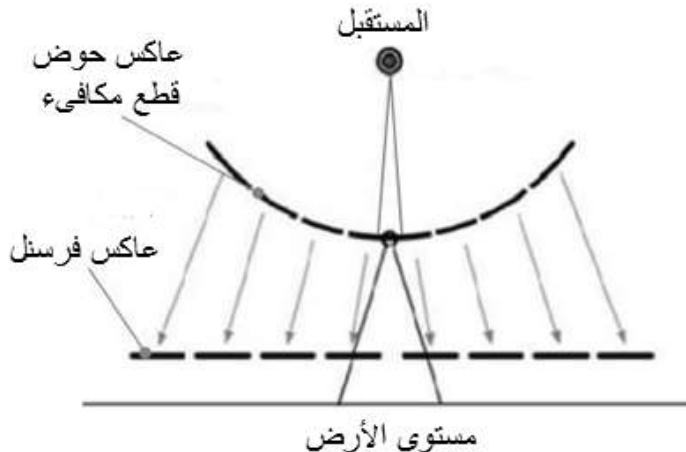
شكل (1) عدسة فرسنل

تتراوح حدود قدرة محطات فرسنل الخطية من عدة مئات من kw إلى عدد من Mw .

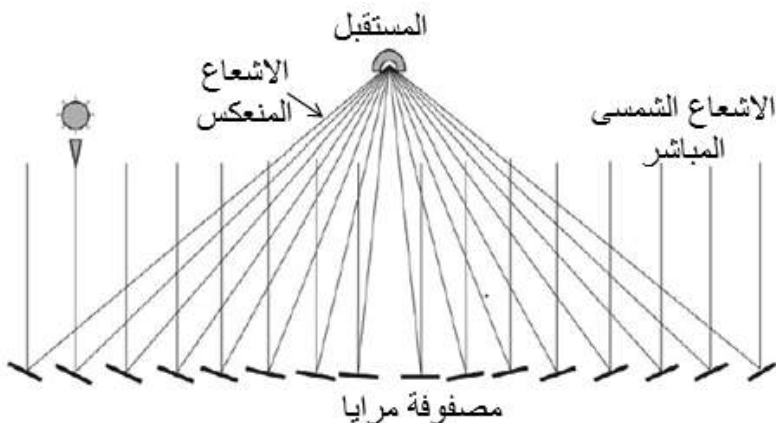
تعتمد فكرة عاكسات فرسنل على تقسيم مرآيا قطع مكافئ إلى شرائح مشكلة مرآيات فرسنل كما في شكل (2) والذي يوضح مقارنة بين عاكس حوض قطع مكافئ وعاكس فرسنل.

حيث يوضح شكل (3) أن هذه المرآيا تركز أشعة الشمس على المستقبل المحتوي على مائع ناقل الحرارة والذي يمكن أن يكون مياه أو زيت أو أملاح مذابة ويخترار نوع المائع اعتماداً على درجة حرارة تشغيل النظام. يوضح شكل (4) مكونات حقل فرسنل.

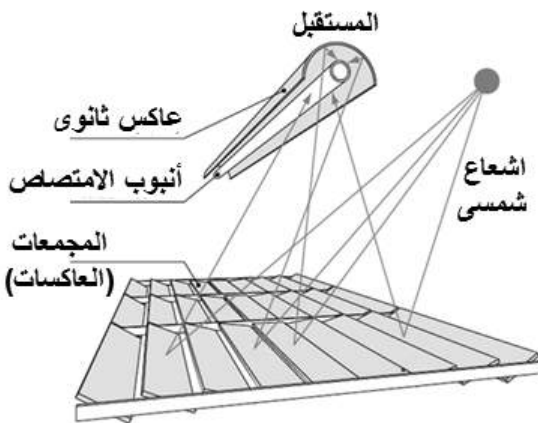
تعتبر محطات فرسنل الخطية من التطبيقات المثالية لاستخدامات الأنشطة الصناعية حيث يمكن الحصول على درجة حرارة حتى 400°C وضغط حتى 120 bars



شكل (2) مقارنة بين عاكس حوض قطع مكافئ و عاكس فرسنل



شكل (3) شرائح مرآيات فرسنل مشكلة مصفوفة



شكل (4) مكونات حقل فرسنل

فيما يلى توضيح مكونات حقل فرسنل الخطى :

-1- مجمع فرسنل (LFC)

المجمع عبارة عن عاكسات فرسنل (FRs) (Fresnel Reflectors) والتي تعمل كمعدات تركيز وت تكون من عدد كبير من عناصر أو شرائح من المرآيات الصغيرة المسطحة أو ذات انحاء بسيط، وجميعها تستقبل الأشعة المتوازية الساقطة وتعكسها على نقطة مشتركة.

تشبه عاكسات مجمعات فرسنل (FR) محطات مجمعات حوض القطع المكافئ (PT) مع الاختلاف الآتى:

- تستخدم FR مجموعة من المرآيات المسطحة أو المنحنية قليلاً المركبة على الأرض كقاعدة، موضوعة عند زوايا مختلفة لتجمیع أشعة الشمس على مستقبل ثابت موضوع أعلى حقل المرآيات بعده أمتار.
- كل خط مرآيات مجهز بنظام تتبع أحدي المحور لتجمیع وتركيز أشعة الشمس على المستقبل الثابت.

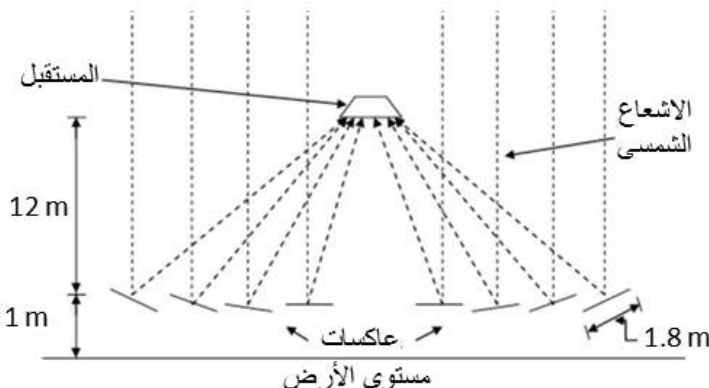
تُصنَّع المجمعات من شرائح مرآيا مسطحة أولها إحناء ميكانيكي صغير جداً. تكون مادة العاكس من الفضة. في حالة محطة نوفاتك الشمسية (Novatec) استخدمت مرآيا زجاجية بسمك 3mm

عند تصميم مجمعات LFCs تؤخذ هذه المتغيرات في الاعتبار:

- عرض الشرائح

- عرض المجمع الكامل
- عدد الشرائح الزجاجية المتوازية
- ارتفاع المستقبل فوق مستوى المرابي
- المسافة بين الشرائح الزجاجية
- إحناء المرابي

يوضح شكل (5) نموذج مقاسات المرابي وارتفاع المرابي والمستقبل عن مستوى الأرض



شكل (5) نموذج مقاسات المرابي وارتفاع المرابي والمستقبل عن مستوى الأرض

لتحقيق أفضل متغيرات للمجمعات يراعي الآتي:

- ❖ يجب ألا يكون عرض الشرائح المنفصلة للمرابي ضيق جداً، لأن ذلك يعني لنفس مساحة الفتحة يلزم عدد كبير جداً من شرائح المرابي وبالتالي يتطلب ذلك مسافات فراغات أكثر تعقيداً في الهيكل وميكانيزم التتبع.
- إذا كان مقاس الشرائح مناسب تصميمياً، عندئذ تعمل المرابي على عكس الإشعاع المباشر الثابت على أنبوب المستقبل الثابت.
- مثال لمقاسات نموذج تعليمي:

قطر الأنابيب: 7.5 cm

عرض المرابي: 50cm

ارتفاع المستقبل فوق المرابي: 7.5 m

العرض الكلي للفتحة: 17.5 m

عدد صفوف المرايا: 35 خط (صف)

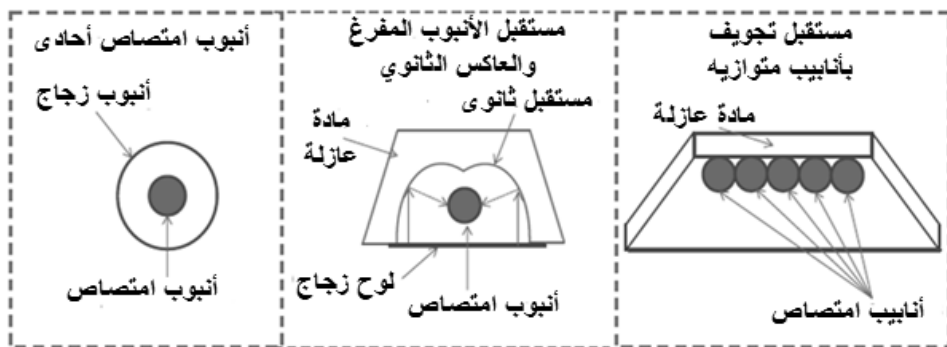
- ❖ يجب ألا يكون الفراغ بين صفوف المرايا كبير جدا . كذلك ألا يكون الفراغ صغير جدا حتى لا يحدث أي ظلال أو عوائق بين صفوف المرايات
- ❖ عند استخدام شرائح مرايا منحنية يجب ألا يكون نصف القطر صغير جدا ولا كبير جدا ، لأن في كلتا الحالتين يحدث ضياع للأشعة الشمسية.

2- المستقبل (receiver)

يكون المستقبل ثابت وخطى ويركب على بكرات لتعويض الامتداد الحراري الناتج من إرتفاع درجات الحرارة خلال التشغيل. في حالة المستقبلات المصنوعة من الصلب ، يكون التمدد الحراري الطولي عند درجات الحرارة العالية للتشغيل حوالي 0.6% اي 6m لطول 1000 m
أنواع المستقبلات:

يوجد عدة أنواع من المستقبلات والموضحة بشكل (6 - أ) فيما يلى توضيح الأنواع المستخدمة:

- مستقبل الأنابيب المفرغ والعاكس الثانوي
- مستقبل تجويف بأنابيب متوازية



شكل (6 - أ) أنواع المستقبلات

- **مستقبل الأنابيب المفرغ والعاكس الثانوي (Evacuated tube receiver and secondary)**

يتكون المستقبل من أنبوب طويل مطلي يحول المياه المار به إلى بخار مشبع. يتعرض الخط البؤري (focal line) إلى تشوّه نتيجة خاصية الالبوريّة (astigmatism) (أي الأشعة المنبعثة من نقطة لا تجتمع في نقطة بؤريّة واحدة) لذا يتم تركيب عاكس ثانوي أعلى المستقبل وذلك لإعادة تركيز أشعة الشمس إلى الخط البؤري.

كمثال، في محطة Novatec ، يكون قطر أنبوب المستقبل 7 cm ، وعرض العاكس الثانوي 30 cm

▪ **مستقبل تجويف بأنابيب متوازية (Cavity with parallel tubes)**

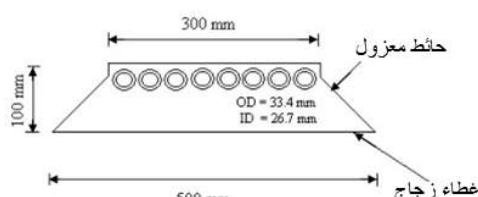
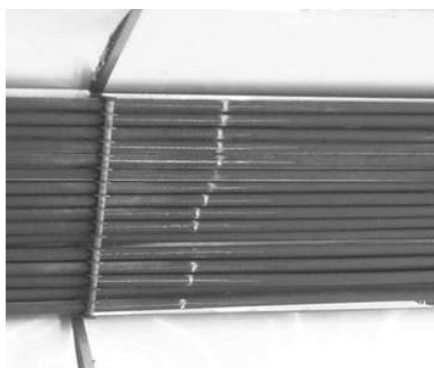
(receiver

يتكون المستقبل من :

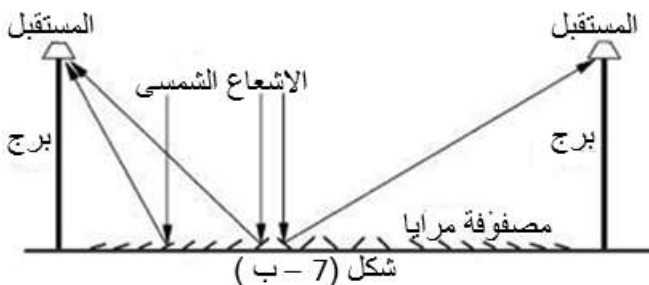
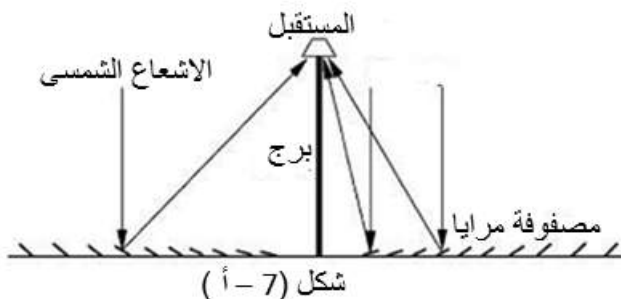
- عدد من الأنابيب صغيرة القطر موضوعة في الخط البؤري
- تجويف معزول على شكل شبه منحرف
- لا يحتوي على عاكس ثانوي
- غطاء زجاجي لتخفيف المفقودات الحرارية.

يوضح شكل (6 - ب) مثال لمستقبل تجويف بأنابيب متوازية

يوضح شكل (7 - أ) تمثيل لحقل عاكسات فرسنل الخطية (المرايا والمستقبل)، وللتغلب على المشاكل الناتجة عن الظل أو عن حدوث إعاقة من تقارب العاكسات، يتم استخدام أكثر من مستقبل خطى ثابت كما في شكل (7 - ب)



شكل (6 - ب) مثال لمستقبل تجويف بأنابيب متوازية



شكل (7) تمثيل لحقل عاكسات فرسنل الخطية

3- مائع ناقل حرارة (HTF) (Heat Transfer Fluid)

نظراً لأن المستقبل ثابت فإنه يسهل الإختيار الواسع لنوع المائع المستخدم كالتالي:

- تستخدم المياه كمائع عند الإحتياج لدرجات حرارة منخفضة
- والزيت لدرجات الحرارة العالية
- والبخار لدرجات الحرارة الأعلى
- والأملاح الذائبة لأعلي مدى لدرجات الحرارة
- بالإضافة إلى استخدام الهواء أو CO_2 المضغوط لأعلي درجات حرارة تشغيل

فتحة المجمع (Aperture)

تعرف فتحة المرايا (المجمع) بمساحة المرايا العاكسات في الوضع الأفقي والتي تجمع كمية الإشعاع الشمسي.

عادة تقدير الفتحة على أساس طول المرايا الواحد أو الموديول الواحد.

زيادة فتحة المرايا تعني زيادة كمية الإشعاع الشمسي المنعكس على المستقبل. كمثال لأنظمة الكبيرة يكون عرض الفتحة النموذجي حوالي 15 m توصف فتحة المستقبل بمساحة المستقبل / طول المرايا أو الموديول وتتغير تبعاً لتصميم النظام. يكون عرض المستقبل مساوياً تقريباً لعرض المرايا، ولكن يكون أقل إذا استخدمت مرايا ذات إحناء.

كمثال لمحطة تجريبية:

- عرض المرايا = 21 m
- عرض المستقبل = 0.5 m
- نسبة التركيز = 42

يوضح جدول (1) خصائص بعض مجمعات فرسنل الخطية الشمسيّة

جدول (1) خصائص بعض مجمعات فرسنل الخطية الشمسيّة

الإسم التجاري للمحطة				الخاصية
Mirroxx LF	SPG Type 3	SPG Fresdemo	Movatec Nova 1	
65	96	100	44.8	طول الموديول (m) (module length)
7.5	22	21.25	16.56	عرض فتحة الموديول (m) (module aperture width)
4	8.8	8.25	7.4	طول البؤرة (m) (focal length)
351.0	1467.8	1432.3	513.6	المساحة الكلية للموديول (m ²) (module net area)

المميزات الأساسية لمجموعات LFCs:

1. وزن منخفض
2. إنتاج بخار مباشر بسيط
3. إمكانية التكامل البسيط مع مجموعة القوي
4. عمر تشغيل طويل
5. يمكن التركيب على الأسطح أو الأرض
6. انخفاض الإستثمارات وتكليف التشغيل

تكون المرايا المسطحة أسهل وأرخص في الإنتاج عن حوض القطع المكافئ، وبالتالي فهي متاحة صناعياً وعالمياً، ويكون أيضاً شكل الهيكل منخفض، بمرaiات على ارتفاع متر أو مترين فوق الأرض، أي الهيكل أبسط وأقل وزن.

الاختلافات الأساسية بين مجموعات (LF) ومجموعات (PT):

- تستخدم LFCs مرايات مسطحة منخفضة التكاليف (ϵ/m^2 6-20) بينما PTCs تستخدم مرايات منحنية قطع مكافئ مرتفعة التكاليف 25-30 ϵ/m^2 لأن المرايات الزجاجية المسطحة هو إنتاج شائع قياسي.
- تحتاج LFCs إلى مواد صلبة غير ثقيلة، حيث يستخدم معدن لثبيت الهيكل بخرسانة قليلة أو بدون خرسانة (تسهيل عملية تجميع المكونات)
- الإنشاءات بالموقع تكون أسرع في حالة LFCs
- تكون أحمال الرياح أقل في حالة LFCs، والتي تؤدي إلى استقرار أسهل للهيكل، وقد ضوئي أقل، مع تعرض أقل لكسر زجاج المرايات
- كل LFCs بمحطات القوي التجارية تستخدم مياه/ بخار تحت ضغط كمائن ناقل للحرارة صديق للبيئة . ولذا تحتاج المحطات المنتجة للبخار المباشر إلى مبادرات حرارية أقل من التي تستخدم الزيت الحراري كمائن ناقل للحرارة
- تحتاج PTCs لتحديد فتحة المجمع بعدد أمتار قليلة، بينما في LFCs يمكن أن تكون فتحة المجمع أكبر عند تكلفة منخفضة.

تطبيقات مجمعات فرسنل الخطية:

- إنتاج حرارة متوسطة

تستخدم أنظمة الحرارة المتوسطة في التطبيقات الصناعية وكمساعد لمحطات القوي التي تعمل في مدى 100°C الى 250°C ويمكن استخدام المياه أو الزيت كوسط مائع ناقل للحرارة.

- إنتاج بخار مباشر

استخدام البخار كوسط مائع ناقل للحرارة ، تسمح بدرجات حرارة عالية لأنها لا يوجد مخاطر مماثلة للزيت الحراري . تعمل درجة الحرارة بمحطة Novatec الشمسية إلى 450 °استخدام البخار يقلل المفقودات الحرارية. إذا حدث أي تسريب من البخار فإنه لا يسبب تلوث للبيئة مثل الزيت الحراري.

يوضح جدول (2) أنواع مجمعات فرسنل التجارية

جدول (2) أنواع مجمعات فرسنل التجاري

المكان	المُستقبل	عرض الفتحة	المحطة
Calasparra, region Murcia, Spain 1.4MW	أنبوب إمتصاص أحادي مع مُستقبل ثانوي	12 m  (75 cm مقاس 16 مرايا)	Novatec Bio Sol (Morin 2010)
Plataforma Solar de Almeria, Andalucia, Spain	أنبوب إمتصاص أحادي مع مُستقبل ثانوي	15 m  (60 cm مقاس 25 مرايا)	Fresdemono SPG and Man (Bernhard 2009)

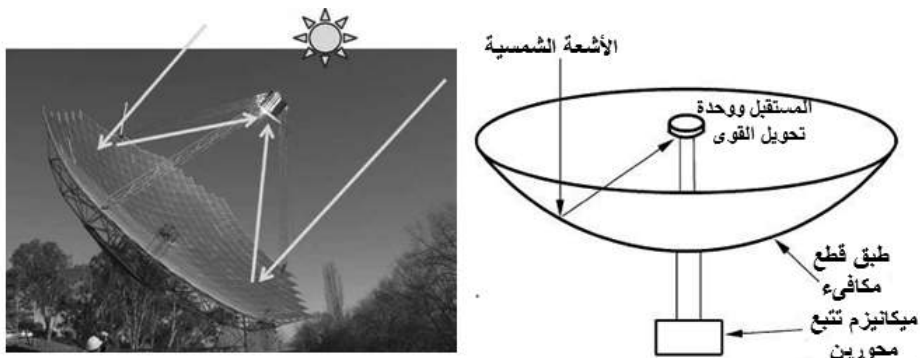
Kimberlina, California USA 5MW	مُستقبل متعدد الأنبيب لا يحتوي على مُستقبل ثانوي	 20m (حوالى) (2 m مقاس) 10 مرايا	Areva Solar (Areva 2010)
Freiburg (Germany) Bergamo (Italy) Sevilla (Spain) Tunisia,Masdar (UAE)	أنبوب إمتصاص أحادي مع مُستقبل ثانوي	 5.5m (50 cm مقاس) 11 مرايا	PSE/Mirrox x (PSE 2010)
La SeynesurMer, region of Toulon France 1 MW	أنبوب إمتصاص أحادي مع مُستقبل ثانوي. (إنتاج بخار مباشر)	 20m (14) مرايا	CNIM)

الباب السابع

محطات قوى مجمعات طبق قطع مكافى

Paraboloidal dish collectors Power Plants

يتكون هذا النظام من مرآة واحدة أو عدد من المرآيا الصغيرة تشكل فيما بينها مرآة واحدة لها بؤرة واحدة، هذه المرآة مقعرة قطع مكافىء دائري مشابهة لطبق ضخم (مركز/ عاكس) Paraboloidal concentrator (parabolic dish)، تقوم بعكس وتركيز الإشعاع الشمسي على البؤرة بنسبة تركيز تتراوح بين 600 إلى 2000 ضعف، يركب في البؤرة مستقبل حراري ووحدة تحويل القوى (أو آلة) (PCU) Power Conversion Unit ، هذه الوحدة تحول الطاقة الحرارية إلى طاقة ميكانيكية والتى بدورها تغذي مولد لانتاج الطاقة الكهربائية، يوضح شكل (1) تمثيل طبق قطع مكافىء . ويعتبر المركز الشمسي (المستقبل) والآلة وحدة واحدة والذى يطلق عليه Dish Engine / تستخدم هذه الوحدات لانتاج الطاقة الكهربائية للمناطق المعزولة عن الشبكة الكهربائية العامة، أو المبعثرة، أو أن تربط مع الشبكة الكهربائية.



شكل (1) تمثيل طبق قطع مكافىء

يقوم واحد أو أكثر من أطباق قطع مكافىء بتركيز الطاقة الشمسية عند نقطة اتصال واحدة، مثل التلسكوب العاكس والذي يقوم بتركيز ضوء النجوم، أو طبق هوائي يستخدم لتركيز موجات الراديو اللاسلكية.

ويوجد نوعان من الظواهر الرئيسية تؤخذ في الاعتبار عند تصميم طبق قطع مكافىء
هما:

- أن شكل القطع المكافىء يتم تعريفه بحيث أن الأشعة الواردة والتي هي موازية لمحور الطبق سوف يتم عكسها تجاه البؤرة، بغض النظر عن مكان وصولها على الطبق.
- أن أشعة الضوء من الشمس والتي تصل لسطح الأرض تكاد تكون متوازية تماماً. فإذا كان الطبق محاذياً مع محوره مشيراً إلى الشمس، فإنه سوف يتم انعكاس كل الأشعة الواردة تقرباً تجاه نقطة البؤرة للطبق

معظم مفقودات الأشعة تكون نتيجة بعض القصور في شكل القطع المكافىء والانعكاس غير الكامل . بينما تكون المفقودات الناتجة عن الأجزاء ما بين الطبق ونقطة البؤرة تكاد تكون منعدمة ، حيث أن الطبق يصمم ليكون صغير بما يكفي بأن يكون هذا العامل غير ذي أهمية في يوم مشمس ومشعرق. إذا كان الطقس غير رائق أو ضبابي ، فإن هذا قد يقلل من كفاءة طبق القطع المكافىء إلى حد كبير. وفي تصاميم محطات توليد الطاقة باستخدام الأطباق قطع مكافىء، يتم وضع الآلة الحرارية بالإضافة إلى دينامو في بؤرة الطبق، والتي تختص الحرارة من الإشعاع الشمسي الحادث وتحوله إلى كهرباء.

وتعتبر تكنولوجيا طبق قطع مكافىء أحد تكنولوجيات تركيز نقطة . وأنها التكنولوجيا الوحيدة التي توصف بالمعيارية (modular)، أي أنه يمكن استخدامها إما لإنشاء محطة مركبات شمسية حرارية كبيرة تتكون من العديد من الأطباق ، أو استخدامها كمحطة قوى منفصلة (معزولة عن الشبكة الكهربائية العامة) في الأماكن البعيدة بالقرى لإنتاج الطاقة الكهربائية أو لضخ المياه.

لأنظمة مجموعات المركبات الشمسية الحرارية يوجد نوعين من الكفاءة هما:

- الكفاءة البصرية (optical efficiency) والتي تشير إلى مقدرة كل مجمع لتركيز الأشعة الشمسية
- كفاءة التحويل الشمسي إلى كهرباء (solar- to- electric efficiency) والتي تعني المقدرة الكلية للنظام لتحويل الأشعة الشمسية إلى كهرباء.

في تكنولوجيا مجموعات التركيز في نقطة(focal collectors) تكون الكفاءة البصرية أعلى من كفاءة مجموعات التركيز الخطية (linear collectors) نظراً لأن تركيز

الأشعة الشمسية يتم في نقط فردية بدلاً من الأنابيب الطولية الخطية. بالإضافة إلى أن نظام التتبع في مجمعات النقطة يكون بمحورين والذي يؤدي إلى إرتفاع التكاليف. لعاكسات الطبق أعلى مستويات تركيز والتى تصل معملياً إلى 10000 ضعف ، هذا التركيز العالى يؤدي إلى كفاءة بصرية عالية وبالتالي درجة حرارة عالية وتحسين كفاءة التحويل الشمسي إلى كهرباء حيث تكون بين 30%، 25% (motor / generator unit) (PCU) (Power Conversion Unit) إلى:

- تريبينة غازية (Gas Turbine).
- انتاج بخار مباشر (Direct Steam Generation).
- آلة أو محرك ستيرلينج (Stirling Engine).

تعتبر أنظمة طبق ستيرلينج هي الأكثر شيوعاً وتستخدم في وحدات المركبات الشمسية الصغيرة نسبياً والتي تتبع الشمس وتركز الطاقة الشمسية على مستقبل مجوف (cavity receiver) موضوع في نقطة مركز العاكس، والذي فيه يتم الإمتصاص والتحويل إلى مولد / محرك حراري (heat engine / generator). يعمل الطبق من خلال نظام تتبع بمحورين لضمان الحصول على الإشعاع المثالي للمراتب.

دائماً يكون الطبق موجهاً إلى الشمس، ويتميز بأنه التكنولوجيا الأكثر كفاءة بين المجمعات الشمسية الحرارية. وتصل إليه نسبة التركيز إلى نسب عالية جداً. عادة يتراوح عرض الطبق بين 5m ، 15m ، يمكن أن يكون للطبق سطح واحد أو عدة واجهات صغيرة.

(heat engine)

يستخدم عادة محرك حراري بريتون (Brayton) أو ستيرلينج كمحرك حراري في أنظمة طبق القطع المكافئ. هذا النظام مناسب للقدرات الصغيرة حتى 50kw

- دورة جول - بريتون (joule- Brayton cycle)
- يستخدم غاز ضغط منخفض كمائع تشغيل (كفاءة تحويل حرارة منخفض).
- دورة ستيرلينج (stirling cycle)

عبارة عن دائرة تحت ضغط يستخدم الغاز كمائع تشغيل (N_2 , H_e , H_2)
للنوعين H_2 , H_e كفاءة تحويل حرارة عالية ، وبخصائص:

$$P_{max} \approx 20 \text{ MPa}$$

$$T_{max} \approx 700^\circ\text{C}$$

حاليا يوجد نوعين من محرك سترينج هما:

- محرك حركي (kinematic engine)

يعلم المحرك بالهيدروجين كمائع تشغيل ، والذي له كفاءة أعلى من محرك الكباس الحر.

- محرك الكباس الحر (free piston engine)

يعمل المحرك بالهيليوم ولا ينتج عن تشغيله أي إحتكاك خلال التشغيل، وبالتالي تنخفض أعمال الصيانة المطلوبة.

تطورت محركات الكباسات الحرة الإسطوانية المتعددة وأمكن الوصول إلى تخفيض التكلفة وتبسيط الفكرة كلية.

لأن المستقبل الشمسي عبارة عن مبادل حراري خارجي يمتص الطاقة الحرارية المستقبلة من الشمس ، هذا يؤدي إلى تسخين وضغط الغاز في أنابيب المبادل الحراري الساخن أي تسخين الماء (والذي عادة إما أن يكون هيدروجين (hydrogen) أو هيليوم(helium) إلى درجة حرارة حتى 1500°C وضغط bars 150 . ثم يشغل ماكينة سترينج عند درجة حرارة تشغيل حوالي 800°C . يوصل المولد بالماكينة والذي ينتج مخرج طاقة كهربائية. تحول الحرارة المفقودة من الماكينة إلى الجو المحيط عن طريق مبادل حراري (مشع) (radiator) مثل المستخدم في السيارات. يتم تبريد الغاز بواسطة المشع ويعاد تدويره باستمرار في الماكينة خلال دورة القوى.

- الهيليوم : عنصر غازى رمزه He وعدد الذرى 2 وهو أخف الغازات بعد الهيدروجين

- الهيدروجين : عنصر غازى رمزه H وعدد الذرى 1 وهو أخف العناصر وزنا، يستخدم فى مشاعل الهيدروجين الذرى والأكسى هيدروجين لإعطاء درجات حرارة مرتفعة).

يستخدم مائع نقل الحرارة لتدوير الماكينة الحرارية ،(والتي غالباً ما تكون ماكينة سترينج)، ثم يحول المولد الحركة الميكانيكية إلى طاقة كهربائية. يمكن أن ينتج نظام طبق سترينج الواحد بين 5kw، 25kw ووصلت القدرة حالياً إلى 50 kw، يبين شكل (2) توضيح لأنابيب الماء. هذا النظام لا يحتاج إلى تخزين حراري ولا إمكانية نقل طاقة حرارية. ولكن نجد أن الطاقة الشمسية تحول مباشرة إلى الطاقة الكهربائية.

العيوب الرئيسي لهذه التكنولوجيا هو الشكل الهندسي المعقد للعاكس والذي يكون مكلفاً اقتصادياً ، وبالتالي يزيد الاحتياج إلى الصيانة بالإضافة أن كل طبق يحتوي على المولد والماكينة الخاصة به.

منذ أكثر من 20 سنة ، سجلت تكنولوجيا طبق سترينج كفاءة تحويل الطاقة الشمسية إلى طاقة كهربائية أكبر من 31.25 %. ويوضح شكل (3) مكونات مجمع طبق قطع مكافئ (Lovegrove and Csiro, 2012)، ويبيّن شكل (4) حقل مجمعات طبق قطع مكافئ كما يوضح جدول (1) بيانات الأداء لتكنولوجيا طبق سترينج.



شكل (2) تمثيل لأنابيب ماء طبق قطع مكافئ



شكل (3) مكونات مجمع طبق قطع مكافئ (Lovegrove and Csiro, 2012)



شكل (4) حقل مجموعات طبق قطع مكافئ

جدول(1) بيانات الأداء لـ تكنولوجيا طبق ستريلينج

التصنيف	ال Benson
0.01 - 0.4	السعة بوحدة MW(Capacity)
1000 – 3000	نسبة التركيز concentration
29%	أقصى كفاءة إشعاع (Peak solar efficiency)
16-18 %(*) 18- 23 %(**)	كفاءة إشعاع سنوية (annual solar efficiency)
30-40% (ستريلينج) 20-30% (تربيبة غازية)	كفاءة الدورة الحرارية (thermal cycle efficiency)
25% (**)	عامل السعة (شمسي) (capacity factor (solar))
8 – 12	الأرض المستخدمة بوحدة $m^2 / Mwh/y$ (land use)

حيث (*) عمليا (**)(**) مشاريع

كفاءة الإشعاع = $(القوى المنتجه النهائيه) \div (حرزمه الإشعاع المباشر)$

عامل السعة = $(عدد ساعات التشغيل للاشعة سنويا) \div (إجمالي عدد ساعات السنة (8760))$

مميزات مجمعات طبق قطع مكافئ:

- في أغلب الإنشاءات، يستخدم تبريد جاف (dry cooling)، والمناسب للمناطق ذات الأحوال الجوية الجافة (بعض أنواع المركبات الشمسية الأخرى تعمل بالتبريد الجاف، ولكن التكنولوجيا القياسية موضوعة على أساس أنظمة التبريد الرطب).
- قابلية التكيف مع الميلو، حيث يمكن استخدامها بسهولة في المناطق الجبلية (ليس مطلوب مستوى أرضي محدد).

- أعلى كفاءة تحويل شمسي لأنها دائماً تتعرض كل فتحة الطبق لأشعة الشمس المباشرة وهذا يعمل على عدم ظهور تأثير مفقودات جيب تمام الزاوية (cosine loss).
- توجد أطباق صغيرة بقطر عدة سنتيمتر.
- أعلى درجة حرارة تشغيل.
- الأعلى فرص للتحسين.
- يمكن ربط النظام مع الشبكة العامة للكهرباء (on-grid) أو يكون منفصلاً (off-grid).
- قابلية المزج مع أنظمة تشغيل أخرى (مثل شمسي / وقودي أحفورى).
- يمكن استخدام النظام في أغراض مختلفة مثل: تسخين المياه ، ضخ المياه، أو كمصدر كهرباء إحتياطي.

عيوب مجمعات طبق قطع مكافئ:

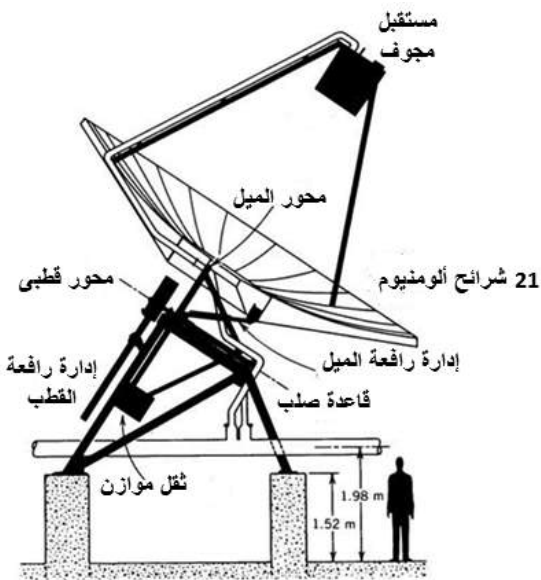
- إرتفاع تكاليف النظم والصيانة.
- تأثير التلوث عالي.
- صعوبة التخزين الحراري.

تطبيقات

طبق شيناندواه (Shenandoay Dish)

تم تصميم طبق شيناندواه (فى Virginia) لتطبيقه على مشروع التوليد المشترك للطاقة الشمسية الحرارية الموجود في شيناندواه . بغرض تسخين زيت السيليكون المار في أحد المسارات إلى 400 درجة مئوية (750 فهرنهايت) مع درجة حرارة مدخل 260 درجة مئوية (500 فهرنهايت) . وقد تم تصميم الطبق من قبل شركة جنرال إلكتريك وتصنيعه من قبل شركة كينيتiks الشمسية ، والموضح بشكل (5) مكونات طبق شيناندواه ، يتكون من :

- طبق قطع مكافئ كعاكس قطر 7 متر.
- عدد 21 شرائح ألومنيوم ، وتغطي على جانب واحد بـ 244 فيلم عاكس.



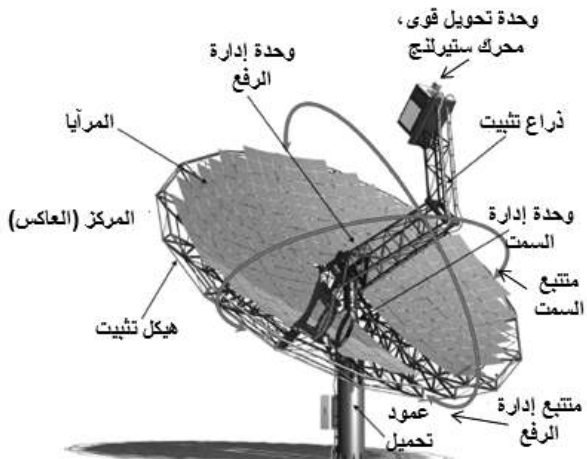
شكل (5) مكونات طبق شيناندواه

يوضح شكل (6) محطة لإنتاج الطاقة الكهربائية والحرارية معا . يعكس طبق قطع المكافى من خلال سطح المرأة الإشعاع الشمسي إلى وحدة تحويل القوى - PCU (بالنقطة المحورية – power conversion unit) – الجزء الرئيسي من وحدة تحويل القوى هو محرك ستيرلينج الذي يحول الطاقة الحرارية المكتسبة من الإشعاع الشمسي إلى طاقة ميكانيكية ومن ثم إلى طاقة كهربائية عن طريق مولد. هذا النظام يسمح أيضا بالاستفادة من الطاقة الحرارية غير المستخدمة والحرارة المفقودة، بحيث أن محطة الطاقة الشمسية يمكن استخدامها أيضا للحصول على كل من الحرارة والبرودة. ويتميز هذا النظام بالتحكم الآلي بالكامل وتحديد موقع المركز من خلال محورين ويعمل النظام في ظروف قاسية. يمكن إنتاج الكهرباء وبيعها أو استخدامها للاستهلاك الفوري. من خصائص هذا الطراز:

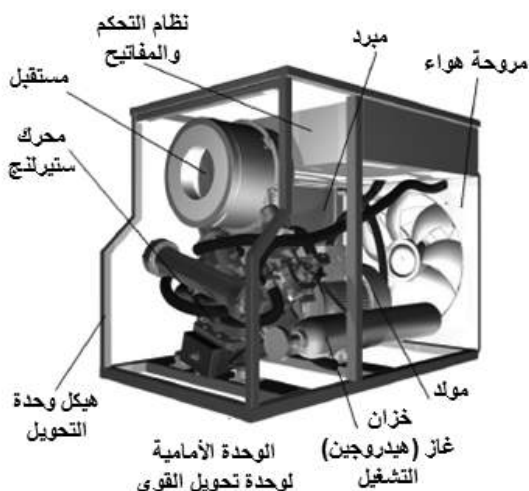
- أقصى قدرة كهربائية 10 kWh
- أقصى طاقة حرارية 25 kWh
- كفاءة عالية (25% electrical, +70% total)

يوضح شكل (7) & (8) مكونات محطة لإنتاج الطاقة الكهربائية والحرارية الموضحة بشكل (6).

لإنشاء حقل لأنتج الطاقة الكهربائية والحرارية بقدرة MW1 من هذا النوع يحتاج حوالي واحد هكتار (hectare).



شكل (6) محطة لإنتاج الطاقة الكهربائية والحرارية



شكل (7) وحدة تحويل القوى للمحطة بشكل (6)

محطات قوى مجموعات طبق قطع مكافى



شكل (8) محرك ستيرلينج للمحطة بشكل (6)

يوضح شكل(9) محطة مزرعة طبق ستيرلينج (Maricopa Dish Stirling Farm) في أريزونا تتكون من 60 وحدة طبق ستيرلينج، قدرة الوحدة 25 Kw وبأجمالي قدرة 1.5MWe



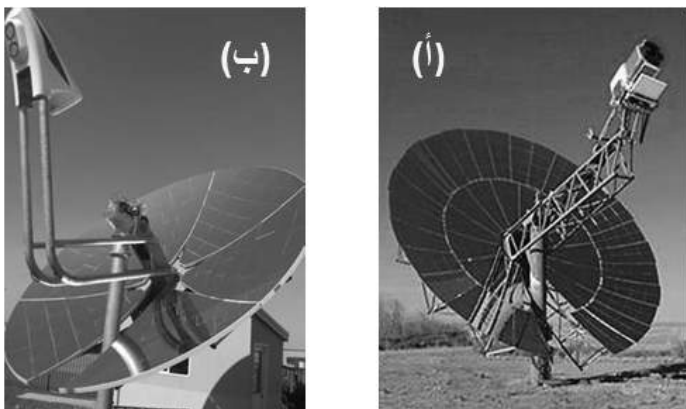
شكل (9) محطة نظام طبق ستيرلينج في أريزونا

من أهم أنظمة طبق ستيرلينج – ذات محوري – ينبع النوع الموضح في شكل (10 – أ) والذي ينتج أقصى قدرة 25kW_e (عند إشعاع مباشر 1000W/m²).

محطات قوي مجموعات طبق قطع مكافئ

هذا النوع عبارة عن هيكل طبق تركيز شمسي نصف قطري (radial) لثبيت مصفوفة من وجهات مرايات زجاجية منحنية، قطر الطبق حوالي 11.6m (مساحة سطح الزجاج = 90m²) والذي منه ينتج نسبة تركيز حوالي 7500. تتركز أشعة الشمس على أنابيب المستقبل (عند إرتفاع بؤرة يساوي 7.45m) وتحتوي الأنابيب على غاز الهيدروجين.

توجد أنواع صغيرة مماثلة لهذا النوع (شكل 10 - ب)) وبقدرة قصوى 3kWe وكفاءة %24 وتسخدم ماكينة سترينج بكباس واحد حر (single free piston) له نظام محكم ضد تسرب الهليوم، وبالتالي لا يحتاج إلى صيانة



شكل (10) طبق سترينج قطع مكافئ ذات محوري تتبع

ويوضح شكل (11) محطة نظام طبق سترينج في إسبانيا بقدرة 1.0 MWe بإستخدام وحدات قدرة 3kW

هذه الأنظمة لا تحتوي على دورة بخار مثل أنظمة المركبات الشمسية الأخرى أي أنها لا تحتاج لإستخدام مياه لتحويل العمليات بالنظام، وهذه ميزة هامة جدا في أنظمة طبق سترينج عن أنظمة المركبات الشمسية.



شكل (11) محطة نظام طبق سترلينج في إسبانيا

يوجد الكثير من نماذج طبق سترلينج تم تشغيله بنجاح خلال السنوات الماضية ، بقدرات من 2.5kw إلى 10kw بالإضافة إلى طبق كبير 100kw و 400m^2 بجامعة أستراليا الإقليمية (Schaech, Bergmann).

مثل باقي النماذج ، يضاف وقود مساعد مثل الوقود الاحفوري أو الكتلة الحيوية (bio mass) ، والتي يمكن الحصول منها على الكهرباء في حالة عدم وجود الشمس. من خلال المشروع الأوروبي (EURO- DISH) تم تطوير محرك طبق سترلينج قدرة 10kw مع مشاركيين من الصناعة والباحثين ، في إسبانيا يوضح شكل(12) هذا النموذج.



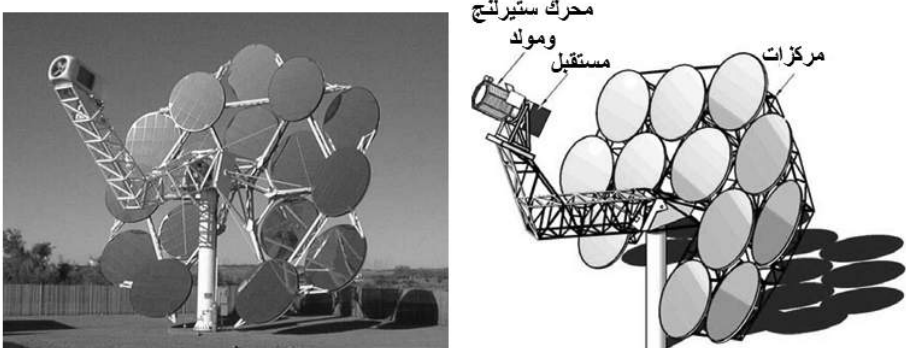
شكل (12) تطوير محرك طبق سترلينج قدرة 10 kw

يوضح شكل (13) نظام طبق ستيرلنج يحتوى على مركز شمسي بمساحة 944 قدم مربع بمرأيا زجاج منحنى كل واحدة 3 قدم فى 4 قدم وتستخدم غاز هيدروجين كضاغط تشغيل

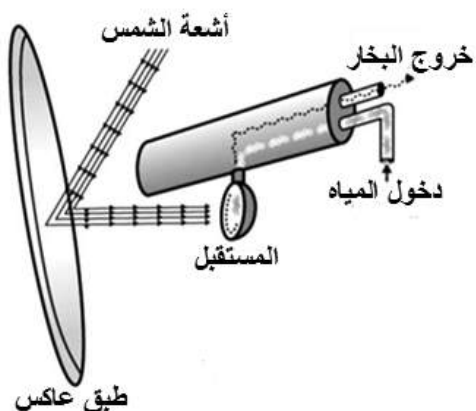


شكل (13) نظام طبق ستيرلنج

يوضح شكل (14) استخدام عدة أطباق صغيرة كمراكزات (عاكسات). كل طبق ينتج من 5 kW إلى 25 kW كهرباء، ويمكن استخدام طبق أو أكثر مستقلاً أو مرتبطين معاً لزيادة القدرة المطلوبة. أنشأت محطات من أطباق قدرة 25 kW بأجمالي 650 kW وبمساحة أرض حوالي واحد هكتار (hectare). يمكن استخدام مجموعات من أطباق قطع مكافئ لإنتاج البخار، حيث يوضح شكل (15) تمثيل لعمل هذا النظام.



شكل (14) استخدام عدة أطباق صغيرة كمراكزات



شكل (15) تمثيل طبق قطع مكافئ لإنتاج البخار

ملحق

دورة ستيرلنج:

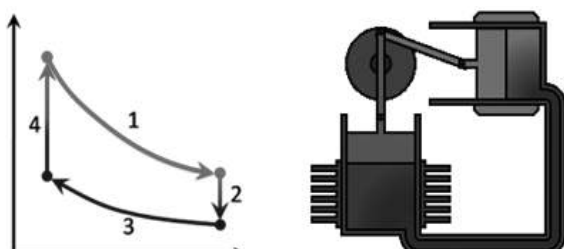
دورة ستيرلنج هي دورة تحريك حراري والتي تعبر عن المحركات التي تعمل بمبدأ ستيرلنج بما يحتويه محرك ستيرلنج الذي تم اختراعه وتطويره عام 1816م بواسطة القس الدكتور: روبرت ستيرلنج (Robert Stirling) (1790 – 1878). توصف دورة ستيرلنج بأنها دورة إنعكاسية وذلك يعني أنه إذا تم إضافة طاقة ميكانيكية إلى الدورة فإنها تعمل كمضخة حرارية للتسخين أو التبريد، وتعد دورة مغلقة وفيها المائع هو من النوع الغازي. توصف الدورة المغلقة أن المائع يسرى في الدورة دائماً ويكون بداخل النظام الحراري ولا يخرج عنه.



تشمل دورة ستيرلنج الحرارية أربعة إجراءات رئيسية هي:

الانضغاط – إضافة الحرارة – التمدد – طرد الحرارة.

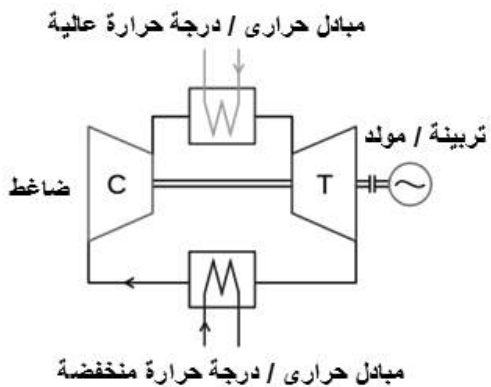
القس الدكتور : روبرت ستيرلنج



دورة ستيرلنج الحرارية

دورة برايتون (Brayton Cycle)

هي دورة ثرموديناميكية تصف عمل التربينة الغازية ،تنسب إلى المهندس المخترع الأمريكي جورج برايتون (George Brayton- 1872). تستخدم دورة برايتون في عمل محرك الاحتراق الداخلي مثل المحرك النفاث، كما تطبق على محركات الاحتراق الخارجي.



تمثيل ميكانيكي لدورة برايتون المغلقة

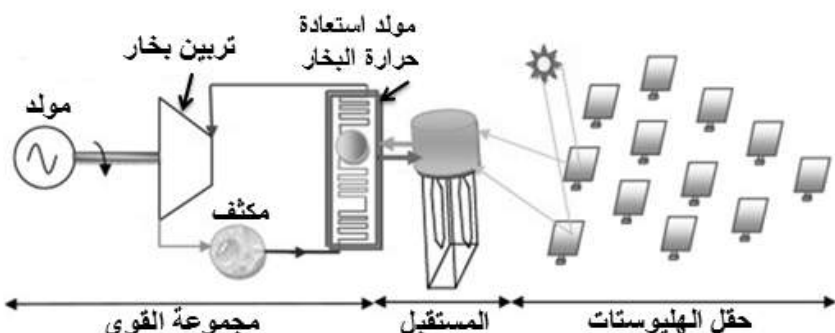
الباب الثامن

محطات برج الطاقة المركزي

Central tower power plants

تعرف أيضاً بمحطات البرج الشمسي (solar tower plants) أو أبراج الطاقة (heliosestas power plants) أو محطات طاقة هليوستات (power towers) هذه التكنولوجيا عبارة عن برج طاقة مركزي محاط بعدد كبير من مصفوفة مرايا (آلاف) قابلة للتبديل على محورين - يطلق على هذه المرايا - الهليوستات (heliosestas) (تمثل المجمعات) والتي تعكس الأشعة الشمسية المباشرة إلى مُستقبل ثابت في أعلى قمة البرج.

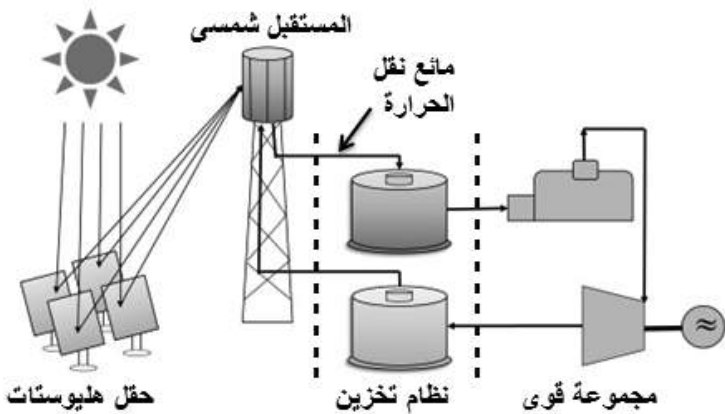
كما توجد على قمة البرج غلاية ضخمه تحتوي على ماء (ملح منصهر مثلاً) يتم تسخينه لينقل حرارته من خلال مبادل حراري لإنتاج بخار ماء محمض والذي بدوره يشغل تربينة بخارية وبالتالي تشغيل مولد للحصول على الطاقة الكهربائية. للحفاظ على متغيرات البخار ثابتة، حتى أثناء تغيير الإشعاع الشمسي، أى أن المحطة تتكون من ثلاثة أجزاء رئيسية والموضحة في شكل (1)



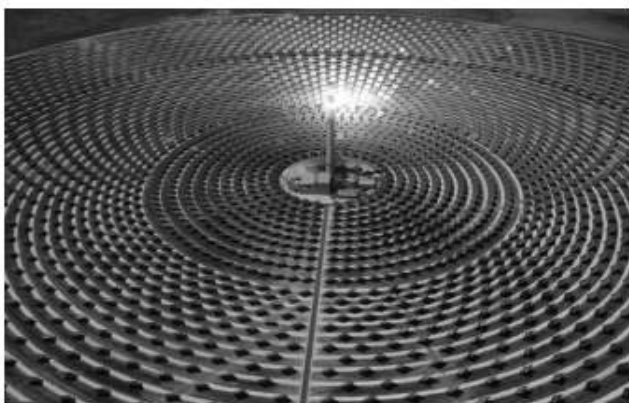
شكل (1) مكونات محطة برج الطاقة المركزي

عموماً يمكن استخدام أحد الطريقتين لضمان استمرار الحصول على طاقة كهربائية من محطات برج الطاقة :

- تكامل محطة برج الطاقة المركزي مع مصدر احتياطي بالوقود الأحفوري
 - استخدام خزان حراري مع المحطة، والذى يخزن الحرارة لعدة ساعات للمساعدة وتسهيل إنتاج الكهرباء خلال فترة الذروة وفي فترات عدم إتاحة الإشعاع الشمسي في محطات برج الطاقة:
 - تتراوح نسبة التركيز بين 300 إلى 1500 ضعف.
 - تصل درجة الحرارة من 800°C إلى 1000°C (وأحياناً تصل إلى 1300°C).
 - المقاس النموذجي يتراوح بين 10MW_{el} إلى 150MW_{el}
 - كفاءة كلية مرتفعة تصل إلى 29%
- ت تكون محطات برج الطاقة من الأجزاء الرئيسية الآتية والموضحة بشكل (2) :
- حقل هليوستات (heliostat field)
 - مُستقبل شمسي (solar receiver)
 - مائع نقل الحرارة (heat transfer fluid)
 - نظام تخزين (storage system)
 - مجموعه قوى (power block)
- يوضح شكل (3) محطة برج الطاقة المركزي (Gema) في أسبانيا (Wikipedia, 2011)



شكل (2) المكونات الرئيسية لمحطات برج الطاقة المركزي



شكل (3) محطة برج الطاقة المركزي في أسبانيا(Gema)

(Wikipedia, 2011)

الهليوستات (The Heliostat)

كلمة هيليوس Hēlios من الإغريقية "بمعنى الشمس، عبارة عن اسم إله الشمس في الميثولوجيا اليونانية. وهو ابن التيتان بيريون والتitan ثيا (وفقاً لكتابات هسيود).

عموماً تتكون كلمة هليوستات (Heliostat) من كلمتين إغريقيتين هما "هليو" وتعنى الشمس و"ستات" وتعنى ثابت غير متحرك ، وهى عبارة عن معدة تتكون من مرايا مثبتة على محور يتحرك للعمل على مدار الساعة والتي تجعل أشعة الشمس تتعكس في إتجاه واحد وذلك في أنظمة أبراج الطاقة الشمسية.

وتكون المكونات الرئيسية للهليوستات: سطح عاكس، هيكل وميكانيزم التتبع، نظام تحكم. يكون السطح العاكس أما زجاج ومعدن أو غشاء مطاط (stretched membrane).

يترافق مقاس الهليوستات الواحد من 1 m^2 إلى 150 m^2 يوضح جدول (1) خصائص نوعين من مساحات الهليوستات الشائعة الاستخدام

$49 \text{ m}^2 \& 25 \text{ m}^2$

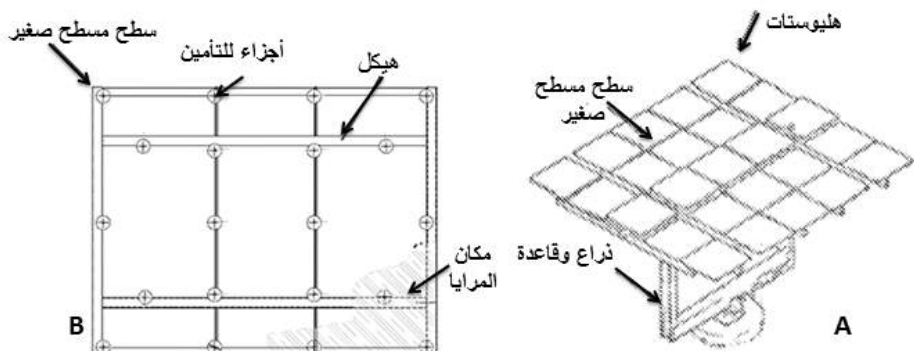
يمثل شكل (4-A) تمثيل لمكونات هليوستات، المساحة حوالي 121 m^2 ، مكون من 25 وحدة مرايا مسطحة ، ويوضح شكل (4-B) مكونات تفصيلية لوحدة المرايا

ويوضح شكل (5) هليوستات مساحة 121 m^2 مستخدم في محطة PS-10 بإسبانيا (Source: Solucar, 2006) يمثل الشكل الواجهة الأمامية والخلفية والهيكل .

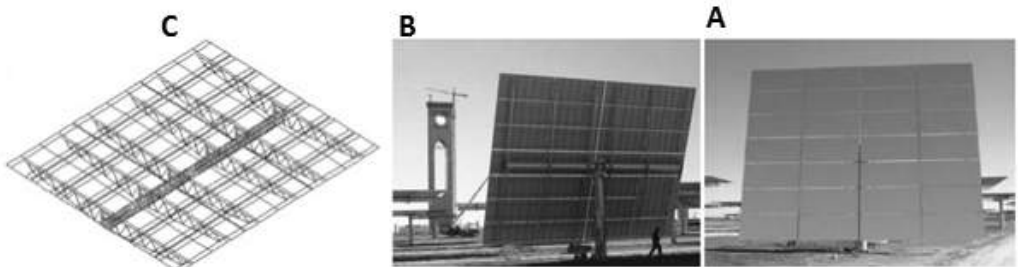
كما يوضح شكل (6) هليوستات مساحة 148 m^2 مستخدم في معامل سانديا (Source: Kolb, 2007) بأمريكا

جدول (1) خصائص نوعين من مساحات الهليوستات شائعة الاستخدام

مساحة مرايا الهليوستات	مقاس السطح المسطح (facet)	ارتفاع القاعدة	نوع زجاج المرايا والسمك	المادة الأساسية للهيكل
49 m^2	25 m^2			
$1 \times 1 \text{ m}$	$2.5 \times 2.5 \text{ m}$			
5 m	3.5 m			
مرايا شمسية ، 4 mm	AGC ، مرايا شمسية 4 mm			
صلب	صلب			

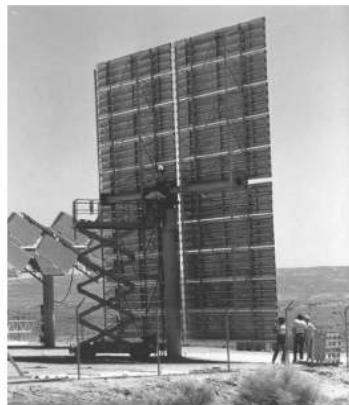


شكل (4) تمثيل مكونات الهليوستات



شكل (5) هليوستات مساحة 121 m^2 مستخدم في محطة PS-10 بأسبانيا

(Source: Solucar, 2006)



شكل (6) هليوستات مساحة 148 m^2 مستخدم في معامل سانديا بأمريكا
(Source: Kolb, 2007)

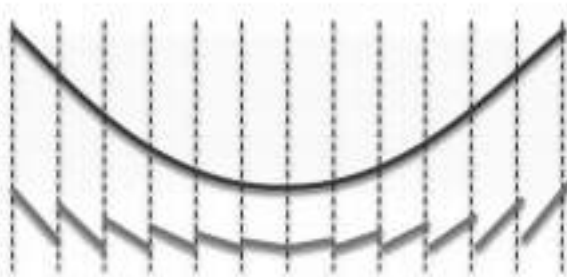
محطات برج الطاقة المركزي

اولاً : حقل هليوستات:

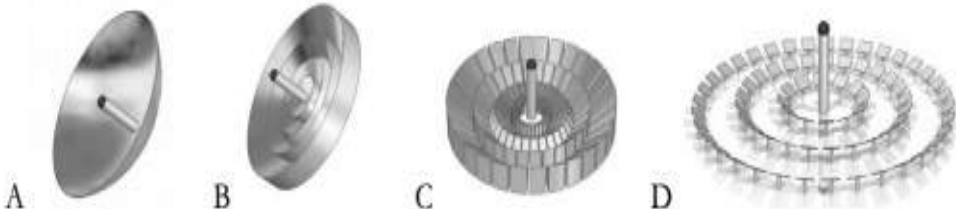
عبارة عن حقل ضخم يصل إلى عدة أفدنة من آلاف المرايا المسطحة أو المقرعة (الهليوستات) الكثيرة.

المرايا تتبع أشعة الشمس كل منفردة على محورين وذلك للإستفادة من الإشعاع المباشر، المحورين هما الإرتفاع (elevation) والسمت (azimuth)، ويتم ذلك عن طريق برنامج تحكم على الحاسوب الآلي، بفرض حساب زوايا الميل لكل هليوستات واحد او لمجموعة هليوستات على حدة ، لتحقيق إنعكاس وتركيز للإشعاع المباشر على قمة البرج المركزي.

تستند هذه التكنولوجيا على مفهوم فرسنل (Fresnel)، والموضحة في شكل (7)، والتي تعني تقسيم مرايا منحنية إلى أجزاء ثم تجميعها على مستوى شاسع، حيث يتكون الهليوستات من مجموعة كبيرة جداً من مرايا مربعة ومسطحة وتشكل بقدر الامكان على شكل مرايا كروية او قطع مكافئ. ولتحفيض ارتفاع القطع المكافئ وبالتالي تحسين خصائص الأيرو ديناميكي (aero – dynamical) للهليوستات بالإضافة إلى بساطة التصميم الميكانيكي، ويعتمد شكل تجميع المرايا على ارتفاع البؤرة (focal) بينما ارتفاعها يعتمد على المسافة بين الهليوستات والمستقبل. كما أن شكل (8) يوضح التطور بداية من الحل المتماثل البسيط لتجمیع الأشعة الشمسیة في نقطة المركز، إلى حل غير متماثل أكثر تعقيداً، والذي يضمن قدرًا كبيرًا من الحل الأمثل للمشاكل. والهدف من هذا استخدام مواد أكثر كفاءة مع تقليل التكاليف، ومراعاة الفكرة الأساسية وهي تركيز الأشعة الشمسية في النقطة المركزية.



شكل (7) أساسيات مرايا فرسنل – قسمت المرايا المنحنية إلى مرايا مسطحة (Nussbaumer, 2011)



شكل (8) تطور تكنولوجيا محطات برج الطاقة

يوضح شكل (8-A) أبسط الحلول بإستخدام طبق قطع مكافئ يوجه مباشرة إلى الشمس . ولتخفيض كمية دعائم الهيكل وكذلك تقليل الإرتفاع يُحول الطبق إلى مرآيا فرسنل والموضحة بشكل(8-B). بإضافة مستقبل ثابت ونظام تتبع لجوانب المرايا تقل كمية دعائم الهيكل ويصبح النظام أكثر قوة كما في شكل (8-C). ويعتبر النظام المثالي والذي يتميز بالحد من الآثار السلبية للتلطيل من خلال زيادة المسافة بين المرايا مع تصميم قياس المرايا ، وهذا موضح في شكل (8-D).

يكون الهدف من هذا التطور هو تحسين تصميم المرايا من حيث الحجم والوزن والأداء مع مراعاة أن تكون التكاليف إقتصادية.ويصنف الحقل الشمسي طبقاً لترتيب الهليوستات إما على شكل صفوف طولية متوازية كما في شكل (9-B) أو على شكل إشعاعي كما في شكل (A-9) وفيما يلى توضيحاً لذلك.

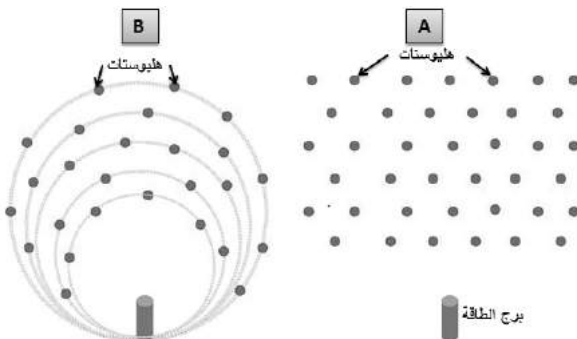
يوجد نوعان من إتجاه الحقل الشمسي (وبالتالى نوعين من المستقبل) هما:
مستقبل دائري (Circular receiver)

أو حقل محيط (Surround field)

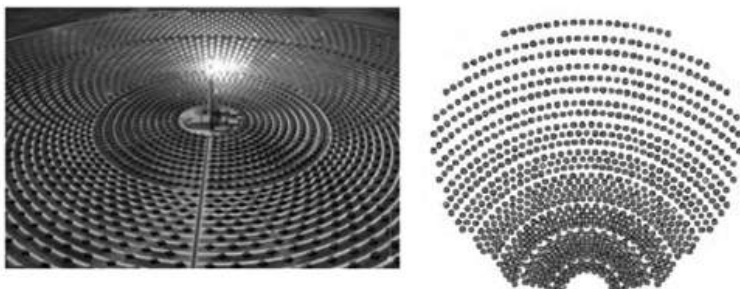
يكون الحقل المحيط في شكل دائري تقريباً وتوزع الهليوستات حول البرج كما في شكل (10).

مستقبل واحد (One receiver)
أو حقل شمالى / جنوبى (Northern or Southern field)

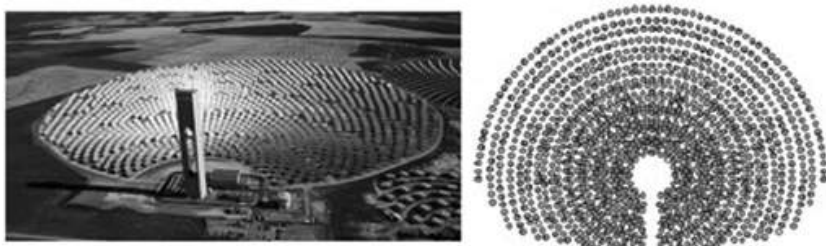
يوزع الحقل شمالي/جنوبى، أى أن جميع الهليوستات إما شمال أو جنوب البرج كما فى شكل (11).



شكل (9) ترتيب الهليوستات



شكل (10) مُستقبل دائري (الحقل المحيط)
Source Torresol Energy (Gemasolar)

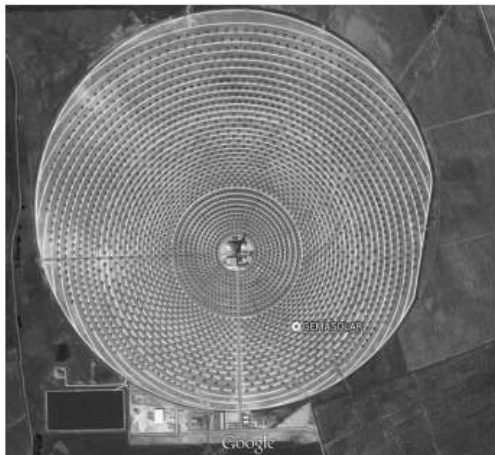


شكل (11) مُستقبل واحد (حقل شمالى أو جنوبى)
Source Abengoa (SP20)

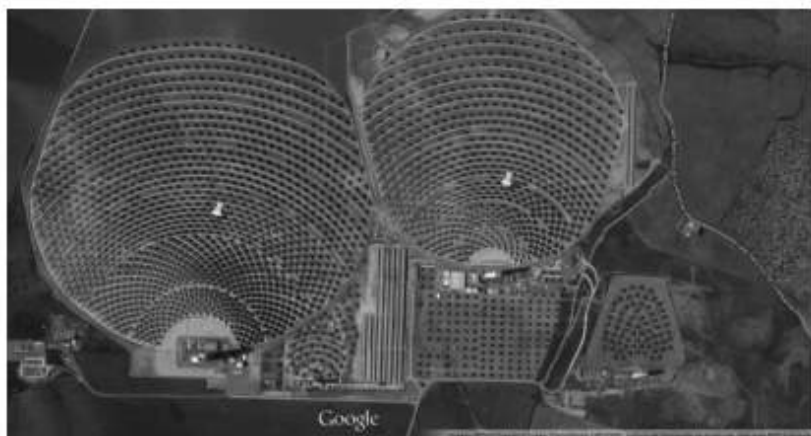
محطات برج الطاقة المركزى

كذلك يصنف تكوين الحقل كالتالي :

- تكوين شعاعي (Radial configuration) وهو ما عرف في شكل (10) حقل محيط وشكل (11) حقل شمالي أو جنوبى، بالإضافة إلى الأمثلة الموضحة بشكل (12) & شكل (13)
- تكوين حقل الذرة (Cornfield configuration) الإسم يشير إلى المقصود وهو أن الهليوستات مرتبة على شكل صفوف طولية متوازية خلف بعضها يوضح شكل (14) حقل هليوستات فى شكل صفوف طولية، محطة Sierra (أمريكا)
- ويوضح شكل (15) حقل هليوستات فى شكل صفوف طولية، محطة Julich (ألمانيا)



شكل (12) حقل هليوستات شعاعي محطة Gemasolar (أسبانيا)



شكل (13) حقل هليوستات شعاعي محطة PS10 &PS20 (أسبانيا)



شكل (14) حقل هليوستات فى شكل صفوف طولية، محطة Sierra (أمريكا)



شكل (15) حقل هليوستات فى شكل صفوف طولية، محطة Julich (المانيا)

المفقودات (Losses)

تعرض الأشعة الشمسية لمفقودات بصرية (optical losses) متغيرة قبل وصولها إلى المستقبل. وتمتاز محطات برج الطاقة المركزى بالكافاءة البصرية العالية، فمثلاً في المحطات القائمة بأسبانيا:

الكافاءة = 77 %

متوسط الكفاءة = 64 %

ويوضح الشكلان (16)&(17) أنواع المفقودات البصرية لحقل هليوستات والذى تعرف كالتالى:

- **فقد جيب التمام (cosine losses)**

تعتبر كفاءة جيب التمام (cosine efficiency) للهليوستات هي الأكبر تأثيراً على تحديد ترتيب حقل الهليوستات. وتعتمد هذه الكفاءة على كل من موضع الشمس ومكان كل هليوستات بالنسبة إلى المستقبل.

كما تستخدم آلية التتبع لوضع الهليوستات بحيث يكون سطحها هو قوس الزاوية بين الأشعة الشمسية والأشعة المنعكسة من الهليوستات إلى المستقبل. وينخفض تأثير المساحة المنعكسة للهليوستات بجيب تمام (cosine) نصف هذه الزاوية، ويعرف هذا التأثير بفقد جيب التمام. في شكل (18) تم تمثيل تأثير هذا فقد على

أكثر من هليوستات حيث يتعرض الهليوستات A لمفقودات جيب التمام المؤثرة (هامة) بينما يتعرض الهليوستات B لمفقودات جيب التمام صغيرة جدا وغير مؤثرة (مهملة)

- **فقد النظليل (shadowing loss)**

يرجع فقد النظليل إلى الظل الناتج من الهليوستات المجاورة في الحقل.

- **فقد الإعاقة (blocking loss)**

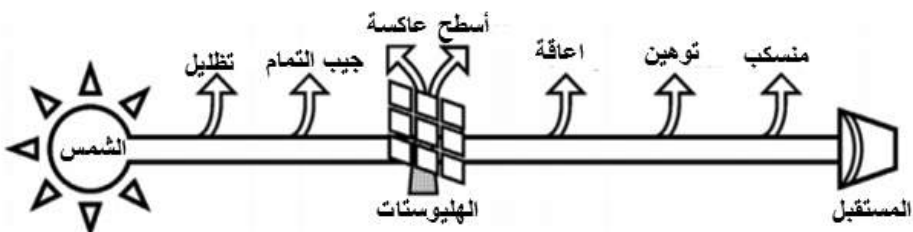
يرجع هذا الفقد إلى تأثير منع الإشعاع من أحد الهليوستات إلى المستقبل عن طريق هليوستات آخر

- **فقد التوهين (attenuation loss)**

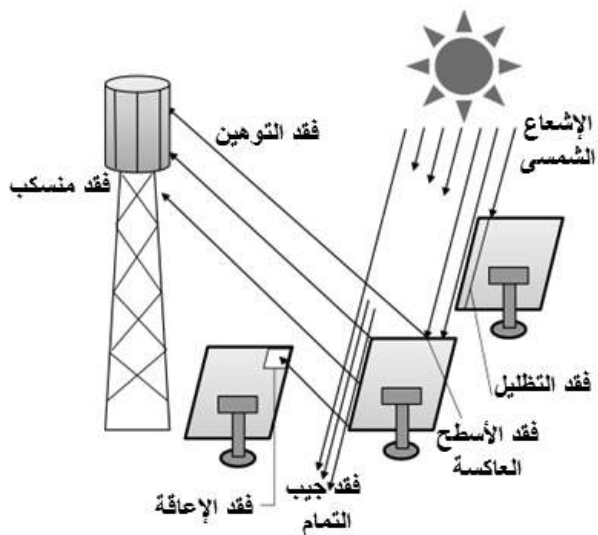
يحدث هذا الفقد نتيجة جزيئات الأتربة في مسارات الإشعاع إلى المستقبل

- **فقد منسكب (spillage loss)**

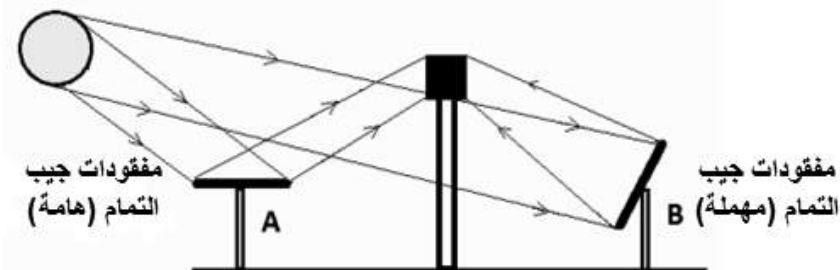
ينتج هذا الفقد نتيجة عدم وصول (ضبط) الأشعة المنعكسة من الهليوستات إلى المستقبل ، وهذا يحدث إذا كانت الصورة المنعكسة للهليوستات أكبر من فتحة **المنسكب (aperture)**.



شكل (16) تصنيف أنواع المفقودات البصرية لحقل هليوستات



شكل (17) تمثيل أنواع المفقودات البصرية لحقل هليوستات

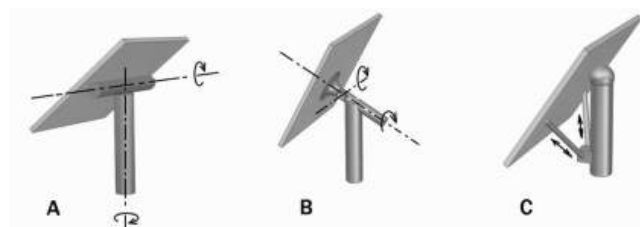


شكل (18) فقد جيب التمام على أكثر من هليوستات

تصنيف التشغيل الميكانيكي للهليوستات:

يصنف التشغيل الميكانيكي للهليوستات إلى: توازي أو نواري اعتماداً على تركيب المشغلات (actuators). [المشغل: يُعرف في مجالات التحكم الإلكتروني، بأنه آلية لتنشيط معدات التحكم والتشغيل باستخدام إشارات إلكترونية].
هليوستات من نوع التوازي (serial types of heliostats)

في هذه النوعية ترکب المشغلات متسلسلة كما في شكل (A-19) والذي يوضح نوع مشغل إرتفاع / سمت (azimuth - elevation) بينما يوضح شكل (B-19) هليوستات ضبط محور كهدف (target aligned heliostat) ومميزات هذا النوع : تصميم بسيط وتحكم بسيط . بينما العيوب تتلخص في إنخفاض الإستقرار. تكون أكثر التصميمات الشائعة عبارة عن عمود مثبت في أعلى نقطة به وحدة محرك تحتوي على وسيلة إدارة إرتفاع وأخرى لإدارة سمت. ثم يثبت أنبوب عزم الدوران (torque) (أنبوب طويل من الصلب) على وحدة المحرك ، والذي يكون له محور إرتفاع متساوي. توصل المرايا الزجاجية مع أنبوب عزم الدوران على دعامات هيكل الجمالون والذي يكون متعامداً مع محور الإرتفاع. في الهليوستات كبيرة الحجم، يتم استخدام شبكة ثانية (وممكن في النهاية تستخدم شبكة ثلاثة) من الحزم بين المرايا الزجاجية والدعامات.



شكل (19) أنواع ميكانيزم تشغيل الهليوستات

هليوستات من نوع التوازي (parallel types of heliostat) :

يحتوي هذا النظام على الأقل على مشغلين متصلين بكل من وحدة المرايا والأرض في نفس الوقت، كما في شكل (C-19). ومن مميزات هذا النوع زيادة الإستقرار . يصمم نظام التحكم للتعامل مع دوائر مغلقة آلية، حيث توجد أكثر من طريقة للحركة بين الأرض والمرايا.

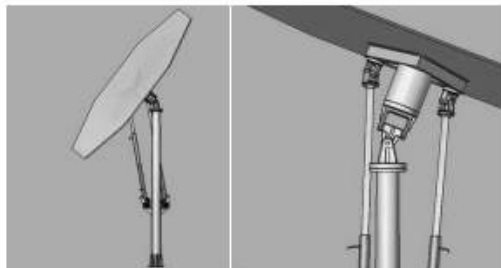
فيما يلي أنواع هليوستات التوازي :

• متعقب شمسي عام (universal solar tracker)

يوضح شكل (20) هذا النوع، وهو يتكون من مشغلين خطبيين وعدد 5 وصلة (مفصل) (joint) عامة، تثبت المشغلات على مستوى مائل لكي تشكل الوصلات

على شكل مثلث . يكون المفصل العام عبارة عن زنبرك وصمولة موضوعا على السطح.

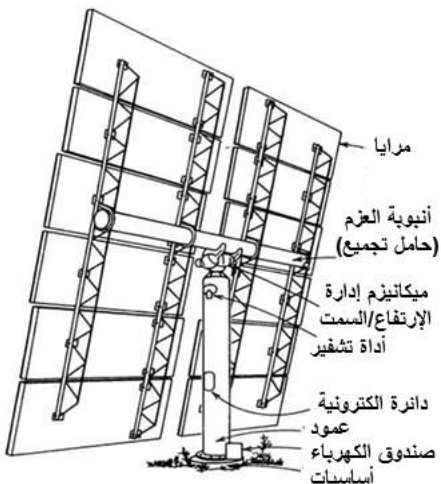
- سداسية القوائم ذو ثمانية أسطح (octahedral hexapod) ،
والموضح في شكل (21)
ويوضح شكل (22) تمثيل للتشغيل الميكانيكي للهليوستات



شكل (20) متعقب هليوستات من نوع التوزاري
(Source: Orshan, 2010)



شكل (21) متعقب سداسي القوائم ذو الثمانية أسطح
(Source: Wikipedia, 2013 @ Physik Instrument, 2013)



شكل (22) تمثيل التشغيل الميكانيكي للهليوستات

مواد المرآيات:

إن المطلوب الرئيسي من مواد المرآيات المناسبة هو تحقيق خصائص الإنعكاس. فيجب أن تكون الإنعكاسية (reflectivity) عالية. وتعرف الإنعكاسية لسطح ما، بأنها الرقم الذي يشير إلى جزء الإشعاع الساقط والذي ينعكس بواسطة السطح.

عموماً تختلف الإنعكاسية تبعاً لأطوال الموجات ، ولذا فهي تعرف عند طول موجة معطاه (محددة) أو عند مدى موجة محددة ، وللحظة مدى الضوء المرئي.

وتنتماز المرآيات بالآتي :

- انعكاسية عالية (90 / 96 %)
- خفيفة الوزن (سهولة التداول)
- كفاءة التبييس (التساوية) stiffness (أقل تدهور في المرآيات عند التعرض لأحمال ديناميكية)
- المتانة
- أخطاء طيفي منخفض

على وجه العموم، فإن الإنعكاسية الموزونة للشمس (solar weighted reflectivity) تشير إلى أنه يؤخذ في الاعتبار وجود محتوى طاقة مختلف عند أطوال موجات مختلفة في الطيف الشمسي .

وعليه فإن الإنعكاسية الموزونة للشمس تشير إلى جزء طاقة الشمس التي تتعكس على المرأة.

ويصنف الإنعكاس كالتالي:

- إنعكاس مرأوى (specular reflection)

وهو الضوء الذي يأتي من اتجاه مدخل أحادي ينعكس إلى اتجاه مخرج أحادي وطبقا لقانون الإنعكاس فإن كل من اتجاه المدخل الأحادي وإتجاه المخرج الأحادي يكون لهما نفس الزاوية بالنسبة لسطح العادي للمرأة.

- إنعكاس مشتت (diffuse reflection)

في المقابل، فإن الضوء الداخل ينعكس في مدى إتجاه واسع. في تطبيقات CSP، يؤخذ في الإعتبار فقط الإنعكاس المرأوى ، لأن الإشعاع المنعكس يجب أن يكون له اتجاه محدد. ويكون معيار جودة المرايات هو انتفاع "إنعكاس مرأوى موزون للشمس" (solar weighted specular reflectivity)

أنواع المرايات (Mirrors)

يوجد نوعان هما:

1- مرايات زجاجية مسطحة قياسية

(standard flat glass mirror)

أو (flat-glass heliostat)

يكون سمك المرايا 1-4mm وتحتوي على طبقة عاكسة في الخلفية. تتم حماية طبقة العاكس ضد انخفاض درجتها (degrading) ، إما بإضافة طبقة زجاج خلف الطبقة الأساسية (والتي تكون على شكل شرائح)، أو دهان الخلفية بمادة دهان كحامية . يمكن أن يكون الزجاج بإنحناء بسيط سهل على طول محور واحد. ويوضح شكل (23) هليوستات من مرايات زجاجية معدنية مسطحة قياسية.

2- مرايا نسيج غشائي متعدد

(SM)(stretched membrane mirror)

أو (SM heliostat)

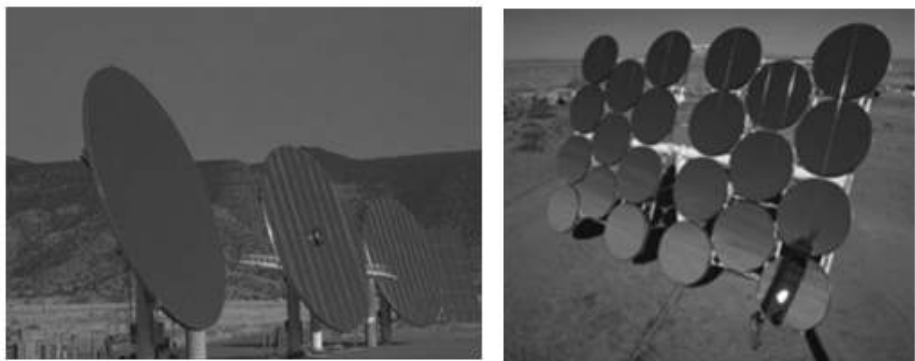
ظهر هذا النوع في عام 1980 ويتربّك من نسيج غشائي مرن مصنوع من الألومنيوم أو الصلب ستيلس، وتكون المادة العاكسة ثابتة، يتم ضبط شد النسيج الغشائي بواسطة مضخة تفريغ / مروحة (vacuum pump/ fan) أو محرك خطى ميكانيكي (mechanical linear actuator) وعلى ذلك فلن يتغيّر طول ارتفاع التركيز (البؤرة). وتوجّد مقاسات مختلفة لهليوستات النسيج الغشائي المتمدد - (SM : heliostats)

وتتراوح نماذج القياس بين m^2 50-150 ، والتي من الشائع أن تكون على شكل دائري. ويكون هيكل التثبيت أخف لأن الهليوستات وزنها خفيف. ويصل وزن الهليوستات SM إلى حوالي نصف وزن هليوستات الزجاج المسطح. حيث يوضح شكل (24) هليوستات مرآيا نسيج غشائي متمدد.

ويلاحظ أن تكاليف هليوستات SM أعلى من هليوستات الزجاج المسطح بحوالي 20%



شكل (23) هليوستات من مرآيات زجاجية معدنية مسطحة قياسية
Source: (GEEN 4830-ECEN 5007)



شكل (24) هليوستات مرايا نسج غشائي متعدد

(Source: GEEN 4830-ECEN 5007)

مادة الزجاج :

إن المرايا الزجاجية هي الاختيار القياسي. ويوضح جدول (2) أنواعاً من مقاومات المرايا الزجاجية الشمسية وحدود قيمها، كذلك يوضح جدول (3) خصائص وبيانات المرايا الزجاجية الشمسية

جدول (2) مقاومات الزجاج (Source:Froling,2011)

حدود القيمة Mpa	المقاومة
880-930	مقاومة الانضغاط
30-90	مقاومة الشد
30-100	مقاومة الانحناء

جدول (3) بيانات مرايا شمسية زجاجية (Source:AGC solar,2012)

القيمة	الوحدة	النوع
4	mm	السمك
10	Kg/m ²	الوزن النوعي
2500	Kg/m ²	الكتافه عند 18 °C
93.6	%	الانعكاسية
9	/k10 ⁻⁶	معامل التمدد الحراري (α)
45	M Pa	المقاومة الميكانيكية
0.2		نسبة بواسيون
70	G Pa	معامل يونج

تعريفات :

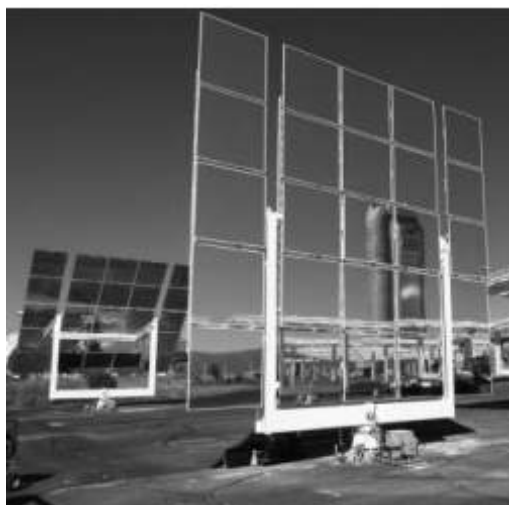
- مقاومة الشد (Tensile Strength) هي أعلى قيمة للإجهاد (الإجهاد الهندسي) في منحنى الإجهاد و الانفعال وتساوي أعلى حمل شد تحملته العينة أثناء اختبار الشد مقسوما على مساحة المقطع الأولية. وتقاس مقاومة الشد ب كجم/م² أو نيوتن/م² (= مليون بسكال).
- مقاومة الانضغاط (Compressive Strength) هي مقدرة المادة على مقاومة القوى الضاغطة محوريًا وعند الوصول إلى حدود مقاومة الانضغاط، تتحطم المادة.
- قوة الانحناء (Bending Strength) ، هي خاصية المادة، وتعرف بأنها الإجهاد في مادة قبل أن ينتج في اختبار الثني.
- المقاومة الميكانيكية (Mechanical Strength) في ميكانيكا المواد، مقاومة المادة هي قدرتها على تحمل الحمل المطبق دون فشل أو تشوه نسبة بواسون (Poisson's ratio) هي نسبة إجهاد الانكمash المستعرض إلى إجهاد التمدد الطولي في اتجاه قوة التمدد.
- معامل يونج (Young's modulus) هو مقياس للمرنة، وهو نسبة الإجهاد الواقع على المادة إلى الإجهاد الناتج.

• MPa = Megapascal
 $= 1000000 \text{ N/m}^2 = 10 \text{ bar}$

فيلم مرايا (mirror film)

أنتجت شركات 3M الأمريكية فيلم مرايا شمسي أطلق عليها Solar Mirror Film 1100 له إنعكاسية 94%， في أحد التطبيقات التي تمت منذ 1995 تلاحظ إنخفاض حوالي 3% في نسبة الإنعكاسية بعد

15 سنه تشغيل . الفيلم مصنوع من (acryl) وبسمك 0.117mm يتم وضع الفيلم على مادة بإستخدام غراء . ومن المشكلات التي ظهرت عن ما هي المادة المناسبة الأفضل من المرايات الزجاجية والتي يكون لها سطح صلب (جامد) ومسطح . وتوصي شركات 3M بإستخدام زجاج أو ستانلس ستيل أو الألومنيوم مدهون . ولا يوصى بعمل نظافة بالغسيل تحت ضغط أو عمل فرك لسطحها . ويوضح شكل (25) هليوستات فيلم مرايا شمسي .



شكل (25) هليوستات فيلم مرايا شمسي

(Source: SunShot 3M)

ثانياً : المستقبل الشمسي (solar receiver)

يعرف المستقبل أيضاً بـ مبادل حراري عالي التقنية (high-tech heat exchanger) والذى يعمل على تسخين الملح المنصهر أو الماء عند درجة حرارة حوالي 250°C المدفوع من الخزان البارد إلى 565°C والذى يندفع إلى الخزان الساخن. عند احتياج الشبكة العامة إلى الطاقة الكهربائية، يستعان محطة برج القوى المركزى من خلال ضخ الملح الساخن إلى نظام إنتاج البخار والذى بدورة ينتج البخار المحمص لمجموعة التريينة / المولد، ثم يعود الملح إلى الخزان البارد وينتظر لآعادة تسخينه في المستقبل حتى تستكمل الدورة ويوضح شكل (26) هذه الدورة.

يوجد عدة أنواع من المستقبلات الشمسية، والموضحة في شكل (27)، هي:

ا- مستقبلات أنبوبية (tubular receiver)

- مستقبل خارجي (external receiver) والموضح بشكل (28)

▪ مستقبل مجوف (cavity receiver)

ب - مستقبلات حجمية (volumetric receivers)

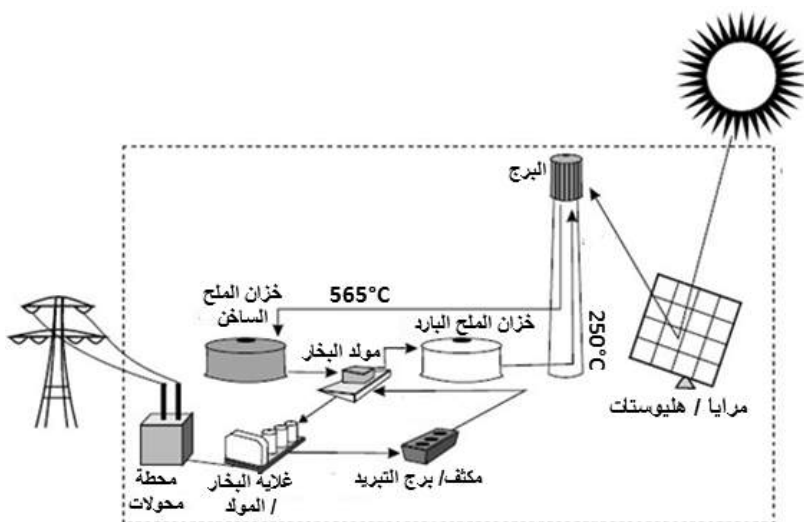
- مستقبل هواء حجمي مفتوح

(open volumetric air receiver)

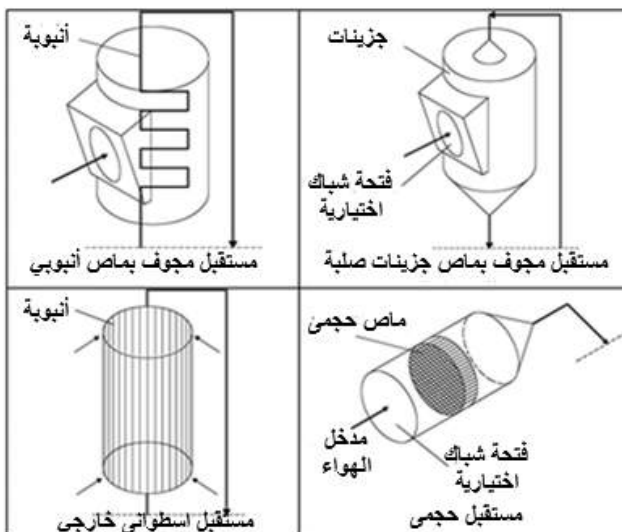
▪ مستقبل هواء مضغوط (pressurized air receiver)

ج - مستقبلات جزيئات صلب (solid particle receiver)

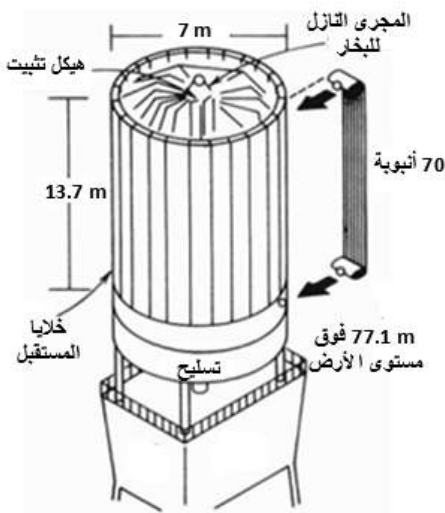
تعتبر المستقبلات الأنبوبية هي الأكثر شيوعاً تجارياً سواء النوع الخارجي أو المغوف.



شكل (26) تمثيل مكونات برج قوى مركزي بملح منصهر كمائع



شكل (27) أنواع المستقبلات الشمسية



شكل (28) مستقبل خارجي

يؤثر نوع المستقبل مباشرة في شكل الحقل الشمسي. تتوافق المستقبلات الخارجية مع نوع الحقل الشمسي المحاط بالمستقبل بينما تتوافق المستقبلات الم gioفة مع الحقل الشمالي أو الجنوبي. في حالة المستقبلات الخارجية، فإن كل الأسطح الخارجية لأنابيب الإمتصاص تتعرض للحقل الشمسي، بينما في المستقبلات الم gioفة تكون أنابيب الإمتصاص داخل التجويف. يدخل الإشعاع إلى التجويف من خلال فتحات فتحة المستقبل (aperture)، ليصطدم بسطح أنبوب الإمتصاص. وتختفي المفقودات الحرارية في المستقبلات الم gioفة مقارنة بالمستقبلات الخارجية. لأن المستقبلات الم gioفة تحجز الأشعة الشمسية المركزة الداخلة، فإن فقد المنسك يكون أعلى، مقارنة بالمستقبلات الخارجية. فيما يلي أنواع مائع التشغيل المستخدم في المستقبل :

- مياه / بخار (water/ steam)
- هواء (air)
- أملاح منصهرة (molten salts)
- صوديوم (sodium)

إعتماداً على نوع مائع التشغيل وتصميم المستقبل، يمكن أن تصل أقصى درجة حرارة تشغيل إلى :

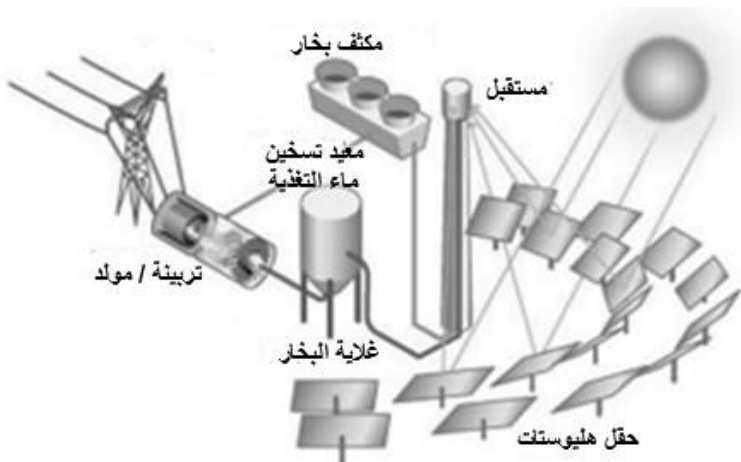
- ❖ من 25°C إلى 300°C عند استخدام مياه/ بخار
- ❖ إلى 390°C عند استخدام الزيوت المصنعة
- ❖ إلى 565°C عند استخدام الأملاح المنصهرة
- ❖ يمكن الوصول إلى 800°C عند استخدام الغازات

مستوى درجة حرارة مائع تحويل الحرارة يحدد حالة تشغيل دورة البخار في مجموعة القوى.

أ. نظام مستقبل بمائع بخار/مياه

يوضح شكل (29) هذا النظام، حيث تستخدم المياه كمائع نقل حرارة. فيوجد في المستقبل نفسه إنتاج بخار مباشرة. ولذا فإن الميزة الرئيسية لهذا النظام إنه لا يحتاج إلى مبادل حراري، هذا إذا كان النظام بدون تخزين ، وعيوب هذا النظام الآتي :

- حدود أقل أقصى فيض للمستقبل من 300 إلى 600 kw/m^2
- تكون الطاقة المخزنة في صورة بخار عالي الضغط غير اقتصادية، لذا يجب تحويل الطاقة إلى وسط آخر مع مبادلات حرارية والتي تسبب فقد طاقة أعلى .
- يضيف تغير المرحلة في مائع نقل الحرارة قيود إضافية عند تصميم المستقبل ، والتي تؤدي إلى تأثير سالب على الكفاءة
- في أوائل استخدام المحطات الشمسية المركزية ، استخدم خزان صخر بترولي (oil/rock) مندر حراري (درج حراري سريع). وأقصى حد لدرجة حرارة الزيت هي $C 315^{\circ}$. وبالتالي فإن البخار الخارج من الخزان له درجة حرارة منخفضة وكفاءة كلية منخفضة للتربينة.



شكل (29) نظام مستقبل بمائع بخار/مياه

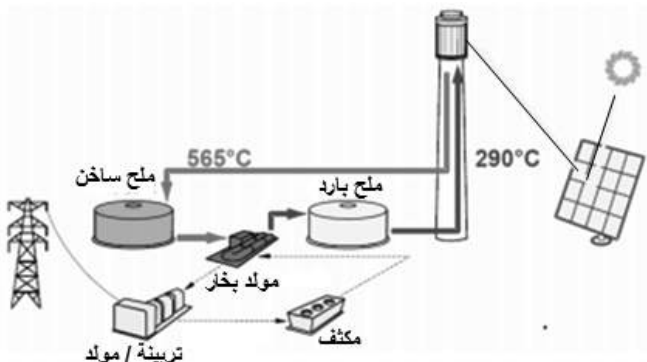
ب. نظام مستقبل بمائع ملح منصهر :

يوضح شكل (30) هذا النوع ، يعتبر الملح المنصهر مفيد وجذاب كمائن نقل الحرارة نظراً لإنخفاض التكاليف واتاحتها الاقتصادية. فيما يلي بعض ملامح هذا النظام:

- حدود أقصى فيض للمستقبل أعلى مقارنة بنظام مياه/بخار
- (من 600 إلى 800 kw/m²)
- خبرة عملية أكثر من 40 سنة في مجال موائع نقل الحرارة
- خلال فترة زمنية طويلة لم يحدث سوموم ولا استقرار زائد وذلك حماية للبيئة وارتفاع الحرارة
- الملح المنصهر أرخص من الصوديوم من 2 إلى 3 مرات
- يكون في الصورة السائلة عند الضغط الجوي
- درجة حرارة تشغيل متوافقة مع تربينات البخار (حرارة عالية وضغط على)
- غير قابل للإشتعال

- تصنُع المواسير والصمامات والخزانات المستخدمة في دورة الأملاح الساخنة من ستينلس ستيل (مقاومة للصدأ)، بينما في أنظمة الملح البارد فتصنع من الصلب الكربوني المعتمد.

يوضح جدول (4) خصائص مستقبلات مياه/بخار، ملح منصهر



شكل (30) نظام مستقبل بمائع ملح منصهر

جدول (4) خصائص مستقبلات مياه/بخار، ملح منصهر

المتغيرات	الوحدة	مستقبل ملح منصهر	مستقبل مياه بخار
درجة حرارة المخرج	(°c)	566	230 / 525
الفيض الساقط	(kw/m ²)	550	350
أقصى فيض	(kw/m ²)	800	700
أقصى ضغط	(bar)	-	100 – 135
الكفاءة الحرارية	(%)	85-90	80 - 93

ج. نظام مستقبل بمائع صوديوم سائل

يبين شكل (31) هذا النظام ، يمتاز الصوديوم بخصائص نقل حرارة جيدة جدا، وله مفقودات حرارية منخفضة نتيجة صغر مساحة المستقبل.

مقارنة مع الملح المنصهر تظهر المميزات الآتية للصوديوم السائل:

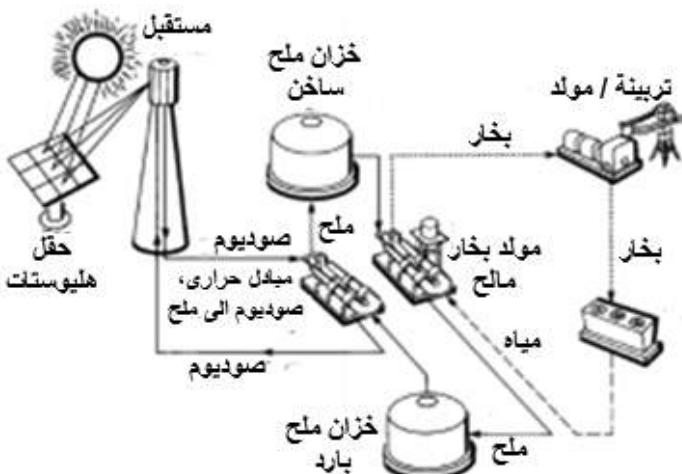
- موصلية حرارية عالية (conductivity) عند تشغيل المستقبل من فيض شمسي عالي (أعلى من 1500 kw/m^2)
- درجة تجمد الصوديوم عند 100°C والتي تقل مرتين مقارنة بالملح المنصهر
- للصوديوم درجة غليان عالية 873°C والتي تسمح للتشغيل في درجات الحرارة العالية لدورة قوي بريتون (Brayton power cycle)
- ينخفض كل من حجم المستقبل والمفقودات الحرارية نظراً لفيض التشغيل العالي وكفاءة المستقبل الأفضل
- ولكن يوجد العديد من العوامل والتي تمثل عائق لمستقبلات الصوديوم لانتشار اقتصاديا، من هذه العوامل:
 - نتيجة لارتفاع النسبي للتکالیف وانخفاض الحرارة النوعية (specific heat) للصوديوم فإن ذلك يحد من استخدامه كوسط تخزين حراري حساس.
 - انخفاض السعة الحرارية الجماعية للصوديوم تؤدي إلى كبر حجم الخزان وارتفاع التکالیف
 - ارتفاع الطبيعة غير الفعال للصوديوم والمياه تؤخذ في الاعتبار عند التصميم تجنباً للمخاطر المرتفعة.



شكل (31) نظام مستقبل بمائع صوديوم سائل

د. نظام مستقبل بمائع ثانوي صوديوم/ملح (Sodium/Salt Binary)

يبين شكل (32) هذا النوع . يستخدم الصوديوم كمائع في المستقبل بينما يستخدم الملح كمائع تخزين في النظام. حيث يستفاد من المميزات الجذابة في كلا الماءين ولكن في هذه الحالة يحتاج النظام لإضافة مسار آخر لنقل الحرارة والذي يؤدي إلى تعقيد النظام. وتقل مخاطر حرق الصوديوم لأنّه مفید داخل البرج المسلح



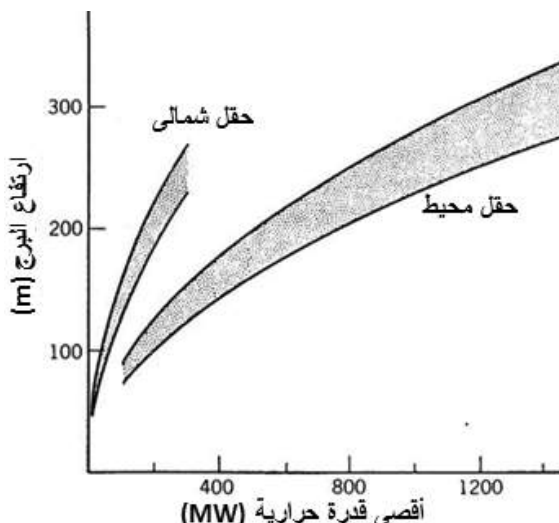
شكل (32) نظام مستقبل بمائع ثانوي صوديوم/ملح

ثالثاً: البرج الشمسي (Solar Tower)

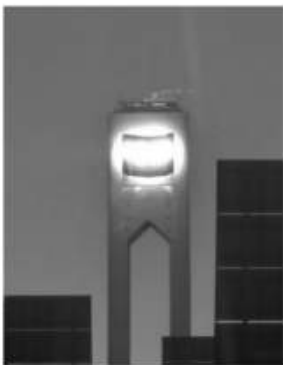
يعتمد ارتفاع البرج على القدرة الحرارية المستقبلة لمحطة برج الطاقة المركزي ويتأثر الارتفاع بنوع الحقل الشمسي : حقل محيط أو حقل شمالي / جنوبى. ويوضح شكل (33) العلاقة بين الارتفاع المثالي للبرج طبقاً لنوع الحقل الشمسي ومستويات القدرة الحرارية المختلفة للمُستقبل (Receiver thermal power) غالباً يتراوح ارتفاع البرج من 50 إلى 150 متر ويكون بذلك الارتفاعات حتى تستطيع جميع مرايا الهليوستات أن تعكس الأشعة إلى المُستقبل (المركب بأعلى البرج) دون أن تحجب الأشعة بعضها البعض. تزيد استثمارات البرج كلما زاد الارتفاع. يوجد نوعين من الأبراج الشمسية هما:

- البرج الخرساني (concrete tower)
- البرج الصلب (steel frame tower)

ويوضح شكل (34) برج شمسي خرسانى وآخر صلب (مُستقبل خارجي ومُستقبل مجوف)



شكل (33) العلاقة بين الارتفاع المثالي للبرج طبقاً لنوع الحقل الشمسي ومستويات القدرة الحرارية المختلفة



شكل(34) برج شمسى لمستقبل خارجى ومستقبل مجوف

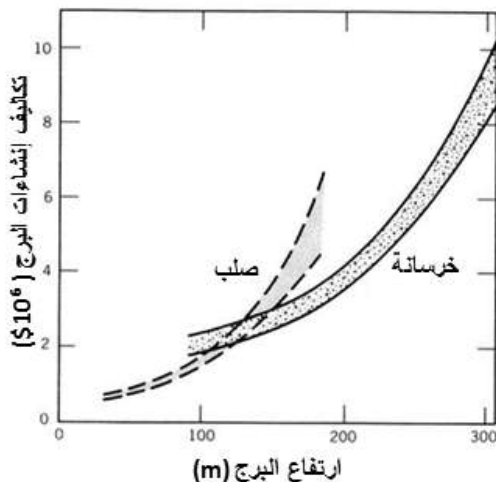
عند تصميم البرج الشمسي يوصى بالاتى:

- للبرج الصلب يكون الارتفاع أقل من 120 m
- للبرج الخرساني يكون الارتفاع أكبر من 120 m

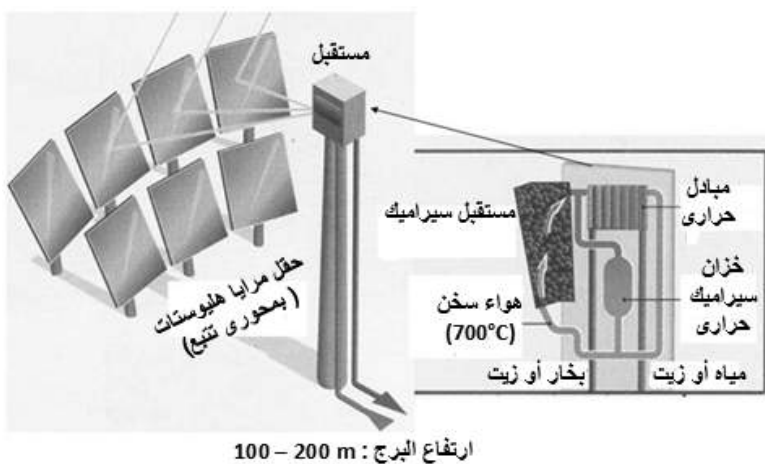
أيضا يوجد عاملان يؤثران على تصميم البرج هما: وزن المستقبل ومنطقة الرياح، وفي بعض المناطق المعرضة للزلزال يجب أن يؤخذ ذلك في الإعتبار. يتاثر وزن وحجم المستقبل بنوع المائع المختار، فمثلا لمحطة 380 MW ($10^9 \times 1.3 \text{ Btu/h}$) لها ارتفاع برج يتراوح بين 170 m – 140 m وحقل محاط بمرايا الهليوستات يكون:

- وزن المستقبل الخارجي الذي يستخدم الصوديوم كمائع kg 250000
 - أو، وزن المستقبل الم giof الهواء kg 2500000
- يشير تحليل التكاليف إلى أن أبراج الهيكل الصلب تكون أقل تكلفة عن الأبراج الخرسانية للارتفاعات أقل من 120 m بينما تكون تكلفة الأبراج الخرسانية أقل من الأبراج الصلبة للارتفاعات الأكبر من 120 m
- يوضح شكل (35) العلاقة بين ارتفاع البرج وتكاليف الانشاءات في حالة الأبراج الخرسانية والصلب، تكاليف البرج لأطوال مختلفة، مع مراعاة اختلاف المستقبل واختلاف الوزن. عند التصميم أخذ في الإعتبار أن يتحمل البرج سرعة رياح (40 m/s (90 mph)، وسرعة الأرض (0.25g)

شكل (36) مكونات محطة برج الطاقة المركزي (Battleson 1981)، ويبيّن شكل (35) العلاقة بين ارتفاع البرج وتكلف الإنشاءات في حالتي الأبراج الخرسانية والصلب



شكل (35) العلاقة بين ارتفاع البرج وتكلف الإنشاءات في حالتي الأبراج الخرسانية والصلب



شكل (36) مكونات محطة برج الطاقة المركزي (الحقل – المستقبل للبرج)

$$\text{النسبة } r / h$$

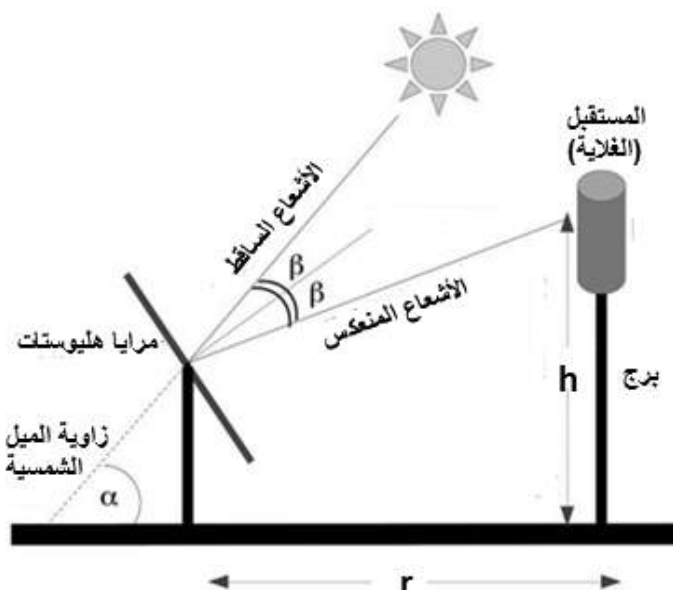
عند تصميم محطات قوى البرج المركزي يجب أن يؤخذ في الإعتبار النسبة r / h حيث:

h = ارتفاع البرج

r = المسافة بين أبعد هليوستات عن البرج الشمسي

لأغلب محطات قوى البرج المركزي تتراوح النسبة r / h بين 5.7 & 6.8، كلما زادت هذه النسبة كلما زاد تأثير المنع (blockage effect)، وكلما زادت قيمة r (أكبر من 1km) كلما زادت مفقودات التوهين (attenuation losses) يوضح شكل (36) تعريف $r \& h$ ، أي:

- المسافة بين البرج والهليوستات والتي تختلف من هليوستات إلى آخر
- الارتفاع وهو الوضع الأفقي لمكان المستقبل (الغلاية والتي تسخن بواسطة الهليوستات)



شكل (36) تعريف $r \& h$

مميزات محطات برج الطاقة المركزي:

- تجمع الطاقة الحرارية البصرية وتحولها إلى مستقبل أحادي، وبأقل طاقة حرارية منقولة مطلوبة
 - تصل نسبة التركيز بين 300 إلى 1500 ضعف، وبكفاءة عالية لكل من الطاقة المجمعة والطاقة المحولة إلى كهرباء.
 - تخزين الطاقة الحرارية عند درجات حرارة عالية
 - يمكن التركيب على أراضي مائلة نسبياً (ذات ميل 5% فأكثر) وبذلك تتحفظ التكاليف اللازمة لتجهيز الأرض قبل بداية المشروع.
 - تصل إلى قدرات عالية (أكثر من 10MW) وبالتالي تكلفة اقتصادية للمقاسات الكبيرة.
 - إمكانية الهجين (hybrid) مع أنظمة أخرى
 - المناسب الأفضل للتبريد الجاف
 - لا يصدر عنها غازات أو انبعاثات مائية أثناء التشغيل
 - إذا حدث تسريب أو إنسكب الملح، فإنه يتجمد قبل حدوث أية مكونات ترابية
 - إذا إنسكب الملح فإنه يمكن جرمه وإعادة تدويره عند الحاجة
- عيوب محطات برج الطاقة المركزي:**
- تحتاج تكاليف التشغيل والاستثمارات وقيمة الأداء السنوي التطبيق على مدي واسع تجارياً
 - عدم القدرة على توفير الطاقة في ظروف انتشار الضوء، حيث ينخفض ناتج الطاقة بشكل كبير في الظروف الغائمة
 - تحتاج لنظام تتبع للشمس للحفاظ على تركيز أشعة الشمس على الهليوستات (المجمع)
 - أكثر حساسية لمشاكل التلوث

خصائص بعض محطات قوى البرج المركزي بالعالم

يوضح جدول (5) خصائص بعض محطات قوى البرج المركزي : (Source : NREL)

يبين جدول (6) البيانات الأساسية لبعض خصائص محطات قوى البرج المركزي القائمة (Source:www.cstep.in)
ويوضح جدول (7) بيانات إرتفاع البرج لبعض خصائص محطات قوى البرج المركزي القائمة
نلاحظ بجدول (7) أن:

- بالمحطة ISEGS فإن $r / h = 10.4$
- بالمحطتين Julich solar Tower&Sierra sun Tower فإن $r / h = 2.3$

من المعروف أن $r = 1400 \text{ m}$ للمحطة ISEGS ولذا فإن النسبة r / h بها أكبر من 10، وعليه فمن الأفضل تقييد النسبة r / h بحيث تكون أقل من 7، وبتحقق ذلك بتصميم r أقل من 1km
يوضح جدول (8) خصائص المستقبل ومجموعة القوى لبعض محطات قوى البرج المركزي القائمة بالإضافة إلى أن جدول (9) يبين ساعات التخزين ومساحات المرايا والأرض لبعض محطات قوى البرج المركزي.

جدول (5) خصائص بعض محطات قوى البرج المركزي (Source : NREL)

S200	S100	S50	S3 (USA)	S2	المتغيرات
2014	2008	2006	2004	1996	سنة التشغيل
رانكين	رانكين	رانكين	رانكين	رانكين	دورة القوى
200	100	50	13.65	10	إجمالي القدرة (MW _e)
74	73	75	76	21	عامل السعة (%)
148	148	95	95	39/95	مقاس الهليوستات (m ²)
زجاج/معدن	زجاج/معدن	زجاج/معدن	زجاج/معدن	زجاج/معدن	تصميم الهليوستات
2.61	1.32	0.72	0.23	0.08	مقاس الحقل الشمسي (km ²)
1930	1110	710	280	100	مساحة المستقبل m ²
1.6	1.4	1.2	0.95	0.8	أقصى فيض ساقط على المستقبل MW/m ²
0.5	0.5	0.5	0.51	0.6	النسبة بين متوسط / أقصى فيض ساقط
0.8	0.7	0.6	0.49	0.48	متوسط الفيض الساقط على المستقبل (MW/m ²)
13	13	16	16	3	ساعات التخزين الحراري
13.8	6.6	3.4	1.1	0.4	مساحة الأرض km ²

جدول (6) البيانات الاساسية لبعض خصائص محطات قوى البرج المركزي
القائمة (Source:www.cstep.in)

اسم المحطة	البلد	السعه MWe	عدد الهليوستات	مساحه فتحه الهليوستات (m ²)	ارتفاع البرج (m)
PS-10	اسبانيا	11	624	120	115
PS-20	اسبانيا	20	1255	120	165
ACME	الهند	2.5	14280	1.14	46
Dahan	الصين	1.5	100	100	118
Solugas	اسبانيا	4.6	69	121	75
Gemasolar	اسبانيا	19.9	2650	120	140
ISEGS	امريكا	392	173500	14.08	140
Sierra sun Tower	امريكا	5	24360	1.14	55
Julich solar Tower	المانيا	1.5	2153	8	60

جدول (7) بيانات إرتفاع البرج لبعض خصائص محطات قوى البرج المركزي
(Source:www.cstep.in)

r / h	ارتفاع البرج m	مقدن السعة MWe	إسم المحطة
6.5	115	11.02	PS-10
5.6	165	20	PS-20
	46	2.5	ACME
	118	1.5	Dahan
6.2	140	20	Gemasolar
10.4	140	392	ISEGS
2.3	55	5	Sierra sun Tower
2.3	60	1.5	Julich solar Tower

**جدول (8) خصائص المستقبل ومجموعة القوى لبعض محطات قوى البرج
المركزي القائمة (Source:www.cstep.in)**

مجموعه القوى			المستقبل				اسم المحطة
التبريد	درجة الحرارة °C	الضغط (bar)	درجة حرارة المخرج °C	درجة حرارة المدخل °C	مائع انتقال الحرارة	النوع	
رطب	250-300	45	250-300	50	مياه	مجوف	PS-10
رطب	250-300	45	250-300	50	مياه	مجوف	PS-26
رطب		60	400	218	مياه	مجوف	ACME
رطب			400	104	مياه	مجوف	Dahan
	850	10	850		هواء	مجوف	Solugas
رطب			656	290	ملح منصره	اسطوانه خارجية	Gemasolar
جاف			566	249	مياه	مستطيل خارجي	ISEGGS
رطب	440	60	440	218	مياه	تجويف ثنائي خارجي	Sierra sun Tower
رطب- جاف	485	26	680	120	هواء	حجمي	Julich solar Tower

جدول (9) ساعات التخزين ومساحات المرايا والأرض لبعض محطات قوى البرج المركزي (Source: www.cstep.in)

نسبة مساحة الأرض إلى مساحة المرايا	مساحة الأرض / السعة المكافأة m ² /MWe	مساحة المرايا / السعة المكافأة m ² /MWe	مساحة الأرض ha	مساحة المرايا m ²	السعة المكافأة MWe	ساعات التخزين	مقدن السعة MWe	اسم المحطة
7.4	44918	6125	55	7.5E4	12.2	1	11.02	PS-10
5.3	36000	6750	80	1.5E5	22.22	1	20	PS-20
3	19425	6489	4.85	1.6E4	2.5	0	2.5	ACME
5.2	31200	6000	5.2	1E4	1.67	1	1.5	Dahan
7.2	13043	1815	6	8.3E3	4.6	0	4.6	Solugas
6.1	36746	5992	195	3.9E5	53.3	15	20	Gemasolar
6.1	36148	5857	1.417	2.6E6	392	0	392	ISEGGS
2.9	16200	5534	8.1	2.8E4	5	0	5	Sierra sun Tower
4.4	45715	10285.7	8	1.8E4	1.75	1.5	1.5	Julich solar Tower

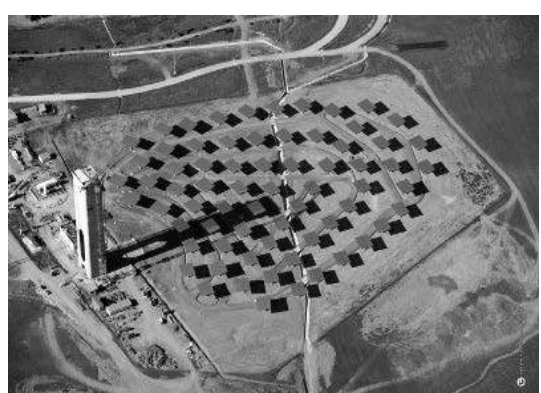
ويوضح شكل (37) محطة PS-20 & PS-10 باسبانيا، حيث يوجد برجين ويحيط PS10 بـ 624 هليوستات - وهي المرايا الضخمة التي تتبع الشمس طوال العام، والتي تعكس أشعة الشمس إلى أعلى البرج حيث يقع جهاز استقبال الطاقة الشمسية والتوربينات البخارية. ويحيط المحطة PS20 بـ 1255 هليوستات. يقع المشروع على بعد 20 كم غرب إشبيلية ويستقبل الشمس يومياً بمعدل 9 ساعات باليوم تعتبر التكلفة أعلى من الطريقة التقليدية ولكنها أقل ضرر بالبيئة. ويوضح شكل (38) محطة Solugas، ويبين شكل (39) محطة ACME، كما يوضح شكل (40) محطة Dahan، أما الشكل (41) فيوضح محطة Solar two كاليفورنيا



شكل (37) محطة PS-10 & PS-20 بأسبانيا



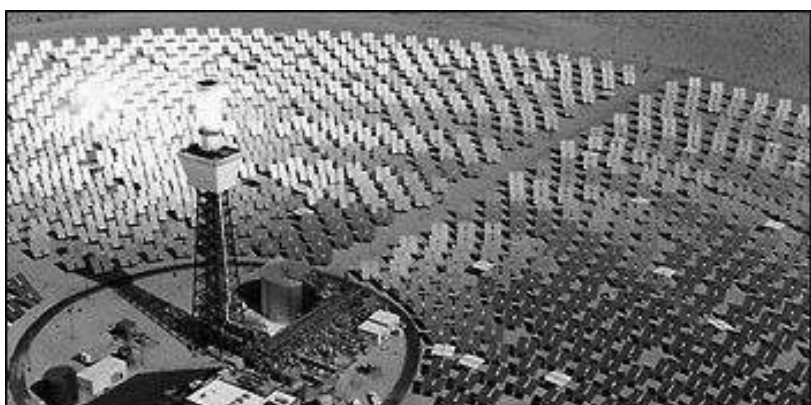
شكل (39) محطة ACME



شكل (38) محطة Solugas



شكل (40) محطة Dahan



شكل (41) محطة Solar two - كاليفورنيا

الباب التاسع

محطات قوى مجمعات حوض قطع مكافئ

Parabolic Trough Collectors Power Plants

(PTC Power Plants)

تكنولوجيا مجمعات حوض قطع مكافئ الشمسية هي الأكثر التي أثبتت جدواها في تكنولوجيا المجمعات الحرارية. ويرجع ذلك في المقام الأول إلى تشغيل تسعة محطات في صحراء موهافي بكاليفورنيا منذ منتصف الثمانينيات. في هذه المحطات، توجد حقول كبيرة جداً من مجمعات إنتاج الطاقة الحرارية المستخدمة لإنتاج البخار الموردة لدورة رانكين توربين/ مولد (Rankine steam turbine-generator cycle) على عاكس قطع مكافئ خطى، الذي يركز شعاع الشمس المباشر على مستقبل خطى يقع في محور القطع المكافئ. يوضح شكل (1) الشكل النموذجي لمحطات مركبات شمسية لأنتج الطاقة الحرارية ويبين جدول (1) خصائص محطات إنتاج الطاقة الحرارية بجنوب كاليفورنيا.

(Solar Energy Generating System) SEGS



شكل (1) الشكل النموذجي لمحطات إنتاج الطاقة الحرارية

جدول (1) خصائص محطات SEGS بجنوب كاليفورنيا

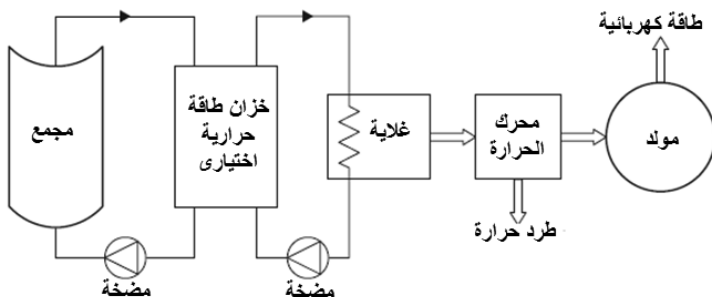
المحطة	بداية سنة التشغيل	المخرج النهائي Net) (output (MWe)	درجة حرارة مخرج الماء (outlet temp) (°C)	المجمع المستخدم Luz) (collector	مساحة الحقل الشمسي solar) field area) (m ²)	كفاءة التربينة الحرارية solar) turbine eff) (%)	كفاءة تربينة الوقود Fossil) turbine eff) (%)	المخرج السنوي annual) (output (MWha)
I	1985	13.8	307	LS-2	82960	31.5	-	30100
II	1986	30	316	LS-2	190338	29.4	37.3	80500
III	1987	30	349	LS-2	230300	30.6	37.4	92780
IV	1987	30	349	LS-2	230300	30.6	37.4	92780
V	1988	30	349	LS-2	250500	30.6	37.4	91820
VI	1989	30	390	LS-2	188000	37.5	395	90850
VII	1989	30	390	LS-2 & LS-3	194280	37.5	39.5	92646
VIII	1990	80	390	LS-2	464340	37.6	37.6	252750
IX	1991	80	390	LS-3	483960	37.6	37.6	256125

يوضح شكل (2) نظام الطاقة الحرارية الشمسية وفيه تجمع الأشعة الشمسية بواسطة مجمعات المركبات الشمسية، والمستخدمة لتشغيل محرك حراري (heat engine) (في الديناميكا الحرارية، المحرك الحراري هو نظام يحول الحرارة أو الطاقة الحرارية والطاقة الكيميائية إلى طاقة ميكانيكية، والتي يمكن بعد ذلك أن تستخدم للقيام بشغل ميكانيكي. ويتم ذلك من خلال جلب مادة الشغل من حالة درجة الحرارة العليا إلى حالة درجة الحرارة الأقل).

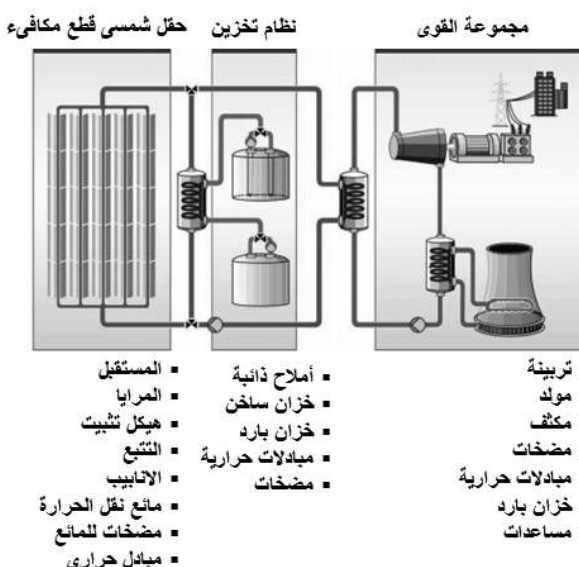
بعض هذه الأنظمة تحتوى على خزان حرارى والذى يسمح بتشغيل المحرك خلال الأجزاء الضبابية وأوقات الليل، وذلك من خلال اختيار درجات حرارة تشغيل مناسبة، لأن كفاءة المحرك الحراري تزيد بارتفاع درجة حرارة تشغيله، بينما تقل كفاءة المجمع الشمسي بارتفاع درجة حرارته.

وتتميز نظم المركبات الشمسية الحرارية بإمكانية تكاملها مع النظم التقليدية لانتاج الكهرباء بالإضافة إلى أنها تضمن امدادات منتظمة للكهرباء، كما أنها لا تتسبب في مشاكل لتشغيل الشبكة الكهربائية، لذا فإنها تكون من ثلاثة قطاعات

رئيسية هي: الحقل الشمسي، نظام تخزين، مجموعة القوى، ويوضح شكل (3) مكونات كل قطاع



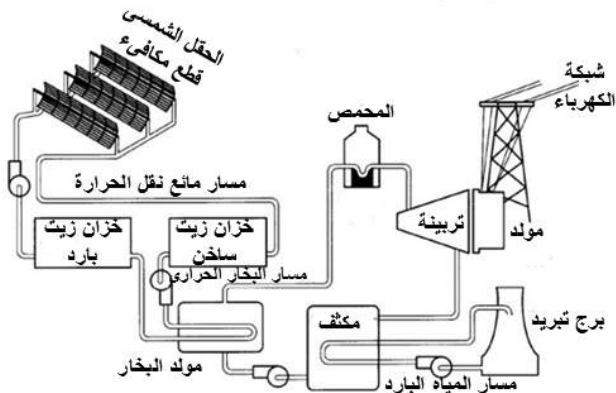
شكل (2) رسم خطى لنظام تحويل الطاقة الحرارية الشمسية



شكل (3) مكونات محطات مركبات قطع مكافئ شمسية لانتاج الطاقة الكهربائية

يتكون حقل المجمع من عدد كبير من مجمعات القطع المكافئ التي تتبع الشمس من خلال محاور أحادية، مركبة في صفوف متوازية متوجهة أفقيا

نحو الشمال / الجنوب وتتبع الشمس من الشرق إلى الغرب، للتأكد أن الشمس تتركز بصفة مستمرة على المستقبل الخطى. حيث يدور مائع نقل الحرارة خلال المستقبل والذي يسخن عن طريق الطاقة الشمسية ثم يمر في المبادرات الحرارية ويكملا الدائرة حتى الحصول على الكهرباء من خلال مجموعة القوى كما في شكل (4).



شكل (4) مكونات محطة انتاج الكهرباء باستخدام مركبات شمسية قطع مكافىء

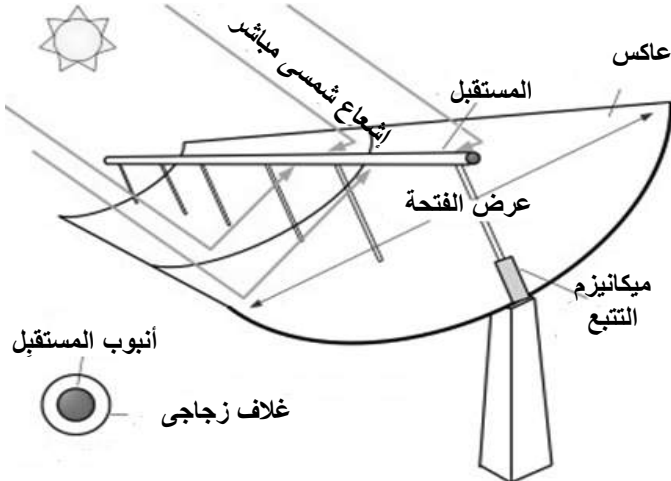
مكونات حقل شمسي قطع مكافىء

مجمع حوض قطع مكافىء (Parabolic Trough Collector) (PTC) هو جهاز يستخدم لتحويل الطاقة الموجدة في أشعه الشمس أو الإشعاع الشمسي إلى صوره قابلة للإستخدام والتخزين(طاقة حرارية). يوضح شكل (5) مكونات مجمع حوض القطع المكافىء.

يتصف مجمع القطع المكافىء ب :

- أن الأشعة الواردة والتي تكون موازية لمحور القطع المكافىء سيتم عكسها تجاه البؤرة بغض النظر عن مكان وصولها على القطع المكافىء.
- أن أشعة الضوء الشمسي والتي تصل إلى الأرض تكاد تكون متوازية، لذا إذا كان القطع المكافىء محاذياً مع محوره مشيراً إلى الشمس، فسيتم انعكاس كل من الأشعة الواردة (تقريباً) تجاه نقطة البؤرة لقطع المكافىء

- منعاً لتشتت الأشعة المنعكسة بعيداً عن محور البؤرة أو لتفادي التقليل من كمية الأشعة المنعكسة بسبب التلوث (مثل الرمال والأتربة) يجب نظافة السطح العاكس دورياً.



شكل (5) مكونات مجمع حوض القطع المكافئ

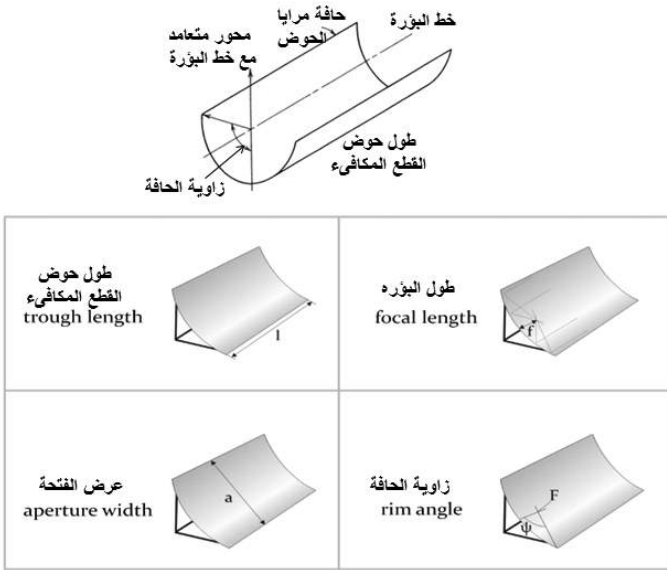
يوصف مجمع حوض القطع المكافئ بالمتغيرات الآتية:

- طول حوض القطع المكافئ
- زاوية الحافة
- مساحة الفتحة
- طول (عرض) الفتحة
- مسافة البؤرة
- زاوية السقوط

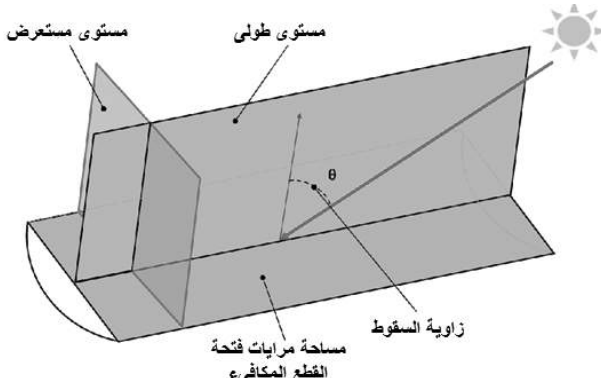
يوضح شكل (6) تعريف متغيرات حوض قطع مكافئ

زاوية السقوط (θ) (incidence angle)

هي الزاوية بين شعاع مباشر من الشمس ومستوى فتحة مجمع حوض القطع المكافئ، والموضحة في شكل (7)



شكل (6) تعريف متغيرات حوض قطع مكافئ



شكل (7) زاوية السقوط

تعتمد قيمة زاوية السقوط على:

▪ موقع المحطة (خطي العرض والطول)

- اليوم في السنة
- الوقت في اليوم
- اتجاه التتابع

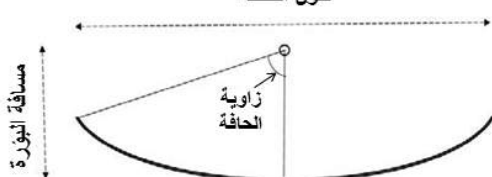
زاوية الحافة (Psi) (rim angle)

لمجمع حوض القطع المكافئ المسطح :

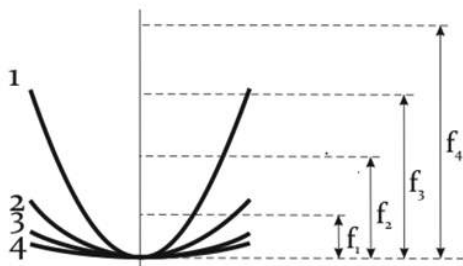
- لزاوية حافة أصغر - مسافة بؤرة أطول (focal length).
- عادة تكون حدود زاوية الحافة بين 70° & 115° .
- تحتاج زاوية الحافة الأكبر إلى أسطح عاكسة أكبر لنفس مساحة الفتحة وبالتالي ارتفاع تكاليف المجمع وزيادة وزنه.
- تعتبر نسبة التركيز من أهم العوامل المؤثرة عند اختيار زاوية الحافة.
- تحتاج نسبة التركيز الأعلى إلى زاوية حافة أكبر من القيم الشائعة لزاوية الحافة 72.5° .

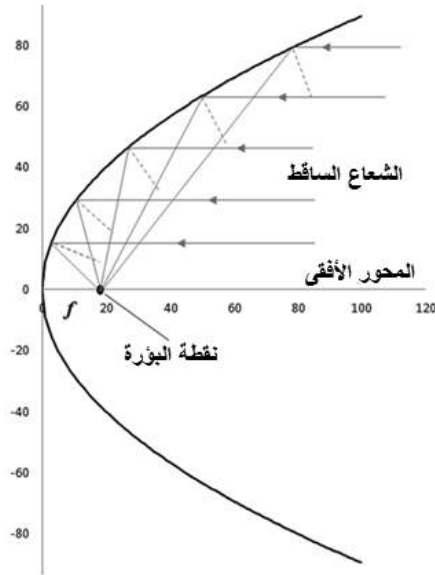
يوضح شكل (8) العلاقة بين مسافة البؤرة ودرجة انحصار القطع المكافئ، عموماً في عاكس مجمع القطع المكافئ، تتعكس جميع الأشعة الموازية لمحور القطع المكافئ من خلال نقطة البؤرة (المحورية) (focal point) كما في

شكل (9).



شكل (8) العلاقة بين مسافة البؤرة ودرجة إنحناء القطع المكافئ





شكل (9) تتعكس جميع الأشعة الموازية لمحور القطع المكافئ من خلال نقطة البؤرة

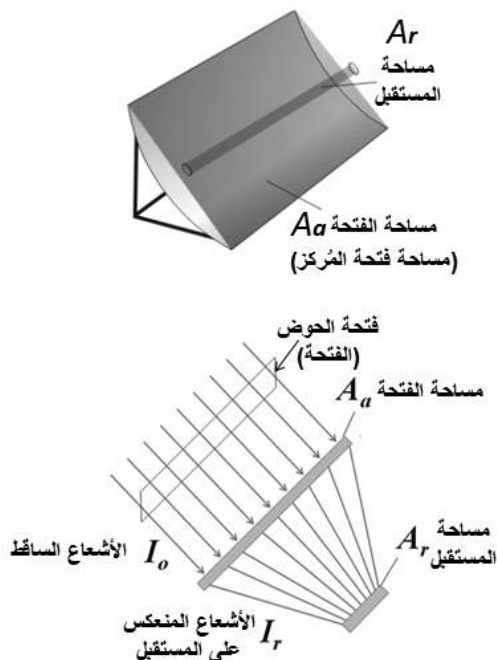
نسبة التركيز الهندسي (geometric concentration ratio) (CRg)

هي النسبة بين مساحة المركيز (مساحة فتحة الحوض) إلى مساحة المستقبل، كما في المعادلة التالية :

$$CRg = A_a / A_r \quad \text{أى أن:}$$

$$\text{نسبة التركيز} = (\text{مساحة فتحة الحوض}) / (\text{مساحة المستقبل})$$

يوضح شكل (10) تعريف لمساحة فتحة الحوض ومساحة المستقبل كذلك تمثيل عملية تركيز الأشعة الضوئية.



شكل (10) تمثيل لعملية تركيز الأشعة الضوئية

وحدة نسبة التركيز (Solar concentration, concentration ratio)

وحدة نسبة التركيز تكون: suns أو times أو folds والتي جميعها تعنى "تكرار أو عدد مرات" أو تكون النسبة بدون أي وحدة

- Measured in “suns” (the square of the magnification)
e.g.: 100-200 **suns**
- Or in times
e.g.: 500-1000 **times**
- Or in folds
e.g.: 100-200 **folds**
- Without unit
e.g.: 60-80

هيكل التثبيت (Supporting structure)

عبارة عن هيكل المجمع وتكون وظائفه:

- تثبيت المرآيات العاكسة وأنبوب الامتصاص.

- مراعاة تحمل الاجهادات الخارجية (مثلاً تأثير الرياح).

- السماح بدوران المجمع لتنبّع الشمس بصفة مستمرة.

يوجد العديد من التكنولوجيات التجارية لهياكل المجمع والتي تختلف في الطول وفتحة المجمع والمادة المستخدمة لثبيت الحزم.
يوضح شكل (11) هيكل التثبيت المجمع



شكل (11) هيكل التثبيت المجمع

المرآيات العاكسة (Reflecting mirror)

عبارة عن مرآيا طولية مقرّبة في شكل قطع مكافئ، والتي تقوم بتركيز أكبر كمية متاحة من الإشعاع الشمسي على أنبوبة الامتصاص. أثناء النهار تتبع المرآيا صعود الشمس و هبوطها للحصول على أحسن انعكاس، وأكثر العوامل المؤثرة على عمل المحطة هو الرياح.

وتعتبر المرآيا بالاتي:

- انعكاسية عالية (90 / 96 %)

- خفيفة الوزن (سهولة النداول)

- كفاءة التبييض (القساوة) (stiffness) (أقل تدهور في المرآيات عند التعرض لأحمال ديناميكية)

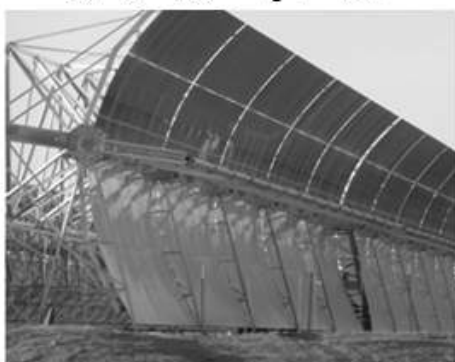
- المتانة

- أخطاء طيفي منخفض

الصلابة (Stiffness) (صلابة الغرض) - إلى أي مدى يقاوم التشوه استجابة للقوة المطبقة. والمفهوم التكميلي هو المرونة، كلما كان الغرض أكثر مرونة، كلما قلت قوته).

يوضح شكل (12) مرآة نصف اسطوانية مقرعة في حقل لوكهارد بالقرب من بحيرة هاربر، كاليفورنيا. ويوضح شكل (13) مكونات مرآيا المجمع.

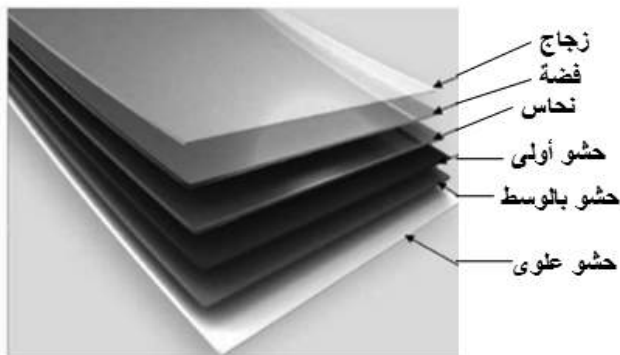
هيكل المجمع المحتوى على المرآيا



تم تركيب جزء من المرآيا



شكل (12) الصورة في الجانب الأيسر عبارة عن مرآة نصف اسطوانية مقرعة في حقل لوكهارد بالقرب من بحيرة هاربر، كاليفورنيا



شكل (13) مكونات مرآيا المجمع

أنبوب الامتصاص (Absorber tube)

يكون موضعها في بورة القطع المكافئ كما في شكل (14)،(15) والتي تعمل على تحويل الطاقة المصطادة (المنعكسة) إلى مائع نقل الحرارة (عمل المائع المار بداخل الأنبوب) يوضح شكل (16) أنبوب الامتصاص لمجمع حوض قطع مكافئ، ويؤخذ في الاعتبار الآتي:

- نوع معدن الأنبوب.
- الطلاء المختار.

ثغرة هواء (air gap) بفراغ عالي والتي تعمل على :
- الحد من مفقودات الحرارة بالتوصيل

- حماية الطلاء من الأكسدة

▪ أنبوب خارجي من الزجاج

مثال لأنبوب الامتصاص : الطول 4 متر بسمك 70 مم

يصمم أنبوب الامتصاص بحيث تكون له أقصى خصائص بصيرية (optical)

واللوصول إلى أقصى كفاءة بصيرية للمجمع يجب أن يؤخذ في الاعتبار:

• عامل النقل (transmissivity) لزجاج الأنبوية $97\% / 93 = \text{ح}$

• الامتصاصية (absorptivity) للدهان المختار $\alpha = 92 / 97\%$

(الامتصاصية هي تغلغل إحدى المواد في مادة أخرى)

لتقدير المفقودات الحرارية لأنبوب الامتصاص ، تكون المتغيرات الأساسية

الهامة هي :

- آلية الفقد الأساسي هو مفقودات الإشعاع

- ابتعاثية الطلاء المختار $f(T) = \epsilon$ وذلك لجميع التكنولوجيات
والتي تزيد مع درجة الحرارة

(ابتعاثية مادة ما ϵ) هي القدرة النسبية لسطح المادة على إصدار الطاقة عن طريق الإشعاع وهي نسبة الطاقة المنبعثة من المادة إلى الطاقة

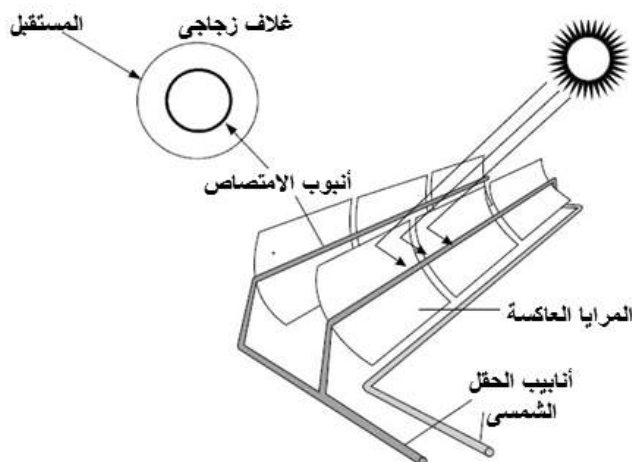
المنبعثة من الجسم الأسود عند درجة الحرارة نفسها. وهي قياس لقدرة المادة على إشعاع الطاقة الممتصة.

(الامتصاص) (Absorptance) هو جزء من الإشعاع يمتص في طول موجة معين).

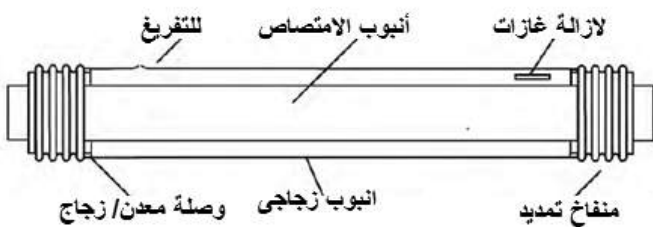
(النفاذية الشمسية) (Solar transmittance) هي نسبة الإشعاع الشمسي الحادث عمودياً على زجاج وتنقل من خلاة .



شكل (14) موضع أنبوب الامتصاص فى المجمع



شكل (15) موضع أنبوب الامتصاص في المجمع



شكل (16) أنبوب الامتصاص لمجمع حوض قطع مكافئ

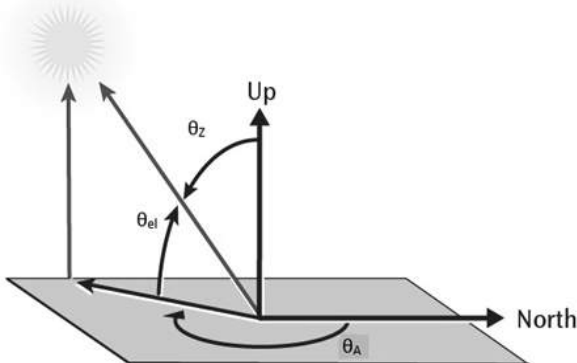
اتجاه الحقل الشمسي (solar field orientation)

لتحديد اتجاه الحقل الشمسي يلزم معرفة زوايا السمت والسمت الأفقي، ويوضح
شكل (17) ذلك

$S = \theta_z$ = zenith angle, measured from vertical
زاوية السمت =

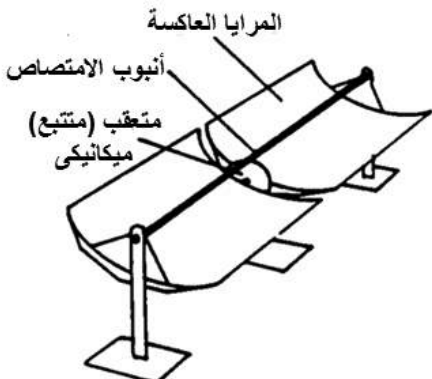
$Y = \theta_A$ = azimuth angle, measured from north
زاوية السمت الأفقية =

Θ_{el} = elevation angle, measured up from horizon
زاوية الارتفاع =

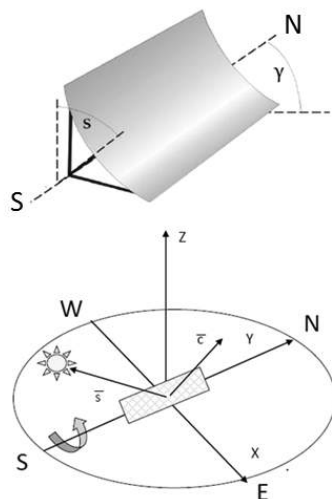


شكل (17) تعرف الزوايا

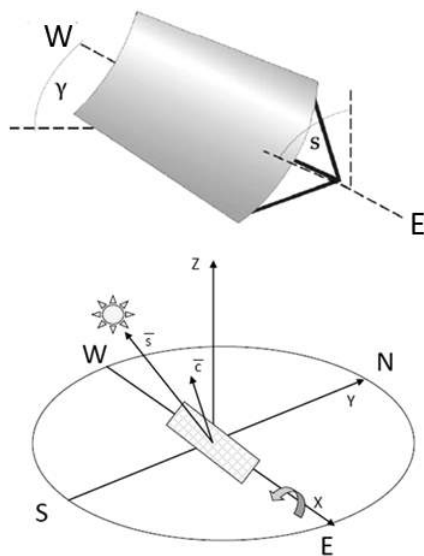
نظريا ، يمكن أن يكون الحقل الشمسي لحوض القطع المكافئ بمحطة CSP له أي اتجاه. وهذا محتمل دائما لأنه يتبع (يتبع) الشمس، ويوضح شكل (18) متعقب ميكانيكي بحوض القطع المكافئ. ومع ذلك ، يكون له اتجاه مفضل ، حيث يكون ضبط المحور(alignment) شمال - جنوب ، مع الأخذ في الاعتبار أن التتبع(التعقب) يكون في اتجاه شرق - غرب ، والموضح بشكل (19) كما يوضح شكل (20) ضبط المحور شرق - غرب ، والتتبع (التعقب) في اتجاه شمال - جنوب



شكل (18) متّبع ميكانيكي
بحوض القطع المكافئ



شكل (19) ضبط المحور شمال جنوب، والتتبع (التعقب) في اتجاه شرق غرب



شكل (20) ضبط المحور شرق - غرب، والتتبع (التعقب) في اتجاه شمال - جنوب

محطات قوي مجمعات حوض قطع مكافى

انتاج الطاقة الحرارية

- خلال السنة تختلف الطاقة الحرارية المنتجة إلى حد كبير من حقل شمسي قطع مكافئ تتجه محاوره بين الشمال والجنوب. حيث تكون الطاقة المنتجة أكثر من ثلاثة إلى أربعة أضعاف الطاقة المنتجة يومياً خلال أشهر الصيف مما كانت عليه في أشهر الشتاء. الطاقة الحرارية المنتجة من حقل شمسي تتجه محاورة من الشرق والغرب لا تختلف كثيراً من فصل الصيف إلى فصل الشتاء
- إن الإنتاج السنوي للطاقة الحرارية المنتجة من حقل شمسي تتجه محاورة من الشمال إلى الجنوب أكبر من ناتج حقل شمسي تتجه محاورة بين الشرق والغرب
- يعتمد حجم الحقل الشمسي على الطاقة الكهربائية الأسمية لمجموعة القوى وأيضاً على وجود أو عدم وجود نظام لتخزين الطاقة الحرارية وعلى قدرتها

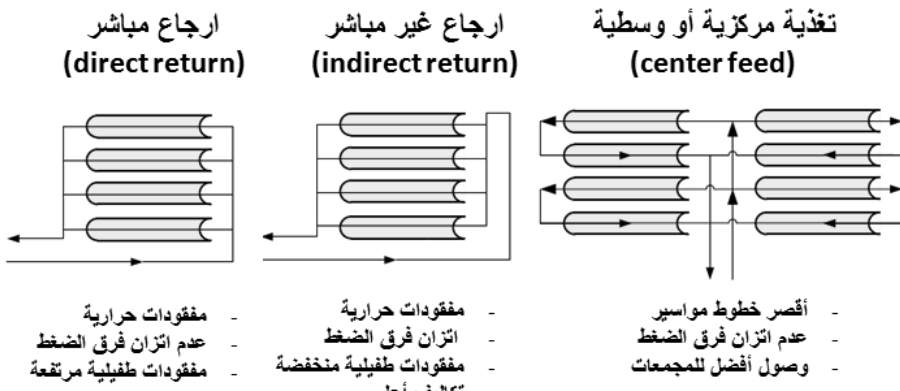
طرق ترتيب مجمعات حوض القطع المكافئ بالحقل الشمسي (Layouts for PTC Solar fields)

لأنظمة حوض القطع المكافئ الكبيرة تجاريًا و التي لها أكثر من 80 Km مجمعات، توزع المجمعات في عدد كبير من الصفوف المتوازية. من الضروري الإهتمام بطرق توصيل و ترتيب المصفوفات و مواسير الحقل الشمسي، و ذلك للحفاظ على الانخفاض النسبي لكل من مفهودات الضغط و مفهودات استهلاك الكهرباء الطفيلي (parasitic electricity consumption) و هو فقد غير مرغوب فيه و يؤدي إلى فقد الطاقة أو حدوث مشاكل في قيم المتغيرات الكهربائية و الذي ينتج أيضاً من الأجزاء المتحركة في الحوض نفسه.

يوجد ثالث طرق رئيسية للتزييب، والموضحة بشكل (21)، هي:

- ارجاع مباشر (direct return).
- ارجاع عكس (reverse return) (أو ارجاع غير مباشر indirect return).
- تغذية مركزية أو وسطية (center feed).

في جميع هذه الطرق نجد أن مواسير المخرج الساخنة تكون أقل طولاً من مواسير المدخل البارد و ذلك للوصول لأدنى مفقودات حرارية.



شكل (21) أنواع ترتيب مجمعات حوض القطع المكافئ بالحقل الشمسي

يكون ترتيب مواسير طريقة "الإرجاع المباشر" هو الأبسط والأكثر إنتشاراً في الحقول الشمسية الصغيرة. ومن العيوب الرئيسية في هذه الطريقة وجود اختلاف كبير في الضغط بين مداخل الصفوف المتوازية. لذلك يضاف بلوف (valves) يدوية فيها و ذلك للحفاظ على ثبات السريان في كل صف. تسبب هذه البلوف هبوط إضافي في ضغط الحقل الشمسي، و يظهر تأثيره في فقد الكلي لضغط النظام.

النتيجة النهائية مفقودات طاقة طفيلية أعلى من طريقة ترتيب "الإرجاع العكسي" حيث يدخل المائع مصفوفة المجمعات عند النهاية العكسية (المقابلة)، ويكون للصفوف ذات أنابيب المدخل الأطول، أنابيب مخرج أقصر، أي لإتزان أفضل لهبوط الضغط مشارك في كل صف. و لذا، يكون الطول الكلي للمواسير في طريقة "الإرجاع العكسي" أطول من طريقة "الإرجاع المباشر" أي مفقودات حرارية أعلى، على الرغم من أن هذا يعتمد بشدة على درجة حرارة مدخل الحقل الشمسي.

إذا كانت درجة الحرارة منخفضة، عندئذ تهمل المفقودات الحرارية الإضافية إضافة أطوال للمواسير تعني تكاليف أكثر لاستخدام مواد عازلة أكثر و مهمات

للمائع أكثر.

في طريقة ترتيب أنابيب "الإرجاع العكسي" ، يجب التأكد من السريان المنتظم الكامل الموزع بين كل صفوف التوازي بدون استخدام بلوف، و لضمان ثبات سرعة المائع يكون إرتفاع أنابيب الممرات الصاعدة (header pipes) أقل من المقاس عند المدخل، و أكبر من المقاس عند المخرج.

يعتبر ترتيب "التغذية المركزية" هو الترتيب الأكثر شيوعا في الحقول الشمسية الكبيرة. و يشبه تصميم "الإرجاع المباشر" من حيث أن فقد الضغط في الحقل الشمسي يكون أعلى إذا وضعت بلوف الإنزان عند مدخل الصف. وفي هذه الطريقة تستخدم أقل مواسير لعدم وجود أنابيب بطول صاف المجمعات. بالإضافة إلى إمكانية إقتراب الأنابيب المباشر لصفوف كل مجمع بدون الإحتياج لتركيب مواسير تحت الأرض. وتعتبر هذه هي الميزة الأهم لترتيب "التغذية المركزية" لأن الإقتراب من الحقل الشمسي يكون ضروريا لغسل المجمعات.

و بما أن البلوف اليدوية تركب عند مداخل و مخارج كل صاف بغرض الصيانة، فإنه يمكن استخدامها لإتزان هبوط الضغط في الصفوف المتوازية مع عدم وجود تكاليف إضافية. لكل ما سبق يكون نظام ترتيب "التغذية المركزية" هو الإختيار المفضل للحقول الشمسية بمحطات حوض القطع المكافئ الكبيرة (PTC) (Parabolic Trough Collectors)

ويجب أيضا مراعاة أن تكون تركيبات المواسير جيدة، لأن الكفاءة الكلية تنخفض في حالة عدم كفاية العزل الحراري. إن طول المواسير يسبب زيادة المفقودات الحرارية و بالتالي يخضع كمية الطاقة الحرارية المفيدة و اللازمة لمجموعة القوى (PB). و يجب تخفيف القاطر الحرارية (thermal bridges) المستخدمة لثبيت الأنابيب والمكونات الأخرى (مثل خزانات الزيت، الطلببات،...) لنفس السبب.

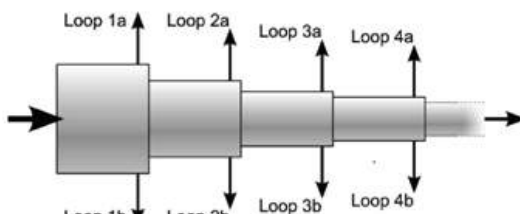
من التركيبات الهامة في الحقل الشمسي لنظام PTC إستخدام بلوف صرف (drain) و بلوف تهوية (venting). تقوم بلوف التهوية بضمان عدم وجود فقاعات هوائية متبقية داخل المواسير بعد ملئها بمائع الزيت الحراري للتشغيل، بينما يستخدم بلوف الصرف لأعمال الصيانة لجزء من المواسير لتقويغها من

محطات قوى مجمعات حوض قطع مكافئ

المائع و عمل الإصلاحات اللازمة
و لأن الزيت الحراري يشتعل عند درجات الحرارة العالية، يجب عدم
الإصلاح أو عمل لحامات لأجزاء المواسير إلا بعد الصرف الكامل مع ملئها
بغاز خالي من الأكسجين.

خصائص المواسير (Piping Characteristics)

- تتغير أقطار مواسير التوصيل بعد كل حلقة (loop) (نظرياً)، كما
بشكل (22)
- أفضل مقاس للمواسير يتم بمقارنة التكاليف الاستثمارية (المواد) و
تكاليف التشغيل (قدرة الضخ pumping power).
- يحتاج لإضافة عدة أمتار زيادة للمواسير لتعويض التمدد الحراري
للسماح بالدخول لكل حلقة (loop).
- يتم ضبط قطر الممرات الصاعدة للحفاظ على أفضل سرعات سريان
و يكون القطر الأصغر للصفوف الفرعية بالحقل الشمسي.



شكل (22) أقطار مواسير التوصيل بعد كل حلقة

مكونات مركزات حوض القطع المكافئ

عادة يتكون شكل القطع المكافئ من أربعة وجهات مرايا ، عبارة عن شرائح
زجاج (تخانة 4mm) منحنية حراريًا، مكسبية بطبقة من معدن الفضة العاكس
مضافاً إليه طبقات حماية من خلف معدن الفضة .
يكون المكون الأساسي بالمجمع هو الموديول (collector module) و غالباً
يجمع 12 موديول لتكون مصفوفة مجمع شمسي واحد والذى يعرف بـ
:(SCA)

- Solar Collector Assembly
- Solar Collector Array

يوضح شكل (23) موديول ومصفوفة مجمع حوض القطع المكافئ ويوضح شكل (24) مكونات حوض القطع المكافئ بالحقل الشمسي من أول الشركات التي أنتجت مجموعات حوض القطع المكافئ :

American- Israeli company Luz industries Ltd.

وأخذت المنتجات الأسماء التالية:

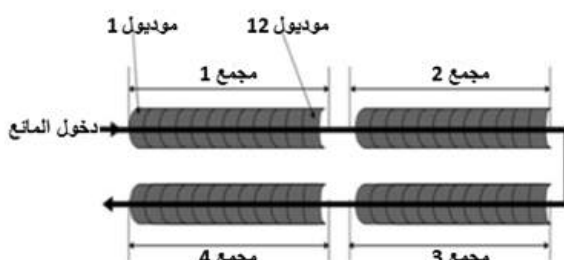
- مجمع 150m, 100m Euro Trough (ET)
- مجموعات طرازات : LS-3 & LS-2&LS-1

يبين جدول (2) البيانات الهندسية والبصرية لمجموعات حوض القطع المكافئ

موديول المجمع



مجمع حوض القطع المكافئ



شكل (23) موديول ومصفوفة مجمع حوض القطع المكافئ



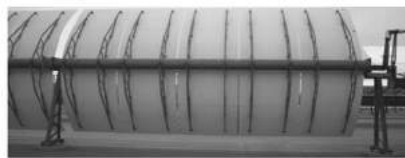
شكل (24) مكونات حوض القطع المكافئ بالحقل الشمسي

جدول (2) البيانات الهندسية والبصرية لمجمعات حوض القطع المكافئ

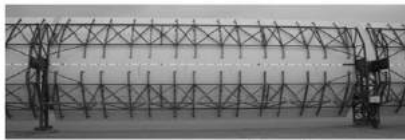
أقصى كفاءة بصيرية (%)	التركيز الهندسي	قطر المستقبل (m)	مساحة المرايا (m ²)	طول المجمع (m)	طول العنصر (الموديول) (m)	مسافة البؤرة (m)	عرض الفتحة (m)	طراز المجمع
71	61:1	0.04	128	50.2	6.3	0.94	2.55	LS-1
76	71:1	0.07	235	49.0	8.0	1.49	5.00	LS-2
80	82:1	0.07	545	99.0	12.0	1.71	5.76	LS-3
78	50:1	0.04	424	49.0	6.1	0.76	2.30	IST
80	82:1	0.07	817	150.0	12.0	1.71	5.76	Euro trough
77	75:1	0.08	750	115.0	13.9	1.71	6.00	Sky trough

حيث :

- عرض الفتحة (Aperture width)
- مسافة البؤرة (Focal length)
- طول الموديول (Length/module)
- قطر المستقبل (Receiver diameter)
- مساحة المرايا (Mirror area)
- التركيز الهندسي (Geometric concentration)
- طول المجمع (Length/ collector)
- IST: industrial solar technology



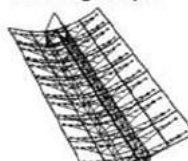
Luz System 2 (LS-2)



Luz System 3 (LS-3)



LS-3



Euro Trough

شكل (25) مجمعات طرازات مختلفة

يوضح شكل (25) مجمعات طرازات مختلفة

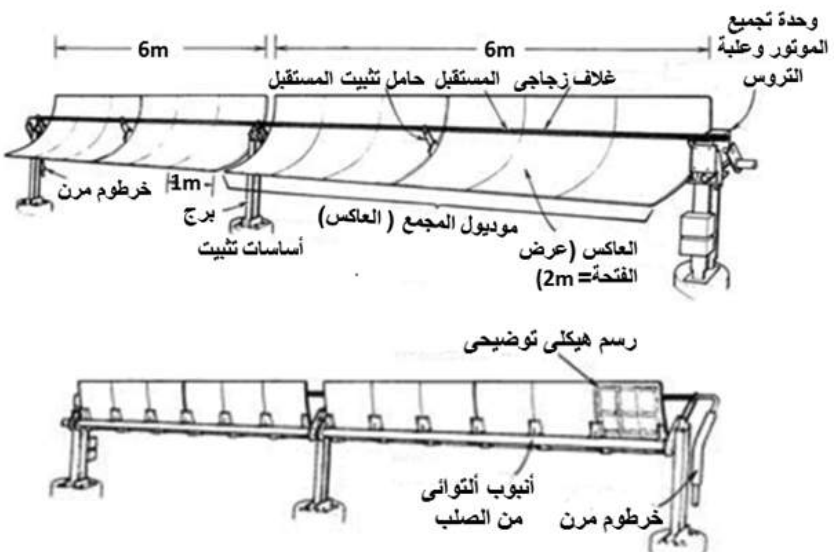
يوضح شكل (26) مثل لمكونات موديول مصفوفة المجمع شمسي يتكون من مرايا زجاجية مرتبة كالاتى: 4 صفوف كل صف يحتوى على 7 مرايات

(كمثال : مقاس المرايا $4 - 5 \text{ mm}$ $1.7 \text{ m} \times 1.6 \text{ m}$ وسمك

ويوضح شكل (27) مكونات تصصيلية لمرکزات حوض القطع المكافئ



شكل (26) مثل
لمكونات موديول
مصفوف



شكل (27) مكونات تفصيلية لمركزات حوض القطع المكافئ

تصميم حقل شمسي "حوض قطع مكافئ"
توجد ثلاثة مراحل لتصميم حقل شمسي:

المرحلة (1): تعريف نقطة التصميم (design point)، والتي تفرض عندها قيمة التصميم.

المرحلة (2): حساب عدد المجمعات المتصلة على التوالي في كل صفحات متوازي.

المرحلة (3): حساب عدد الصفوف المتصلة على التوالي في الحقل الشمسي.
فيما يلي توضيح ذلك:

يجب على مصمم الحقل الشمسي ألا يأخذ في الإعتبار حالات الطقس المحلية فحسب، بل يؤخذ أيضاً في الإعتبار متغيرات تصميم حوض القطع المكافئ للمحطة، بالإضافة لأية مواصفات للعميل لأن الإشعاع الشمسي ليس مصدر طاقة ثابت، لذا فإن المخرج الحراري للحقل الشمسي ليس ثابتاً أيضاً. هذا يعني

أن الطاقة الحرارية الموردة من الحقل الشمسي أحياناً تكون أقل أو أعلى من قيم التصميم.

عموماً ينتج الحقل الشمسي مخرج حراري اسمي (nominal thermal) عندما يكون كل من المتغيرات و حالات التشغيل مماثلة للقيم المفروضة عند نقطة التصميم.

المتغيرات و حالات التشغيل المطلوب تحديدها عند نقطة التصميم هي:

- إتجاه المجمع
- بيانات نقطة التصميم (الشهر - اليوم) و الزمن
- الموقع (خطي الطول و العرض)
- الإشعاع الشمسي المباشر و درجة الحرارة المحيطة لزمن و التاريخ المختار
- طاقة المخرج الحرارية الكلية الصادرة من الحقل الشمسي
- عامل إتساخ (soiling factor) للحقل الشمسي
- درجات حرارة مدخل و مخرج الحقل الشمسي
- نوع المائع
- معدل السريان الإسمى للمائع

كما يجب الأخذ في الاعتبار الأداء الموسمي تبعاً للإتجاهات المختلفة، وعلى المصمم اختيار أفضل إتجاه للمحطة الشمسية، إعتماداً على طلب المخرج الحراري و الإحداثيات الجغرافية للموقع. جميع المحطات الحرارية الشمسية التي تحتاج للحصول على أقصى إنتاج طاقة كهربائية سنوياً تستخدم حالياً مجموعات متوجهة "شمال - جنوب" و بذلك تحصل على أقصى طاقة كهربائية عند ساعات الذروة في أشهر الصيف.

عادة يختار زمن و وقت نقطة التصميم ليوم صيفي عند الظهيرة (مثلاً يوم 21 يونيو في النصف الشمالي من الكرة الأرضية) لأن المخرج الحراري للمجموعات المتوجهة شمال - جنوب تكون أقصى عند هذا الزمن و التاريخ. إذا صمم الحقل الشمسي عند يوم شتوي، عندئذ يكون من الضروري الاحتياج لنظام تخزين حراري كبير و ذلك لتجنب زيادة الطاقة الحرارية الناتجة في الصيف.

بمجرد تحديد وقت و تاريخ نقطة التصميم، و تحديد العميل للموقع الجغرافي، يجب عندئذ على المصمم فرض حالات الطقس (مثلا الإشعاع الشمسي المباشر و درجة الحرارة المحيطة) عند نقطة التصميم. يجب فرض الطاقة الحرارية الإسمية المصدرة من الحقل الشمسي و كذلك درجات حرارة المدخل/المخرج للحقل والتي تغذي مجموعة القوى أو عمليات صناعية حرارية. تتراوح درجات حرارة المدخل / المخرج للمحطات الحرارية الشمسية تقريبا بين 393°C و 293°C ، لأن الزيوت الحرارية المستخدمة كمائع تشغيل تتخل بسرعة عند درجة حرارة أعلى من 398°C ، و تكون أقصى كفاءة كلية للمحطة عند خطوة درجة حرارة حوالي 100°C في الحقل الشمسي.

اختيار مائع التحويل الحراري

يعتبر اختيار مائع التحويل الحراري لحقل شمسي "حوض قطع مكافئ" من الأهمية في مرحلة التصميم. من الشائع استخدام الزيت الحراري في مجمعات حوض القطع المكافئ لدرجات الحرارة أعلى من 200°C . يمكن استخدام المياه كسائل بضغطه إلى قيمة أعلى من ضغط التشبع المطلوب داخل أنابيب المستقبل و المواسير عند درجات حرارة التشغيل هذه، و التي تحتاج مواسير و نقط ربط أقوى و بالتالي إرتفاع تكاليف المجمعات و الحقل الشمسي.

لدرجات الحرارة أقل من 200°C ، إما يستخدم خليط من المياه / جليكول (ethylene glycol) أو مية سائل مضغوطة، كمائع تشغيل لأن المطلوب الحفاظ على الماء عند ضغط متوسط في المرحلة السائلة.

توجد زيوت حرارية متعددة تستخدم كمائع لتحويل الحرارة لمجمعات حوض القطع المكافئ. يجب اختيار النوع المناسب من الزيت، و الذي له أقصى درجة حرارة (max bulk temperature) مع ضمان الصانع بإستقرار الزيت. والزيوت الأكثر شيوعا و المستخدمة في مجمعات حوض القطع المكافئ و التي تصل درجة حرارتها إلى 395°C هي خليط من:

73.5% diphenyl oxide -

26.5 % diphenyl oil (Dowtherm A or VP-1 thermal oil) -

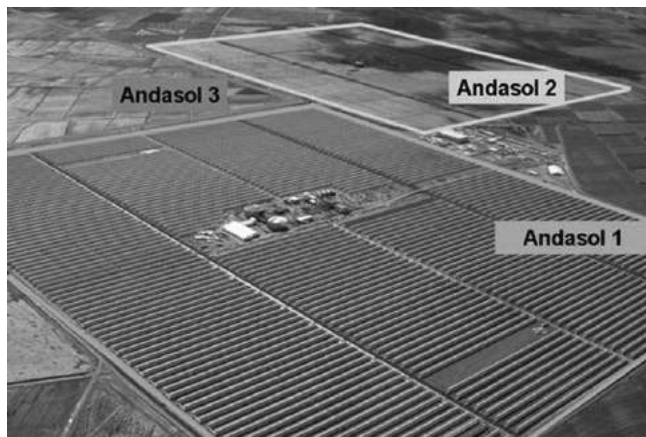
هذه الزيوت لها نقطة إنصهار بالغة الحد الأدنى من الإنخفاض.

تكون المشكلة الرئيسية لهذا النوع من الزيت أن له درجة حرارة تبلور عالية (crystallization temperature) 12°C ، ولذا تحتاج إلى نظام حرارة

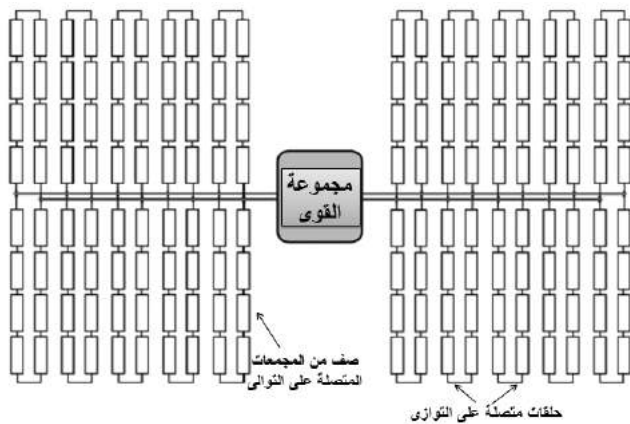
مساعد إذا إنخفضت درجة حرارة زيت الأنابيب إلى أقل من هذه الحدود. توجد أنواع أخرى من الزيوت الحرارية لها درجات تشغيل أعلى قليلاً و درجة حرارة تجمد (solidification) أقل (مثلاً 800 Syltherm)، وهي زيوت مرتفعة التكاليف.

توصيل المجمعات بالحقل الشمسي

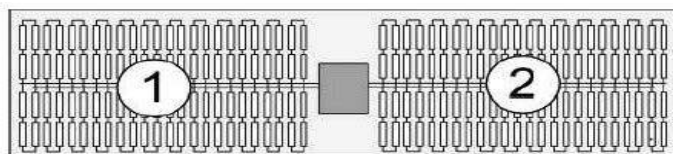
يتكون الحقل الشمسي من عدد كبير من المجمعات، في شكل حلقات متصلة على التوازي وكل حلقة تتكون من صفين تحتوي على مجمعات متصلة على التوالي. يبين شكل (28) حقل شمسي لمحطة من أول محطات المركبات الشمسية التجارية (حوض القطع المكافئ) بإسبانيا بسعة 150 MW ويوضح شكل (29) تمثيل لصفوف وحلقات لمجمعات بحقل شمسي. تقسم مجمعات الحقل الشمسي إلى قطاعين أو أربعة قطاعات أو ستة قطاعات اعتماداً على حجم الحقل، الشكل (30) يوضح تقسيم المجال الشمسي إلى قطاعات.



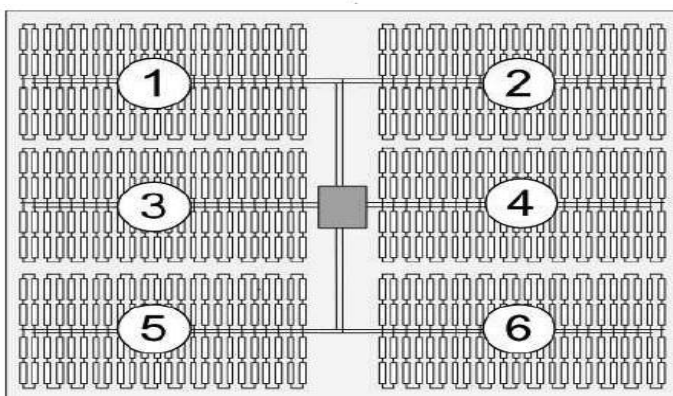
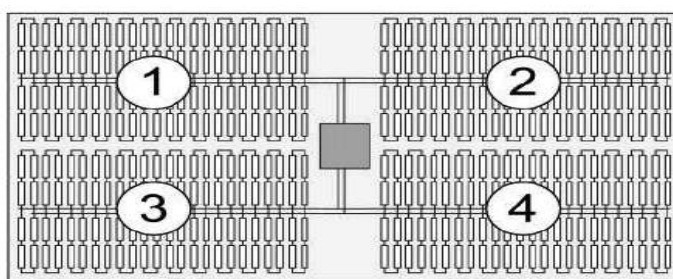
شكل (28) من أول محطات المركبات الشمسية التجارية
(حوض القطع المكافئ) بإسبانيا بسعة 150 MW



شكل (29) تمثيل
لصفوف و حلقات
لمجمعات بحقل شمسي



شكل (30) تقسيم
المجال الشمسي إلى
قطاعات



أ- المجموعات المتصلة على التوالى في الصف

يعتمد عدد المجموعات المتصلة على التوالى لكل صف على سريان الكتلة الإسمى / صف (nominal mass flow / row)، كلما كان السريان أعلى كلما كان عدد المجموعات المتصلة على التوالى أكثر، و ذلك لاعتبار الإختلاف الأسمى لدرجة الحرارة بين مدخل و مخرج الصف.

إن سبب إستخدام عدد كبير من المجموعات متصلة على التوالى في الصف، هو أن المجمع الواحد لا يكون له القدرة على تجهيز إختلاف درجة حرارة عالية بالكافية إذا كان سريان الكتلة مائع التشغيل عالي بالكافية لضمان عامل تحويل حرارة جيد.

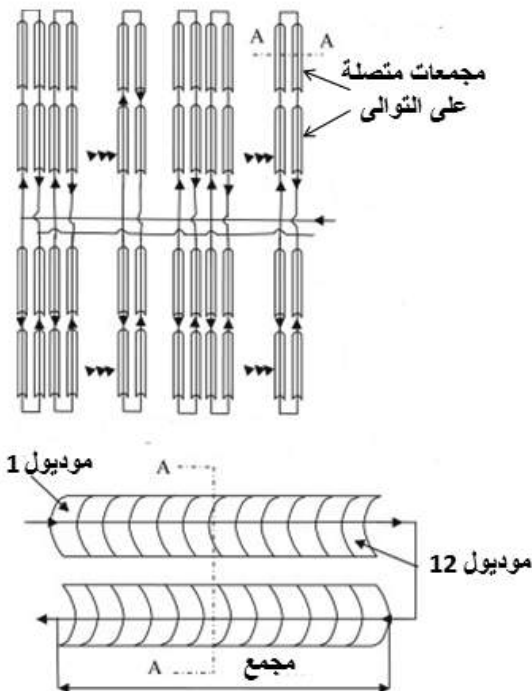
يقابل سريان الكتلة العالية إختلاف درجة حرارة أقل و التي تجهز بمجمع حوض قطع مكافئ واحد عند نقطة التصميم.

و عليه نحصل على عدد المجموعات المتصلة على التوالى في كل صف بقسمة، إختلاف درجة الحرارة بين مدخل و مخرج الحقل الشمسي، على إختلاف درجة الحرارة التي يمكن الحصول عليها من مجمع واحد عند نقطة التصميم.

كمثال يستخدم غالبا في مجموعات حوض قطع المكافئ حاليا طراز EuroTrough-150 و الذي يصنف بالأآتي:

- طول الصف 600 متر (يحتوي على 4 مجموعات بطول 150 متر أو 6 مجموعات بطول 100 متر متصلين على التوالى)
- سريان الكتلة للزيت الحراري المطلوب لزيادة درجة الحرارة بـ 100°C في صف المجموعات و التي تقابل توصيات إنخفاض الضغط و عامل تحويل الحرارة مع تكاليف مناسبة للأنابيب
- تكون نقطة التصميم لسريان كتلة المائع لكل صف حوالي 5Kg/s و مرحلة درجة الحرارة لكل مجمع 25°C

ويوضح شكل (31) مجموعات متصلة على التوالى وتوصيل صفين مجموعات فى حلقة واحدة ومكونات المجمع من 12 موديول



شكل (31) توصيل صفين مجموعات فى حلقة واحدة

بـ- الصنوف المتصلة على التوازي

بعد تحديد عدد المجموعات المتصلة على التوازي بالصنف، يتم تحديد عدد الصنوف المتصلة على التوازي بالحقل. يعتمد عدد الصنوف على القدرة الحرارية المطلوبة لتغذية العمليات الصناعية المستهدفة.

بساطة يحدد عدد الصنوف كالتالي: (القدرة الحرارية المنتجة من الحقل الشمسي / القدرة الحرارية الموردة من صف واحد عند نقطة التصميم)

يلاحظ أن لمحطتي مركبات شمسية حرارية لها نفس القدرة، يختلف مقاس الحقل الشمسي لكل منها إعتماداً على وجود تخزين حراري أم لا.

وعلى سبيل المثال:

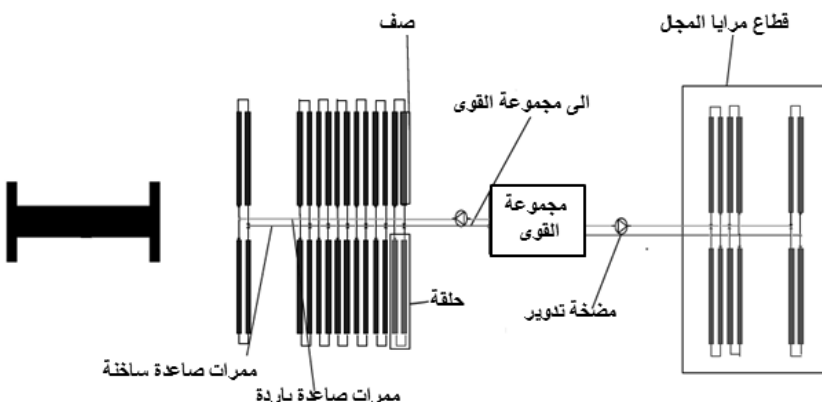
- محطة مركبات شمسية قدرة 50 MW تحتوي على نظام تخزين حراري

طاقة 1GWh، يتكون الحقل من 155 صف، كل صف يحتوي على 4 مجمعات، و مساحة المجمعات الكلية 510000 متر مربع.

- محطة مركبات شمسية قدرة MW 50 لا تحتوي على نظام تخزين حراري، يتكون الحقل من 88 صف، كل صف يحتوي على 4 مجمعات ، و مساحة المجمعات الكلية 288000 متر مربع.

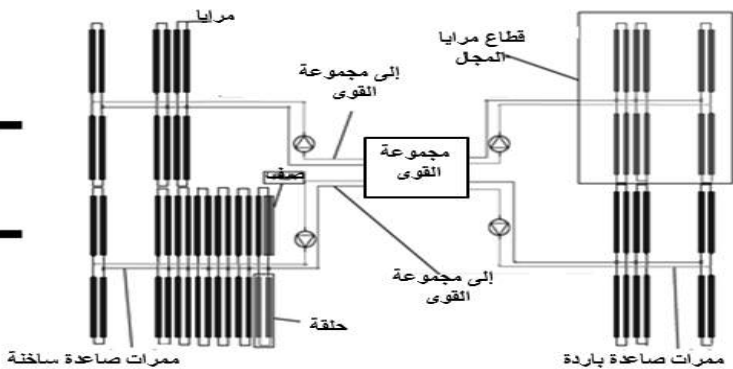
سبب هذا الإختلاف أن حقل المحطة الشمسية المركزية المحتوية على نظام تخزين حراري لا يغذى فقط مجموعة القدرة (PB) بالطاقة الحرارية و لكن يقوم أيضا بتغذية نظام التخزين الحراري حتى يحافظ على تشغيل مجموعة القدرة بالحمل الكامل لمدة 7.5 ساعة بعد غروب الشمس. أي أنه بالرغم من نفس القدرة المقتنة لكلا المخطتين إلا أن الحقل الشمسي لكل منهما مختلف واقعيا ، بالإضافة لإختلاف عدد ساعات التشغيل السنوية.

ويمكن ترتيب مكونات الحقل الشمسي على شكل حرف (I) أو حرف (H) يوضح شكل (32) ترتيبة مجال شمسي على شكل حرف (I)، وفيه معدل السريان الكلى مقسم على القطاعين ويوضح شكل (33) ترتيبة مجال شمسي على شكل حرف (H)، وفيه معدل السريان الكلى مقسم على 4 قطاعات، و يبين شكل (34) مكونات تفصيلية لحالة مجمع

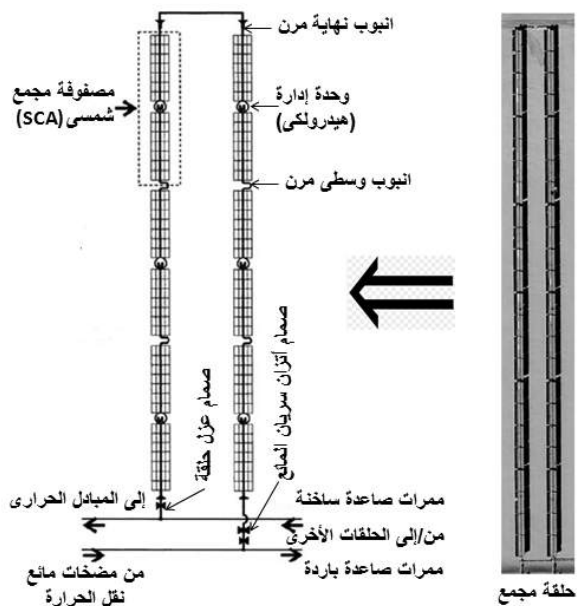


شكل (32) ترتيبة مجال شمسي على شكل حرف (I)

H



شكل (33) ترتيبية مجال شمسي على شكل حرف (H)



شكل (34) مكونات تفصيلية لحلقه مجمع

حساب حجم الحقل الشمسي و القدرة المقننة للمحطة يتم تحديد العاملين الآتيين أولاً:

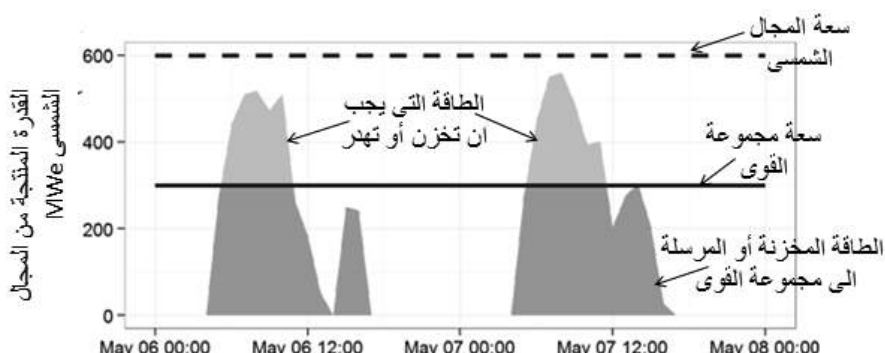
1- المضاعف الشمسي (SM) (Solar Multiple)

هو النسبة بين المخرج الحراري للحقل الشمسي عند نقطة التصميم (تعرف عادة نقطة التصميم بأنها نقطة الظهيرة في يوم صيف في نصف الكرة الشمالي) و الطاقة الحرارية المطلوبة لتنمية مجموعة القوى (PB) عند القدرة الإسمية. عليه فإن الحقل الشمسي الآن يستخدم مضاعفاً شمسيًا أكبر لنفس مقدار مجموعة القوى (PB).

كمثال للمحطات الشمسية قدرة MW 50 عند نفس خط العرض الجغرافي

- في حالة عدم وجود نظام تخزين حراري فإن $1.3 : 1.15$: 1.3 :
- في حالة وجود نظام تخزين حراري (1GWh) فإن $SM = 2$

يوضح شكل (35) محطة مركبات شمسية بها مقتن مجموعه القوى 300 MW ولها $SM = 2$ أي أن أقصى طاقة كهرباء حرارية منتجة من الحقل الشمسي ضعف المقتن الحراري لمجموعة القوى، هذه الزيادة تخزن في حالة وجود نظام تخزين أو تهدر في حالة عدم وجود نظام تخزين.



شكل (35) التغير في الطاقة الكهربائية الحرارية المنتجة من الحقل الشمسي خلال يومين

2- عامل السعة (capacity factor)

هو النسبة بين عدد الساعات المكافأة سنويا فقط عند الحمل الشمسي الكامل، و أقصى عدد ساعات تشغيل للمحطة ($365 \text{ day} * 24 \text{ hr} = 8760 \text{ hr}$). مع ملاحظة أن لانظمة التخزين الحراري تزيد عدد ساعات التشغيل، ولذا يكون عامل السعة لمحطة تحتوي على تخزين حراري أكبر منه للمحطة غير المحتوية على تخزين حراري. مثلاً لمحطة مركبات شمسية قدرة MW 50 وتخزين حراري GWh 1 فإن عامل السعة يساوي 0.4 بينما يساوي 0.22 في حالة عدم وجود تخزين حراري.

تحديد مكونات ترتيبية مجمعات الحقل الشمسي

لتحديد عدد وترتيب مجمعات الحقل الشمسي تتبع الخطوات التالية :

1. حساب الحرارة المكتسبة المفيدة للمجمع الواحد (KW)
2. حساب درجة حرارة مخرج مجمع واحد (°C)
3. حساب الطاقة الحرارية الكلية من الحقل الشمسي (KWth)
4. حساب ترتيبة المجمعات للحقل الشمسي (عدد الحلقات والطاقة الحرارية الكلية)

فيما يلى توضيح كل خطوة :

(1) حساب الحرارة المكتسبة المفيدة للمجمع الواحد:

$$Q_u = F_R A_a [S - (A_r/A_a) U_L (T_i - T_a)]$$

حيث

Q_u = الحرار المكتسبة المفيدة (useful heat gained) (KW) لكل مجمع

F_R = عامل تحرك الحرارة بالمجمع (collector heat removal factor)

A_a = مساحة فتحة المركز (aperture area of concentrator) (m^2)

A_r = مساحة المستقبل (receiver area) (m^2)

S = الإشعاع الشمسي الممتص (absorbed solar radiation) (w / m^2)

= الإشعاع الساقط على الموقع المختار عند نقطة التصميم

U_L = معامل فقد الحرارة (Heat loss coefficient)
 T_i = درجة حرارة مدخل المائع (fluid inlet temperature)
 T_a = درجة الحرارة المحيطة (ambient temperature)

عامل تحرك الحرارة بالمجمع (F_R) **(Collector heat removal factor)**

يعرف هذا العامل بأنه نسبة الطاقة المفيدة المحسوبة باستخدام $(T_i - T_a)$

إلى الطاقة المفيدة المحسوبة باستخدام $(Tpm - T_a)$

أو هو النسبة بين الحرارة المنقولة الفعلية إلى أقصى حرارة منقولة ممكنة.

وتكون قيمة هذا العامل < 1 (وليس له وحدة)

حيث :

Tpm = متوسط درجة حرارة الممتص (absorber) ($^{\circ}\text{C}$)
(2) حساب درجة حرارة مخرج مجمع واحد

$$T_o = T_i + Q_u / \dot{m} c_p$$

حيث

T_o = درجة حرارة المخرج (outlet temperature) ($^{\circ}\text{C}$)
 T_i = درجة حرارة المدخل (inlet temperature) ($^{\circ}\text{C}$)
 \dot{m} = معدل سريان كتلة مائع نقل الحرارة (mass flow rate of HTF) (kg/s)
 c_p = سعة الحرارة النوعية لمائع نقل الحرارة (specific heat capacity of HTF) ($\text{J}/\text{kg} \cdot ^{\circ}\text{C}$)

فيما يلى بعض الأمثلة وحلها لحساب عدد من المتغيرات المطلوبة، فإذا أخذنا
مثال لحساب عدد المجمعات الازمة للحصول على ارتفاع في درجة حرارة
المدخل بـ 100°C وذلك باستخدام بيانات المجمع الآتية:

$$T_i = 239^{\circ}\text{C}$$

$$\dot{m} = 8 \text{ kg/s}$$

$$Q_u = 550 (\text{Kw} / \text{collector})$$

$$\text{Kwh} = 3.6 \times 10^3 \text{ KJ}$$

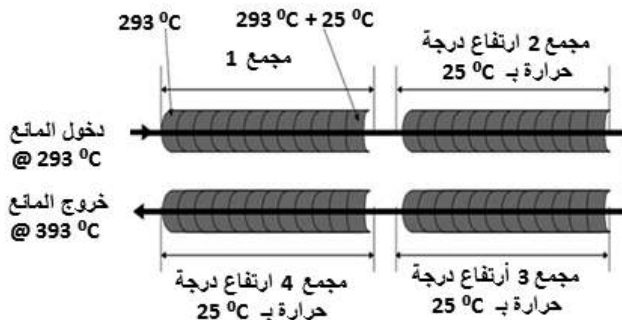
$$c_p = 2450 \text{ J/kg.}^{\circ}\text{C} = 2.45 \times 3.6 \times 10^3 \text{ kwh/kg.}^{\circ}\text{C}$$

إإننا يجب ان نتبع الخطوات التالية :

$$\begin{aligned} T_o &= 239 + \frac{(550 \text{ kw})}{(8\text{kg/s})(2450\text{J/kg.}^{\circ}\text{C})} \\ &= 239 + \frac{(550 \text{ kw})}{\left(\frac{8\text{kg}}{(60 \times 60)\text{hr}}\right)(2.45 \times 3.6 \times 10^3 \text{ kwh/kg.}^{\circ}\text{C})} \\ &= 239 + 28 \text{ }^{\circ}\text{C} \end{aligned}$$

أي ترتفع درجة حرارة مخرج المجمع ب $28 \text{ }^{\circ}\text{C}$ عن درجة حرارة المدخل وهي $239 \text{ }^{\circ}\text{C}$ وحيث أن المطلوب زiacade درجة الحرارة ب $100 \text{ }^{\circ}\text{C}$ إذن

عدد المجمعات المطلوبة $100 \text{ }^{\circ}\text{C}/28 \text{ }^{\circ}\text{C} = 3.5$
لذا يختار عدد المجمعات (36) كما في شكل (36)



شكل (36) حلقة مجمعات ترفع درجة حرارة مائع نقل الحرارة ب $100 \text{ }^{\circ}\text{C}$

(3) حساب الطاقة الحرارية الكلية للحقل الشمسي (P_{th})

$$P_{th} = (P_{el}/\eta_{PB}) + \text{electric parasitic} + \text{SF piping losses} + \text{other losses}$$

حيث

$$\text{طاقة الحرارية للحقل الشمسي} = P_{th}$$

(Thermal power from solar collector field)

P_{el} = صافي سعة المولد (net capacity)
 η_{PB} = كفاءة مجموعة القوى (power block efficiency)
 Electric parasitic = الطفيلييات الكهربائية
 SF piping losses = مفقودات مواسير الحقل الشمسي

مثال:

احسب الطاقة الحرارية الكلية طبقاً للبيانات الآتية :

$$\begin{aligned}
 P_{el} &= 30 \text{ MW} & \eta_{gen.} &= 0.96 \\
 \eta_{boil} &= 0.9 & \eta_{turb.} &= 0.37 \\
 \text{Electric parasitic} &= 5.8 \text{ MW} \\
 \text{SF piping losses} &= 6.2 \text{ MW} \\
 \text{Other losses} &= 12.36 \text{ MW}
 \end{aligned}$$

الحل:

$$\begin{aligned}
 P_{th} &= 30 / (0.96 \times 0.9 \times 0.37) + 5.8 + 6.2 + 12.36 \\
 &= 118.2 \text{ MW}_{th}
 \end{aligned}$$

(4) حساب مكونات ترتيبية مجمعات الحقل الشمسي

لتحديد ترتيبية الحقل الشمسي يلزم :

- قدرة مخرج المجمع الواحد
- عدد المجمعات في الحلقة
- الطاقة الحرارية الكلية للحقل الشمسي

$$\text{عدد الحفارات المطلوبه} = \frac{\text{الطاقة الحرارية الكلية من الحقل الشمسي}}{\text{قدرة مخرج المجمع الواحد}} / (\text{عدد المجمعات في الحلقة})$$

مثال :

باستخدام البيانات في الأمثلة السابقة إحسب ترتيبة المجموعات للحقل الشمسي

الحل :

$$\text{الطاقة الحرارية الكلية} = P_{th} = 118.2 \text{ MW}_{th}$$

$$\text{قدرة مخرج المجمع الواحد} = Q_c = 550 \text{ kW /collector}$$

$$\text{عدد المجموعات في الحلقه} = 4$$

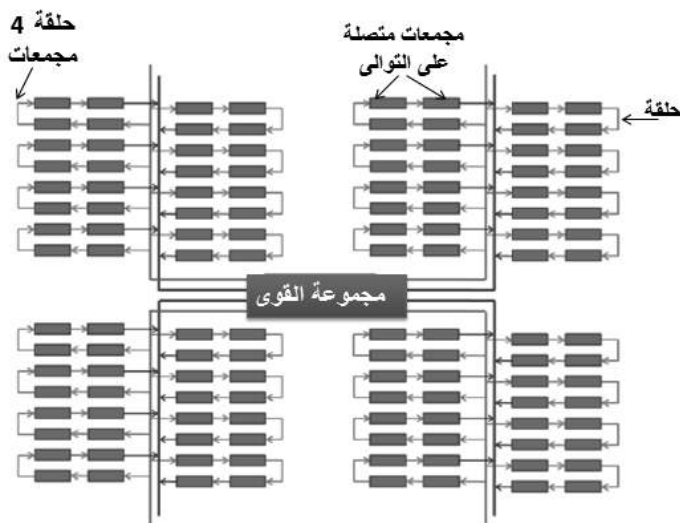
$$\text{No. of loops} = \frac{118.2 \times 10^3}{(550)(4)} \approx 54 \text{ loop}$$

بإختيار ترتيبة تحتوى على عدد 56 حلقه حتى يمكن توزيع عدد المجموعات في إتزاan هيدروليكي منتظم في النظام

وعلى ذلك تصبح قدرة المخرج المنتجة من عدد 56 حلقه

$$P_{el} \approx 31.1 \text{ MW}$$

يوضح شكل (37) رسم تخطيطى لمجمع شمسي تحتوى على حلقه طراز LS-2



شكل(37) رسم تخطيطى لمجمع شمسي تحتوى على حلقه طراز LS-2

محطات قوى مجموعات حوض قطع مكافى

مثال:

مساحة متاحة لمحطة شمسية حوض قطع مكافئ = 1.5 km^2

ا- إذا كانت سعة مجموعة القدرة = 50 MW

ما قيمة المضاعف الشمسي (SM)

ب- إذا كان النظام بدون تخزين، كم سعة مفنن القدرة الكهربائية للمحطة

الحل :

$$A = 4 A_{ap} \quad \text{أ-}$$

حيث A = المساحة الكلية للمحطة الشمسية

$(\text{km}^2) = \text{مساحة فتحات المجمعات} = (\text{km}^2) A_{ap}$

$$A_{ap} = \frac{P_{el} * \text{SM}}{\eta * G_{b.coll}},$$

$$\eta = 25\%, \quad P_{el} = 50 \text{ MW}, \quad G_{b.coll} = 800 \text{ W/m}^2$$

$$1.5 \text{ km}^2 = 4 \left(\frac{50 \text{ MW} * \text{SM}}{0.25 * (800 \text{ W/m}^2)} \right)$$

$$\text{SM} = \left(\frac{(1.5 \text{ km}^2) * (0.25) * (0.8 \text{ kW/m}^2)}{4 * (50 \text{ MW})} \right)$$

$$\therefore \text{SM} = 1.5$$

.ب.

$$\text{SM} = 1$$

$$1.5 \text{ km}^2 = 4 \left(\frac{P_{el} * (1)}{0.25 * (800 \text{ W/m}^2)} \right)$$

$$P_{el} = 75 \text{ MW}$$

الباب العاشر
اقتصاديات المركبات الشمسية الحرارية
Economics of Solar Thermal Concentrates

تكليف الطاقة الكهربائية طبقاً لمصدر الطاقة المولدة منه

:(Cost of electricity by source)

هي حساب تكلفة إنتاج الكهرباء عند نقطة التوصيل بالشبكة العامة للكهرباء أو إلى الحمل وتقاس بوحدة نقدية/ك و س، وذلك خلال العمر الافتراضي للمحطة أو التكنولوجيا المنتجة للكهرباء آخرين في الإعتبار كلا من التكلفة التأسيسية (رأس المال الأولى)، معدل الخصم، عامل السعة بالإضافة إلى تكلفة التشغيل المستمر والوقود والصيانة. تكون أهمية حساب قيمة التكلفة لمصادر الطاقة المختلفة في أنها تعطي مرجعية تساعد صانعي القرار على توجيه الاستثمارات طبقاً لاختيار تكنولوجيا الطاقة المختلفة

يوضح جدول (1) تكليف الطاقة الكهربائية لمصادر الطاقة المختلفة

(Source : EIA, NREL)

جدول (1) تكاليف الطاقة الكهربائية لمصادر الطاقة المختلفة

(Source : EIA ، NREL، 2012)

(<http://www.marketoracle.co.uk/Article38024.html>)

المصدر	التكلفة (\$/kwh)
فحـم	0.036
نوـويـة	0.024
كـهـرـوـمـائـيـة	0.092
ترـبـيـنـةـ غـازـيـة	0.049
ريـاحـ (offshore)	0.04 : 0.15
ريـاحـ (onshore)	0.07 : 0.20
شـمـسـىـ،ـ فـوـتـوـفـلـتـيـةـ	0.15 : 0.59
شـمـسـىـ،ـ مـرـكـزـاتـ	0.06 : 0.30
الطاقة الحرارية الأرضية	0.04 : 0.13

تكلفة الطاقة ذات المستوى الواحد :

(Levelized cost of Energy) (LCOE)

(Levelized Energy Cost) (LEC)

(ويعرف أيضاً بـ التكلفة النسبية للطاقة)

هو صافي القيمة الحالية لتكلفة وحدة الكهرباء على مدى عمر أصول معدات إنتاج الكهرباء.

وهو تقييم اقتصادي من الدرجة الأولى للتنافسية من حيث تكلفة نظام إنتاج الكهرباء والتي تشمل جميع التكاليف على مدى عمر تشغيل النظام مثل: الإستثمارات الأولية، التشغيل والصيانة، تكلفة رأس المال.

إن معادلة حساب LCOE هي أداة تحليلية واحدة والتي يتم استخدامها لمقارنة التكنولوجيات البديلة عند اختلاف مقياس التشغيل، الاستثمارات، والدورة الزمنية

للتشغيل. مثلاً تستخدم المعادلة LCOE لمقارنة تكاليف الطاقة المنتجة من محطات المركبات الحرارية ومحطات الإنتاج بالوقود الأحفوري أو أي نوع آخر من تكنولوجيات إنتاج الطاقة.

تحسب تكلفة الطاقة من القيمة الحالية لكل التكاليف على مدى عمر تشغيل الأصول مقسوماً على الناتج الإجمالي للأصول في مجال الطاقة الكهربائي.

أى ان:

$$\text{التكلفة النسبية للطاقة (LCOE)} = \frac{\text{مجموع التكاليف خلال عمر التشغيل}}{\text{مجموع الطاقة الكهربائية المنتجة خلال عمر التشغيل}}$$

ولذا لحساب التكلفة النسبية للطاقة يحتاج لجميع البيانات الآتية خلال عمر التشغيل:

- تكاليف الاستثمارات
- تكاليف الصيانة والتشغيل
- تكاليف الوقود
- كمية الطاقة الكهربائية المنتجة
- معدل الخصم
- عمر التشغيل المتوقع للنظام أو لمحطة الكهرباء

عادة يتم حساب التكلفة النسبية للطاقة على مدار 20 إلى 40 سنة بوحدات دولار / م وس أو يورو / ك وس أو لكل م وس، ومع ذلك ، ينبغي توخي الحذر عند مقارنة مختلف دراسات التكلفة النسبية للطاقة ومصادر المعلومات حيث أن التكلفة النسبية للطاقة الخاصة بمصدر الطاقة المعطى تعتمد بشكل كبير على الافتراضات، وشروط التمويل والتطوير التكنولوجي المohanl بصفة خاصة. ولذا فإن المتطلب الأساسي للتحليل هو وجود بيان واضح لقابلية التحليل على التطبيق بناءً على الافتراضات المبررة.

يوضح جدول (2) القيمة المتوقعة لتكاليف مصادر الإنتاج الجديدة (2018)، ويتبين من الجدول إن أعلى تكلفة متوقعة لتكاليف إنتاج الطاقة الكهربائية تكون من المحطات الشمسية الحرارية.

جدول (2) القيمة المتوقعة لتكاليف مصادر الإنتاج(2018)

نوع المحطة	عامل السعة %	التكلفة المتوسطة النسبية للطاقة				
		استثمارات النقل	التكلفة المتغيرة للصيانة والتشغيل (والوقود)	التكلفة الثابتة للصيانة والتشغيل	تكلفة رأس المال النسبية	\$/Mwh) في سنة 2011 للمحطات الداخلة بالخدمة في (2018)
إجمالي التكلفة النسبية للطاقة						
الفحم التقليدي	85	100.1	1.2	29.2	4.1	65.7
الفحم المتقدم	85	123.0	1.2	30.7	4.8	84.4
الفحم المتقدم مع CCS	85	135.5	1.2	37.2	8.8	88.4
الغاز الطبيعي: الدورة المجمعة الاعتيادية	87	67.1	1.2	48.4	1.7	15.8
الغاز الطبيعي: الدورة المجمعة المتقدمة	87	65.6	1.2	45.0	2.0	17.4
الغاز الطبيعي: CCS مع CCS	87	93.4	1.2	54.1	4.1	34.0
الغاز الطبيعي: توربين الاحتراق التقليدي	30	130.3	3.4	80.0	2.7	44.2
الغاز الطبيعي: توربين الاحتراق المتقدم	30	104.6	3.4	68.2	2.6	30.4
نووية متقدمة	90	108.4	1.1	12.3	11.6	83.4
أرضية حرارية	92	89.6	1.4	0.0	12.0	76.2
كتلة حيوية	83	111.0	1.2	42.3	14.3	53.2
رياح (offshore)	34	86.6	3.2	0.0	13.1	70.3
رياح (onshore)	37	221.5	5.7	0.0	22.4	193.4
خلايا شمسية	25	144.3	4.0	0.0	9.9	130.4
شمسية حرارية	20	261.5	5.9	0.0	41.4	214.2
كهرومائية	52	90.3	2.0	6.1	4.1	78.1

(Source:<https://www.marefa.org/>)

تكاليف إنتاج الطاقة من محطات المركبات الشمسية الحرارية

إن تكاليف إنتاج الطاقة الكهربائية حالياً من تكنولوجيا المركبات الشمسية الحرارية تكون أعلى من الانتاج بإستخدام التكنولوجيات (الوقود الأحفوري - النووي - الرياح - الخلايا الشمسية). أثبتت الدراسات والأبحاث وجود فرص متعددة لإانخفاض التكلفة خاصة مع التطور الواسع لأحجام المحطات الكبيرة، بالإضافة إلى التحسن المستمر في تكنولوجيا CSP، ومن المتوقع إنخفاض التكاليف بنسبة كبيرة جداً. تعتمد اقتصadiات إنشاء محطات CSP أساساً على حجم المحطة، يعرف الحجم بدالة قدرة المخرج والذي يرتبط مباشرة بمساحة الأرض المستخدمة، حالياً نجد أن أقل قدرة لمحطة:

- طبق سترينج قطع مكافئ : 1 MWe
- برج الطاقة المركزي : 10 MWe
- حوض قطع مكافئ : 50 MWe

ونجد أن التكلفة التقديرية لمحطة طبق قطع مكافئ مستقل حوالي 5000 € / kW_e بينما تكون التكلفة لأنظمة البرج المركزي وحوض القطع المكافئ أقل من 3000 € / kW_e حالياً تستهدف الدول الانتاج بقدرات بين 200 & 100 Mwe و التي ستؤدي إلى انخفاض التكاليف ومن المتوقع عند إجراء تطورات في تكنولوجيا المركبات الشمسية الحرارية ستتحفظ التكاليف بنسبة تصل إلى 50 % هذه الإجراءات تعتمد على عدة عوامل تبعاً لنوع التكاليف ، والتي تتقسم إلى:

- التكاليف الشمسية (Solar costs) وهي تعنى تكاليف المهام المتعلقة بالشمس، والتي من المتوقع أن تنخفض عند تحقق الانتاج بالجملة مع تطور أبحاث أنظمة المرايا (حيث تمثل المجمعات الشمسية حالياً نسبة 40 % : 30 % من التكاليف الاستثمارية للمحطة) ويكون ذلك مصحوباً بتطور الأنظمة البصرية الجديدة .

- التكاليف غير الشمسية (Non - Solar costs) وهي تعنى باقي مهام المحطة، تنخفض هذه التكاليف بزيادة كفاءة أنظمة النقل الحراري، وزيادة كفاءة دورة مجموعة القوى، وإنتاج البخار المباشر بالتكامل مع الأنظمة التقليدية، وزيادة درجة حرارة البخار بغرض تحسين كفاءة دورة البخار لإنتاج الكهرباء.

مثال لذلك، أن التكلفة التقديرية النسبية للطاقة (LCOE) لمحطة المركبات الشمسية الحرارية قدرة 100 MWe حوالي € 12 / kwh يمكن أن تتحفظ التكاليف عمليا عند الانتاج بالجملة لحقل هليوستات وزيادة القدرة الى 200 Mwe أيضاً بزيادة البسيطة في درجة حرارة التشغيل °C 580 مصحوباً بتحسين تصميم الهليوستات يمكن أن تتحفظ التكاليف بنسبة 10% وتصل التكلفة إلى € 9 / kwh خاصة إذا أمكن التغلب على حدوث تآكل بدون ارتفاع كبير في التكاليف .

تكاليف محطات حوض قطع مكافىء

في محطات حوض قطع مكافىء تكون التكاليف، تقريراً منسوبة إلى التكاليف الكلية كالتالي:

- تكلفة الحقل الشمسي حوالي من 60% إلى 80%
- تكلفة مجموعة القوى (بدون تخزين طاقة) حوالي من 10% إلى 15%
- في حالة وجود تخزين طاقة تكون التكلفة حوالي من 15 % إلى 20%
- باقي التكاليف تكون للأعمال المدنية والبنية الأساسية للموقع وأية أعمال أخرى

لتخفيف تكاليف محطات حوض قطع مكافىء، يؤخذ الآتي في الإعتبار:

- اختيار الموقع المثالي لمحطة
- الحجم المثالي لمحطة
- زيادة سعة التخزين وعامل السعة
- تحسين التكنولوجيا المستمر
- زيادة التنافسية
- زيادة معدلات المعرفة

توضح الجداول من رقم (3) إلى رقم (13) تكاليف المكونات والأعمال لمحطة حوض قطع مكافىء لفترات مختلفة ولمحطات قائمة بالخدمة وبعضها لعدد ساعات تخزين محددة وعامل شمسي (SM) محدد، كذلك تكاليف مكونات الحقل الشمسي وتكاليف الصيانة والتشغيل

جدول (3) نسبة تكاليف المكونات والاعمال لمحطة حوض قطع مكافئ
(1991 - SEGS) 80 Mw

البند	نسبة المشاركة
الحقل الشمسي (المعدات)	37%
الحقل الشمسي (الأعمال المدنية + الانشاءات)	7%
نظام مائع نقل الحرارة (المعدات)	8%
نظام مائع نقل الحرارة (الأعمال المدنية والانشاءات)	3%
أعمال الموقع	3%
الخدمات	7%
مجموعه القوي (المعدات)	15%
مجموعه القوي (الأعمال المدنية + الانشاءات)	4%
باقي المكونات (المعدات)	10%
باقي المكونات (الأعمال المدنية + الانشاءات)	6%

(Source: DeutschesZentrum (DLR))

جدول (4) نسبة تكاليف مكونات محطة حوض قطع مكافئ 100 MWe ، عدد 12 ساعة تخزين و 2.5 عامل شمسي (SM)

البند	نسبة المشاركة
التركيبات/الانشاءات	2%
نظام تجميع الإشعاع الشمسي	58%
نظام التخزين الحراري	23%
الغلاية (مولد البخار)	3%
مجموعه القوي	14%

(Source: NREL 2004)

جدول (5) نسبة تكاليف مكونات الحقل الشمسي لمحطة حوض قطع مكافئ (2011)

البند	نسبة المشاركة
التركيبات	14 %
المرايا	14 %
الهيكل المعدني	27 %
الزيوت الحرارية	4 %
الأنابيب	11 %
الاساسيات	11 %
تجهيزات الأرض	6 %
أعمال أخرى	13 %

(Source: www.Jeonardo-energy.org/)

جدول (6) قيمة تكاليف مكونات الحقل الشمسي لمحطة حوض قطع مكافئ (SM)، عدد 12 ساعة تخزين، و 2.5 عامل شمسي (100 MWe)

البند	نسبة المشاركة
المستقبل	20%
المرايا	19%
الهيكل المعدني	29%
وسيلة التتبع	6%
أنابيب التوصيل	5%
التحكمات	7%
أنابيب الممرات الصاعدة	3%
الإشعاعات	4%
مائع نقل الحرارة	3%
أعمال أخرى	4%

(Source: NREL 2004)

جدول (7) نسبة تكاليف مكونات محطة حوض قطع مكافئ 50 MWe، عدد 7 ساعة تخزين

البند	نسبة المشاركة
الحقل الشمسي	%30
التخزين	%9
ادارة المشروع	%8
أعمال مدنية	%7
مجموعه القوي	%5
مائع نقل الحرارة	%5
تكاليف مالية	%6
تطوير المشروع	%3
التوصيل بالشبكة	%3
المرببات	%14
متنوعات	%2
آخر	%8

(Source: IEA 2010)

جدول (8) قيمة تكاليف مكونات محطة حوض قطع مكافئ 50 MWe، عدد 7.5 ساعة تخزين (Andasol – 1) (محطة)

المكون	التكلفة (M \$)
الحقل الشمسي وعمالة الموقع	62.4
معدات الحقل الشمسي ومائع نقل الحرارة	140.3
نظام التخزين الحراري	38.4
مجموعه القوي	52.0
آخر	71.0
الإجمالي	364

(Source: <http://hub.globalccsinstitute.com/>)

جدول (9) التكاليف التقديرية لمكونات حقل حوض القطع المكافئ

الوحدة	التكلفة التقديرية	المكون
€/m ² (لمساحة المجمع)	28-40	مرايا القطع المكافئ (السمك العادي لمرايا زجاجية)
€/m ² (لمساحة المجمع)	50-65	هيكل صلب (المعدن)
€/m (الطول المستقل)	200-300	مستقبل مفرغ (vacuum receiver)
(لتر) €/ℓ	3.0-7.0	الزيت الحراري
€/m ² (لمساحة المجمع)	200-240	مجمع حوض القطع المكافئ (مضافاً إليه الإنشاءات)
€/m ² (لمساحة المجمع)	230-290	إنشاءات الحقل الشمسي (مواسير التوصيل، نظام التخزين الحراري)

(Source: <http://www.slideshare.net/Rizwan114/>)

جدول (10) التكاليف الاستثمارية لبعض محطات حوض القطع المكافئ

Fichtner	Sargent & Lundy				الوحدة	المكون
2008	2008		2003			
T 100	T 100	T 100	T 100	SEGS VI		محطة القوى
مختلط	تخزين	بدون تخزين	تخزين	مختلط		
160	172	171	67	67	\$/m ²	هيكل ثبيت
60	53	53	43	43	\$/m ²	مستقبلات
60	63	63	40	43	\$/m ²	مرايا
150	141	141	250	234	\$/m ²	شمسي BOP
2500	1183	1183	306	527	\$/kWe	مجموعة قوى / BOP
-	765	-	958	-	\$/kWe	تخزين حراري
559	671	447	254	92	M\$	التكاليف الإستثمارية الكلية
5594	6708	4471	5073	3052	\$/kwe	

(Source: Fichtner)

**جدول(11) التكاليف الاستثمارية لبعض أنواع محطات المركبات الشمسية
الحرارية حوض قطع مكافئ**

آخر (المراجع)	التكلفة \$/kw	عامل السعة %	خزان تخزين	نوع المحطة
Hinkley,2011:Turchi: 2010a	4600-7100	20-25%	لا تحتوي	حوض قطع مكافئ
Cohen,1999	3000-4000			محطات مشروع التي SEGS تعمل منذ 1984
Hinkley,2011:Turchi: 2010a Turchi:2010b,fichtner 2010	7300-9000	>40%	4-6.5 hrs	حوض قطع مكافئ
IRENA، 2012 (INTERNATIONAL RENEWABLE ENERGY AGENCY)	5500-8000		لا تحتوي	حوض قطع مكافئ 2011- 2010
IEA، 2010a (INTERNATIONAL ENERGY AGENCY)	7500-8500		تحتوي	حوض قطع مكافئ كبير
	4200-8400		تحتوي	

(Source: <http://www.etap.org-www.irena.org/>)

جدول (12) تكاليف الصيانة والتشغيل لبعض محطات حوض القطع المكافئ

Fichtner	Sargent & Lundy					المكون
2008	2008		2003		الوحدة	
T 100	T 100	T 100	T 100	SEGS VI		محطة قوى
مختلط	تخزين	بدون تخزين	تخزين	مختلط		
120	78	67	115	63	\$/kW _e	التكاليف السنوية للصيانة والتشغيل

(Source: Fichtner)

جدول (13) تكلفة kWh في بعض محطات حوض القطع المكافئ المركزية بالصين (2010)

\$/kWh _e	قدرة المحطة
0.16	100 MW
0.14	1000 MW
0.12	1000 MW (2020)

(Source: Fichtner)

تكاليف محطات برج الطاقة المركزية:

توضح الجداول من رقم (14) إلى رقم (17) تكاليف المكونات والأعمال لمحطات برج طاقة مركزي لقدرات مختلفة ولمحطات قائمة بالخدمة وبعضها عدد ساعات تخزين محددة، كذلك تكاليف هليوستات وبيبين شكل (1) تطور خطوط أنتاج وتكاليف الهليوستات (www.researchgate.net/publication/224802065_Solar_Thermal_Plants_-_Power_and_Processs_Heat)

جدول (14) تكاليف مكونات محطة برج مركزي 11MW، إسبانيا (PS-10)

المكون	التكلفة (M Euros)
الحقل الشمسي	12.6
مجموعة القوى	8.4
المستقبل	5.25
البرج	1.05
التخزين	1.05
الأرض	0.7
تكاليف غير مباشرة	5.95
الإجمالي	35

(Source: <https://hub.Globalccsinstitute.com>)

جدول (15) تكاليف مكونات هليوستات 148 m²

البند	التكلفة (\$/m ²)
موديول مرايا	23.06
هيكل تثبيت	21.21
ميكانيزم تتبع	27.11
التحكم	1.94
مدير كهربائي	1.79
توصيلات الحقل	7.4
الإنشاءات	2.28
القاعدة	16.96
فائدة	18.41
ضبط محاور الحقل	6.34

(Source: data taken from (Kolb, 2007))

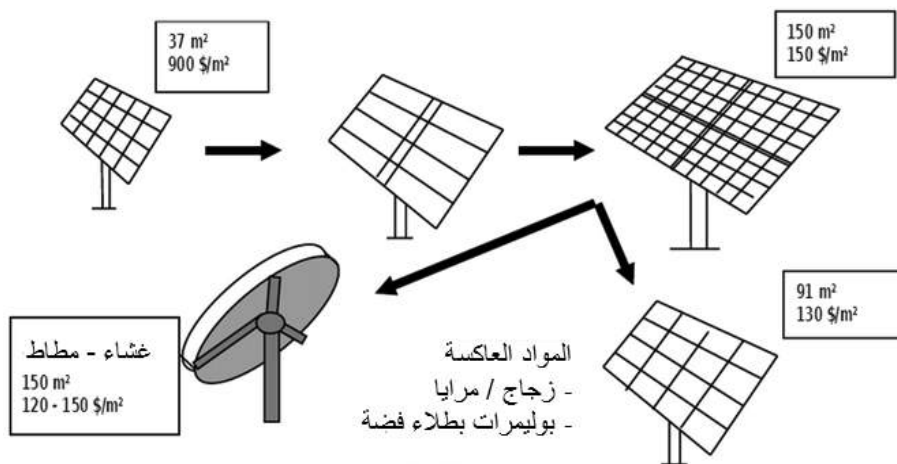
جدول (16) التكاليف الإستثمارية لمحطة برج الطاقة المركزي

آخرى (المراجع)	النكلفة \$/kw	عامل السعة %	خزان تخزين	نوع المحطة
Hinckley , 2011, Turchi 2010a, Turchi 2010b , Fichtner 2010,IRENA,2012	6300 - 7700	41-54 %	6-9 hrs	برج شمسي
	9000 - 10500	68-79 %	12-15 hrs	

(Source: www.etsap.org – www.Irena.org)

جدول (17) التكاليف الإستثمارية لبعض محطات برج الطاقة المركزي

Fichtner	Sargent &Lundy		الوحدة	المكون
2008	2008	2003		
Tower 47.25 MW	Solar Tres 13.56 MW	Solar Tres 13.56 MW		محطة القوى
شمسي فقط	تخزين	تخزين		
25.3	-	11.6	\$/m ²	الموقع/البنية الأساسية
191.2	230.6	160	\$/m ²	حقل الهليوستات
155 MW _{th}	280 m ²	280 m ²		المستقبل
151.5 \$/KWh _{th}	121680 \$/m ²	57143 \$/m ²		
18.9	21.99	11.6	\$/m ²	البرج والأنباب
1556.6	4719.6	1397.7	\$/kWe	مجموع القوى وباقى المكونات
-	24.9	49	\$/KW _{th}	التخزين الحراري
214	219	119	M\$	الكلية
4534	16905	8753	\$/kWe	



شكل (1) تطور خطوط إنتاج وتكليف الاهليوستات

تكليف محطات طبق سترينج قطع مكافى:

يوضح جدول (18) نسبة مشاركة تكليف مكونات محطة طبق قطع مكافى
جدول (18) نسبة مشاركة تكليف مكونات محطة طبق قطع مكافى

نسبة المشاركة	البند
38%	الحقل الشمسي
37%	مجموعة القوى
7%	المستقبل
1%	الأرض
17%	تكليف غير مباشرة

(Source: <https://hub.Globalccsinstitute.com>)

تكلفة الطاقة ذات المستوى الواحد لمحطات CSP : (Levelized cost of Energy) (LCOE)

نظراً للتغير في شكل وتناسب محطات المركبات الشمسية الحرارية CSP، فإن تكاليف الإنتاج أو تكاليف الطاقة ذات المستوى الواحد (التكلفة المتوسطة النسبية للطاقة) (بوحدة \$/Kwh(US) يكون مؤشر أفضل للتكلفة الحقيقة (بوحدة \$./Mw(US). يتغير عامل السعة (أو عامل الحمل) في مدى واسع لمحطات CSP. المحطات ذات نفس مساحة الحقل الشمسي ونفس الطاقة المنتجة سنوياً، يمكن أن يختلف حجم المولدات اعتماداً على إحتواها أو عدم إحتواها على نظام تخزين الطاقة.

تحسب تكاليف الطاقة من التكاليف المتاحة وبيانات الأداء للمشروعات الكاملة حالياً والمشروعات تحت الإنشاء. تعتمد تكاليف الإنتاج على:

- الإشعاع العادي المباشر (DNI) عند موقع المشروع، والموضحة في

شكل (2)

• حجم المحطة والتصميم المثالي لمحطة

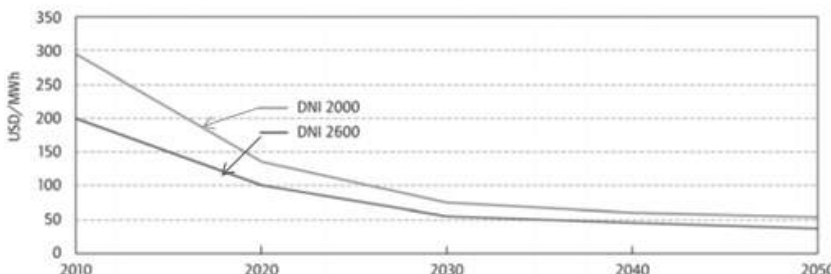
• تكاليف التكنولوجيا

• التحقق من انخفاض التكاليف عند تحسن التكنولوجيا

• زيادة التنافسية

• تأثير معدلات المعرفة

توضح الجدولين (19) & (20) تكاليف الطاقة ذات المستوى الواحد
CSP (\$/kwh)



شكل (2) تقييم تكاليف الطاقة ذات المستوى الواحد (\$/Mwh)
لمستويين مختلفين للإشعاع العادي المباشر (DNI)

جدول (19) تكاليف الطاقة ذات المستوى الواحد (\$/kwh)

البند	محطات حوض قطع مكافئ	محطات برج الطاقة المركزي	محطات طبق قطع مكافئ	محطات فرسنيل الخطية
التكاليف الحالية	0.3 : 0.75	0.2 : 0.9	----	----
التكاليف المستقبلية	0.06 : 0.08	0.06 : 0.08	0.05 : 0.08	0.06 : 0.08

(Source: www.ifc.org)

جدول (20) تكاليف محطات CSP في 2011

LCE (2010 \$/Kwh)	التشغيل والصيانة (2010 \$/kwh)	عامل السعة (%)	تكاليف الإنشاءات (2010 \$/KW)	النوع		
0.14: 0.36	0.02 : 0.035	20%:25%	4600	بدون تخزين	غير مكتفٍ	
		40%:53%	7100:9800	عدد ساعات تخزين 6	غير مكتفٍ	
0.17 : 0.29		40%:45%	6300:7500	من 6 إلى 7.5 ساعة تخزين	نصف شمسى	
		65%: 80%	9000:10500	من 12 إلى 15 ساعة تخزين	نصف شمسى	

(Source: IRENA, June 2012)

تحفيض التكاليف من خلال اختيار الحجم الاقتصادي للمحطة (زيادة حجم المحطة)

أوضحت الدراسات أنه يمكن أن تتحفظ التكاليف المحددة لمحطة حوض قطع مكافئ قدرة MW 50 ولها تخزين حراري 7.5 ساعة بنسبة 12.1% عند زيادة القدرة إلى MW 100 وأن تتحفظ التكاليف بنسبة 20.3% عند زيادة القدرة إلى MW 200 ، وهذا موضح في جدول (21).

يلاحظ في جدول (21) إنخفاض تكاليف: إدارة المشروع - باقى مكونات المحطة - مجموعة القوى - الربط بالشبكة، والنتيجة إنخفاض التكاليف المحددة بين 20%، 25% إذا زادت القدرة من 50MW إلى 200MW.

جدول (21) إنخفاض التكاليف عند زيادة حجم محطة حوض قطع مكافى

البند	حجم المحطة 50MW	حجم المحطة 200 MW
المرتبات	13.9 %	11.3 %
الحقل الشمسي	30.4 %	28.8 %
التخزين الحراري	9.3 %	9.3 %
إدارة المشروع	8.3 %	2.3 %
باقى مكونات المحطة	7.7 %	4.2 %
الأعمال المدينة	7.2 %	7.2 %
مجموعة القوى	5.3 %	3.4 %
مائع نقل الحرارة	5.1 %	4.8 %
مالية المشروع	6.1 %	4.9 %
تطوير المشروع	2.7 %	0.7 %
الربط بالشبكة	2.7 %	1.5 %
أخرى	1.6 %	1.5 %
إجمالي الإستثمارات	100 %	100 %

(Source: Kistner)

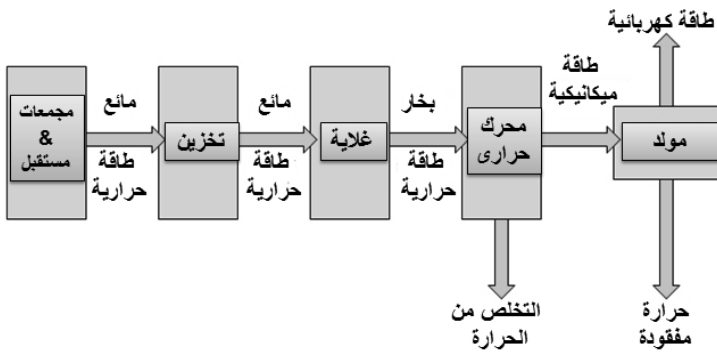
حقائق:

- ❖ المحطات الأكبر تكون أكثر تكلفة فعلية من المحطات الصغيرة.
- ❖ محطة حوض القطع المكافى بنظام تخزين تكون تكلفتها أقل بنسبة 28.6% من محطة برج شمسي بنظام تخزين.
- ❖ من المتوقع أن تكاليف محطات البرج الشمسي سوف تنخفض أكثر من تكنولوجيا محطات حوض القطع المكافى.
- ❖ تكاليف إستثمار محطات المركبات الشمسية (CSP) بالصين \$/kWe 6810 (وهذا يكفى ثلثي التكالفة بالمقارنة بالمحطات بأوروبا) تكاليف الصيانة والتشغيل لمحطات CSP بالصين تمثل 1.25% من إجمالي التكاليف الإستثمارية في السنة (ويقابلها تكلفة 2% للصيانة والتشغيل بمحطات أوروبا).
- ❖ تكلفة الطاقة ذات المستوى الواحد (LCE) لمحطة قطع مكافى قدره 41MW بالصين تكون أقل تكلفة بنسبة 44% مقارنة بالممايز بأوروبا.

الباب الحادى عشر
إنتاج الطاقة من محطات المركبات الشمسية الحرارية
Energy Yield of Concentrated Solar Thermal Power
(CSP) Plants

تقوم أنظمة إنتاج الطاقة الشمسية الحرارية (الكهربائية) بتجمیع وتركيز أشعة الشمس لإنجاح الحرارة العالية اللازمة لإنجاح الكهرباء. جميع أنظمة الطاقة الحرارية الشمسية لديها مجمعات طاقة شمسية مع مكونين رئيسيين : "عاكسات (المرايا)" التي تلقط وتركز ضوء الشمس على "المستقبل" في معظم أنواع الأنظمة، يتم تسخين مائع نقل الحرارة ومروره في المستقبل والذي يستخدم لإنجاح البخار. ويتم تحويل البخار إلى طاقة ميكانيكية في التوربينات، والتي تعمل على إدراة مولد لإنجاح الكهرباء. كما أن نظم الطاقة الشمسية الحرارية لديها أنظمة تتبع والتي تعمل على تركيز أشعة الشمس على المجمعات على مدار اليوم كلما تغير موضع الشمس في السماء.

كما يمكن أن تحتوي أنظمة الطاقة الشمسية الحرارية أيضا على مكونات نظام تخزين الطاقة الحرارية التي تسمح لنظام تجمیع الطاقة الشمسية بتسخين نظام تخزين الطاقة خلال النهار، وتستخدم الحرارة من نظام التخزين لإنجاح الكهرباء في المساء أو أثناء الطقس الغائم. وقد تكون لمحطات الطاقة الشمسية الحرارية أيضاً أنظمة هجين تستخدم أنواع الوقود الأخرى (عادة الغاز الطبيعي) لتكميله الطاقة من الشمس خلال فترات الإشعاع الشمسي المنخفض ويوضح شكل (1) تمثيل لمكونات أنظمة إنتاج الطاقة الشمسية الحرارية



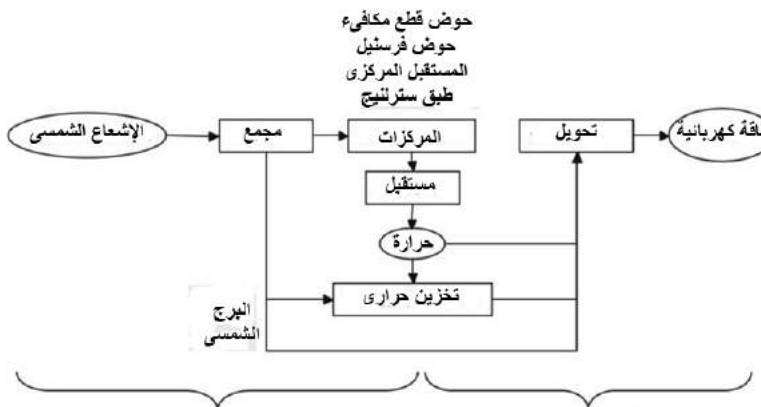
شكل (1) تمثيل لمكونات أنظمة إنتاج الطاقة الشمسية الحرارية

كفاءة محطات المركبات الشمسية الحرارية

تصنف كفاءة الإشعاع الشمسي / الكهربى (Solar- to- electricity / الكهربى) إلى : efficiency

- كفاءة تحول الإشعاع الشمسي إلى حرارة (Solar – to – heat – efficiency)
- كفاءة تحول الحرارة إلى كهرباء (Heat – to - electric efficiency)

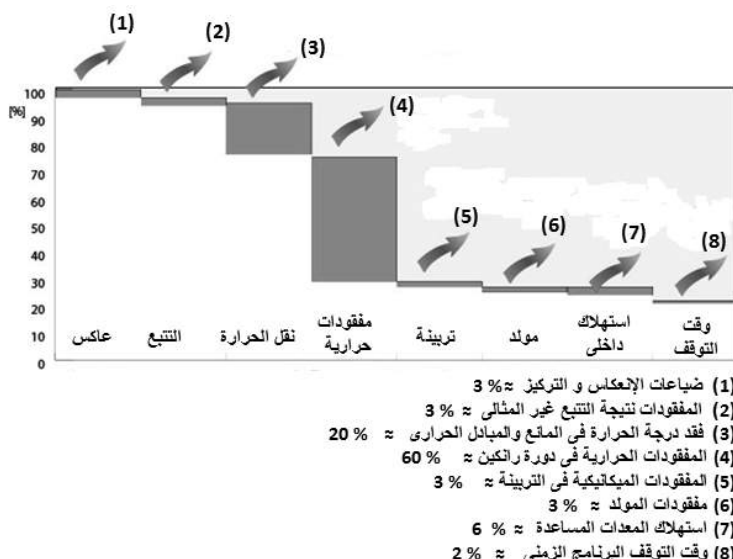
يوضح شكل (2) هذا التصنيف



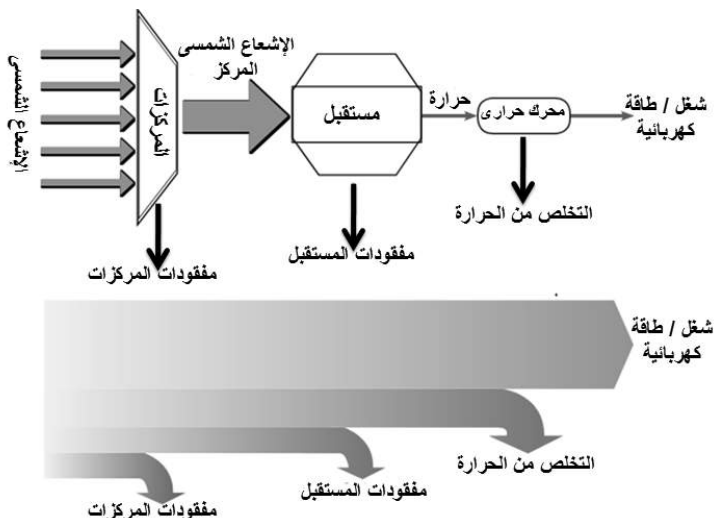
شكل (2) تصنیف أنواع كفاءة محطات المركبات الشمسية الحرارية

لحساب الكفاءة في محطات المركبات الشمسية الحرارية، يتم أولاً تحديد المفقودات، وتحدث أغلب مفقودات الطاقة في دورة الديناميكا الحرارية والتى تكون مسؤولة عن إدارة التربينة. ومن المعروف أن كفاءة دورة الديناميكا الحرارية (η_{cycle}) تتناسب مع أقصى درجة حرارة يمكن الوصول إليها بواسطة المركبات الشمسية، ويكون أكبر مكون فقد في دورة الديناميكا الحرارية هي المفقودات الحرارية في دورة رانكين (Rankine cycle) والتي يمكن أن تصل أقصى نسبة نظرية لها إلى 64 % ويوضح الشكلين (3) & (4) أنواع مفقودات الطاقة في أنظمة CSP ، ويتم التعبير عن الكفاءة الكلية للمحطة بكل من: كفاءة المستقبل الشمسي ، وكفاءة دورة الديناميكا الحرارية. كما في المعادلة التالية:

$$\eta_{CSP} = \eta_{receiver} \cdot \eta_{cycle}$$



شكل (3) التمثيل النموذجي لمفقودات أنظمة إنتاج الطاقة الشمسية الحرارية



شكل (4) أنواع مفقودات الطاقة في أنظمة CSP

اتزان الطاقة على المستقبل (energy balance on a receiver)

توضح المعادلة التالية معادلة اتزان الطاقة للحصول على الطاقة المفيدة (useful energy) على المستقبل، وهي الفرق بين الطاقة المستقبلة من المجمع و الطاقة المفقودة نتيجة الإشعاع (convection) و التوصيل (radiation) :

$$Q_{\text{useful}} = Q_{\text{sun}} - Q_{\text{losses}}$$

حيث:

$= Q_{\text{sun}}$ = الطاقة المستقبلة من الشمس

$= Q_{\text{losses}}$ = الطاقة المفقودة

لتحديد الطاقة المستقبلة من الشمس تأتي الحاجة لعرض بعض التعريفات التالية:

الإشعاع الداخل إلى الجسم

يكون هذا الإشعاع منعكس (reflected) أو ممتص (absorbed) أو مرسل (transmitted) كما هو موضح بشكل (5)

العلاقة بين أنواع الإشعاعات كالتالي:

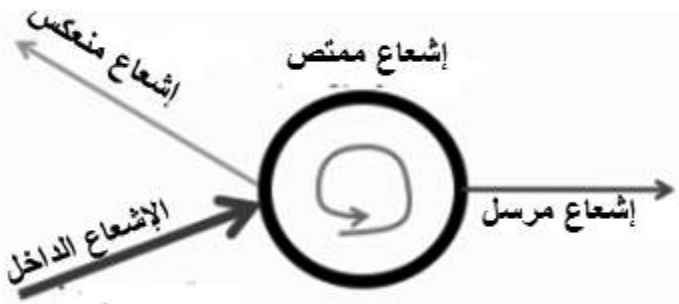
$$\alpha + \rho + \tau = 1$$

حيث:

α = درجة الامتصاص (absorbance) و هي النسبة بين الفيض الممتص في الجسم إلى الفيض الداخل إلى الجسم.

τ = معامل النفاذية (transmittance) و هي النسبة بين الفيض المنقول من الجسم إلى الفيض الداخل إلى الجسم.

ρ = عامل الانعكاسية (reflectance) و هي النسبة بين الفيض المنعكس من الجسم إلى الفيض الداخل إلى الجسم.



شكل (5) تعریفات أنواع الإشعاعات

و تخضع معادلة اتزان الطاقة للآتي:

$$Q_{\text{useful}} = I_a \rho_m A_{\text{ap}} T \alpha_r R S - Q_{\text{losses}} \quad (\text{in W})$$

$$Q_{\text{losses}} = A_r \epsilon \sigma T^4_{\text{surface}} \quad (\text{in W})$$

حيث:

I_a = الإشعاع (isolation) (بوحدة W/m^2)

A_{ap} = مساحة الفتحة (m^2)

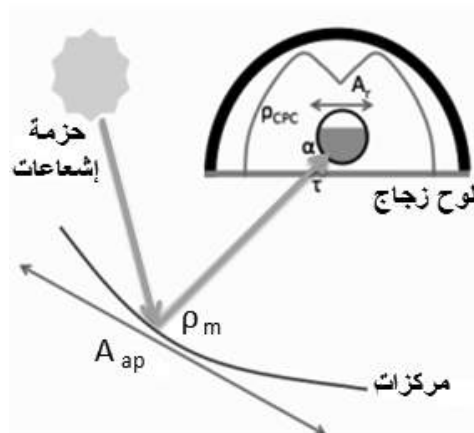
ρ_m = عامل الإنعكاسية للمرابيا (reflection factor or reflectance)

α_r = درجة امتصاص المستقبل (absorbency or absorbance)

S = عامل ظل المستقبل (receiver-shading factor)

R = عامل منع المستقبل (receiver-intercept factor) (وهو الجزء من مساحة المجمع والذي لا يتعرض للظل أو حجب الضوء)

A_r = مساحة المستقبل (m^2)
 ϵ = انبعاثية المستقبل (emissivity) هي النسبة بين الفيض المشع من الجسم (بواسطة الإشعاع) والفيض الذي يمكن أن يشع من الجسم إذا كان جسم أسود عند نفس درجة الحرارة.
 σ = ثابت ستيفان (Stefan's constant) (و يساوي $5.67 \times 10^{-6} J/s.m^2.k^4$)
 T = متوسط درجة حرارة الإشعاع (in $^{\circ}C$)
 يوضح شكل (6) بعض التعريفات المستخدمة لحساب اتزان الطاقة



شكل (6) بعض التعريفات المستخدمة لحساب اتزان الطاقة

معامل تحول الحرارة الكلي (overall heat transfer coefficient) يتم الحصول على هذا المعامل من المعادلة التالية:

$$UL = h_w + h_r + U_{cond}$$

$$h_w = 8.6 (V^{0.6}) / (L^{0.4})$$

$$h_r = 4 \epsilon \sigma T^3$$

حيث:

h_w = معامل تحول الحرارة بالتوسيط (convection heat transfer coefficient)

V = سرعة الرياح (m/s)

L = طول المستقبل (m)

h_r = معامل تحول الحرارة بالإشعاع (radiation heat transfer coefficient)

المفقودات الضوئية (optical losses)

توجد أنواع مختلفة من المفقودات، بعضها راجع إلى المجال الهندسي، والأخرى راجع إلى البيئة والجو المحيط. من أحد أهم هذه المفقودات و التي يجب أن تؤخذ في الإعتبار هي الفقد الراجع إلى تأثير جيب التمام (cosine effect). ويوضح شكل (7) تأثير جيب التمام.

وتعرف فعالية جيب التمام من المعادلة:

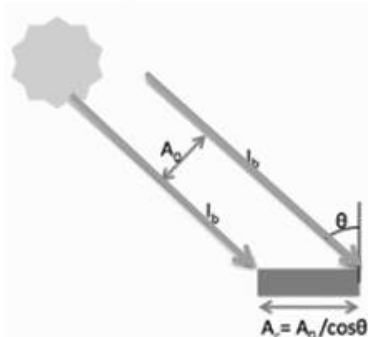
$$\epsilon_{\text{cos}} = I_c / I_b = \cos \Theta$$

حيث:

ϵ_{cos} = فعالية جيب التمام (cosine effectiveness)

I_c = الإشعاع على سطح المجمع

I_b = أشعة الحزمة (beam radiation)



شكل (7) ايضاح تأثير جيب التمام

إنتاج الطاقة من محطات المركبات الشمسية الحرارية

مؤشرات الكفاءة (Efficiency Indexes)

لتحديد أداء محطات المركبات الشمسية الحرارية يلزم معرفة وحساب مؤشرات الكفاءة، وعمليا يوجد عدد خمسة كفاءات تغطي أغلب المراحل الهامة لمسار سريان الطاقة والتى توضح تأثير المكونات المختلفة بالمحطة . فيما يلى تعریف هذه الكفاءات:

الكفاءة البصرية للحقل الشمسي

والتي تقارن بين الإشعاع الساقط على الممتص والإشعاع الشمسي الواقع على المرايا

$$\eta_{Optical} = \frac{E_{@absorber}}{E_{sun}} \frac{E_{@absorber}}{A_{ap. DNI}}$$

الكفاءة الحرارية للحقل الشمسي

$$\eta_{Thermal} = \frac{E_{HTF}}{E_{@absorber}}$$

كفاءة الأنابيب

والتي تشير الى تأثير المفقودات الحرارية بالأنابيب (شاملة المفقودات الحادثة فى فترات الليل) منسوبة إلى القدرة الحرارية المنتجة من مائع نقل الحرارة

$$\eta_{Piping} = \frac{E_{@boiler}}{E_{HTF}}$$

الكفاءة الصافية لمجموعة القوى

وهي تعبّر عن كفاءة تحويل المدخل الحراري إلى الطاقة الكهربائية، أو الكفاءة الصافية لمجموعة القوى والمحتوية أيضا على المفقودات الحرارية للمبادل الحراري

$$\eta_{net - PB} = \frac{E_{el,net-PB}}{E_{boiler}}$$

$$E_{el,net - PB} = E_{el,turb} - E_{el,pumps} - E_{el,aux_cond.}$$

كفاءة مساعدات الحقل الشمسي

وهي تعبر عن تأثير كل من استهلاك مضخات التدوير ونظام التتبع بالحقل الشمسي منسوبة إلى مخرج صافى مجموعة القوى

$$\eta_{aux-SF} = \frac{E_{el,net-PB} - E_{el,aux-SF}}{E_{el,net-PB}}$$

من هذه الكفاءات الخمسة نحصل على الكفاءة الكلية للمحطة أى الكفاءة الحرارية / الكهربائية

$$\begin{aligned}\eta_{Overall} &= \eta_{Optical} \cdot \eta_{Thermal} \cdot \eta_{Piping} \cdot \eta_{net-PB} \cdot \eta_{aux-SF} \\ &= E_{el,annual} / E_{sun} = P_{net} / E_{sun}\end{aligned}$$

من هذه المعادلة نحصل على الطاقة المنتجة من محطات المركبات الشمسية الحرارية

حيث :

$DNI =$ الإشعاع العادي المباشر (direct normal irradiance)

$A_{ap} =$ مساحة فتحة المجمع (aperture area of the collector)

$E_{@absorber} =$ الطاقة المصطدمه عند المتصاص (energy impinging on the absorber)

= أو القدرة النظرية المتاحة على سطح أنابيب الأمتصاص

$E_{sun} =$ الطاقة المصطدمه عند المرايا (energy impinging on the mirror)

= أو القدرة الحرارية الصافية المحولة إلى المائع

$E_{HTF} =$ طاقة مائع نقل الحرارة (energy to the HTF)

$E_{@boiler} =$ الطاقة الحرارية الداخلة إلى مجموعة القوى (thermal input to the PB)

$E_{el, net - PB} =$ صافى الطاقة الكهربائية لمجموعة القوى

$E_{el, turb} =$ فى دورة رانكين الشائعة (مياه / بخار) تعرف بأنها المخرج الكهربى لtribine البخار

(condensate and feed-water pumps consumption) = استهلاك مضخات مياه التغذية والتكتيف $E_{el, pumps}$

(condenser auxiliaries consumption) = استهلاك مساعدات المكثف $E_{el, aux_cond.}$

$E_{el, annual} = P_{net}$ = صافى الطاقة الكهربائية السنوية للمحطة

جميع مؤشرات الكفاءة يمكن أن تستخدم في :

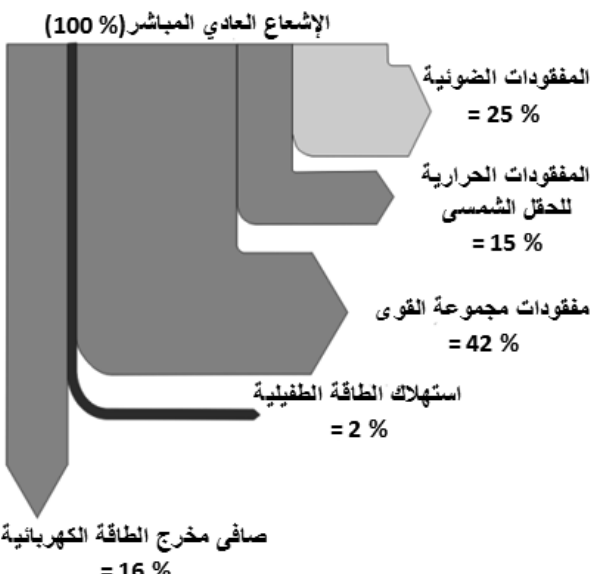
الحالات العادية والتى فيها تكون جميع المتغيرات كقدرة (watt)

حالات الاتزان السنوى للطاقة والتى فيها تكون المتغيرات كطاقة (Joule)

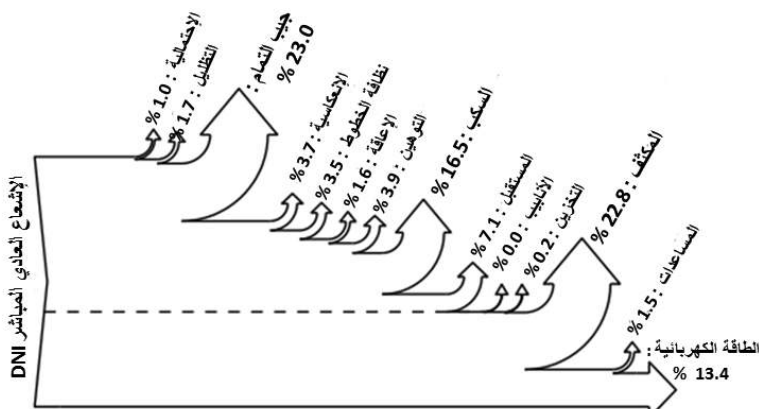
مخطط سانكي للطاقة المنتجة (Sankey diagram for Energy Yield)

هو مخطط بياني يوضح سريان الطاقة المنتجة من محطة مركبات شمسية حرارية أخذًا في الإعتبار نوع ونسبة المفقودات المختلفة (تنسب تسمية هذا المخطط إلى الكابتن الإيرلندي "ماتيو هنري ريل سانكي" الذي استخدم هذا النوع من الرسم في عام 1898 لتوضيح كفاءة استخدام الطاقة في محرك بخاري) يوضح شكل (8) سريان الطاقة التقريري في محطة مركبات شمسية حرارية حوض قطع مكافئ (قيمة متوسطة)

ويوضح شكل (9) مخطط سانكي للطاقة المنتجة ونسبة المفقودات لمحطة برج الطاقة المركزي (Gemasolar 20 MW_e) (Spelling 2011) بينما يوضح شكل (10) مثالين لتوزيع نسبة المفقودات في المكونات الرئيسية لمحطات طبق قطع مكافئ

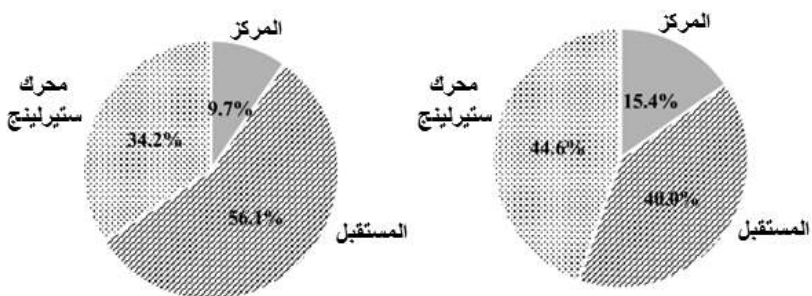


شكل (8) سريان الطاقة التقريري في محطة مركبات شمسية حرارية
حوض قطع مكافئ (قيم متوسطة)



شكل (9) مخطط سانكي للطاقة المنتجة ونسبة المفقودات لمحطة برج الطاقة
المركزي

(Gemasolar – 20 MW_e) (Spelling 2011)



شكل (10) مثلان لتوزيع نسبة المفقودات في المكونات الرئيسية لمحطات طبق قطع مكافئ

كفاءة استخدام الأرض لمحطات CSPs

توضح المعادلات التالية حساب كفاءة الإشعاع الشمسي / الكهربى لمحطات CSPs بالنسبة لمساحة الأرض المطلوبة، هذه الكفاءة تعنى كفاءة تحويل الإشعاع الشمسي إلى كهرباء (solar to electricity conversion efficiency) كفاءة الإشعاع الشمسي/الكهربى = (صافي الإنتاج السنوى للطاقة) ÷ (الإشعاع المباشر السنوى على فتحات المجمعات)

$$\text{عامل إستخدام الأرض} = \frac{\text{(مجموع مساحات فتحات العاكسات (المجمعات))}}{\text{(مساحة الأرض الكلية المطلوبة)}}$$

$$\text{كفاءة إستخدام الأرض} = \frac{\text{(كفاءة الإشعاع الشمسي / الكهربى)}}{\text{(أرض)}} \times \text{(عامل إستخدام الأرض)}$$

يوضح جدول (1):

كفاءة الإشعاع الشمسي / الكهربى

(Solar electric aperture related efficiency)

وعامل إستخدام الأرض (land use factor)

وكفاءة استخدام الأرض (land use efficiency) وذلك للتكنولوجيات المختلفة لمجموعات CSPs ومجموعة القوى (power cycle). ويوضح جدول (2) خصائص أداء أنواع محطات المركبات الشمسية

جدول (1) كفاءة الإشعاع الشمسي / الكهربى، عامل استخدام الأرض وكفاءة استخدام الأرض لتكنولوجيات CSPs مختلفة

نوع المجمع - دورة الكهرباء	كفاءة الإشعاع الشمسي / الكهربى منسوباً إلى الفتحات	عامل استخدام الأرض	كفاءة استخدام الأرض
- حوض قطع مكافئ دورة بخار -	11-16 %	25 – 40 %	3.5 - 5.6 %
- مستقبل مركزي دورة بخار -	12 – 16%	20 – 25 %	2.5 - 4.0 %
- فرسنل خطى دورة بخار -	8 – 12 %	60 – 80 %	4.8 - 9.6 %
- مستقبل مركزي دورة مركبة -	20 – 25 %	20 – 25 %	4.0 - 6.3 %
- مصفوفة أبراج شمسية متعددة - دورة بخار أو دورة مركبة -	15 – 25 %	60 – 80 %	9.0 - 20.0 %

(Source: solar paces conference Berlin, September 2009)
(Global potential of CSP)

جدول (2) خصائص أداء أنواع محطات المركبات الشمسية

نوع التكنولوجيا	حدود السعة (MW)	نسبة التركيز	أقصى كفاءة حرارية (%)	كفاءة الحرارة / كهرباء (%)	استخدام الأرض (m ² / MWha)
حوض قطع مكافئ	10-200	70-80	21	10-15	6-8
عاكس فرسنل	10-200	25-100	20	9-11	4-6
برج الطاقة	10-150	300-1000	20	8-10	8-12
طبق ستيرلننج	0.01-0.4	1000-3000	29	16-18	8-12

التأثيرات البيئية (Environmental impacts)

تقدر أبعاثات CO_2 من محطات المركبات الشمسية الحرارية بـ 17 g / kwh مقارنة بـ 776 g / kwh من محطات الكهرباء التي تستخدم الفحم، و 396 g / kwh من محطات الدورة المركبة التي تعمل بالغاز الطبيعي. ومع ذلك يجب مراعاة أن بعض محطات المركبات الشمسية الحرارية تستخدم الوقود الأحفوري كدعم احتياطي، ولذا لا يمكن اعتبارها كمحطة "بلا أبعاثات". وقد ذكر في آفاق تكنولوجيا الطاقة (Energy Technology Perspectives 2008) بالسيناريو الأزرق ان محطات CSPs سوف توفر سنويًا حوالي 1260 G tonCO₂ أي 7% من إجمالي $M \text{ tonCO}_2$ التي يمكن تلافيتها من إنتاج الكهرباء (منسوبة إلى السيناريو المرجعي). بالإضافة إلى تجنب الانبعاثات الملوثة الأخرى مثل: NO_x SO_x

الباب الثاني عشر

تطبيقات محطات قوى مجمعات حوض قطع مكافئ

(1) المحطة الشمسية الحرارية بالكريمات (جمهورية مصر العربية)

تعد أكبر مشروع ضمن 3 مشروعات تم تنفيذها على مستوى قارة أفريقيا في المغرب والجزائر ومصر، وتعتمد على ارتباط الدورة المركبة بالحقل الحراري الشمسي.

- يبلغ إجمالي مساحة الحقل الشمسي 644 ألف متر مربع
 - عدد مودولات المجمعات الشمسية 1920 وتحتوى على 53760 مرآيا.
 - بلغت نسبة التصنيع المحلي في المكون الشمسي نحو 50 %
 - قدرة المشروع 140 ميجاوات منها 20 ميجاوات مكون شمسي
- بدأ تشغيل المحطة تجاريًا اعتباراً من 30/6/2011
- تم اختيار موقع الكريمات جنوب الجيزة لـما له من مميزات أهمها:
- (1) أرض صحراوية غير مأهولة
 - (2) شدة إشعاع شمسي مباشر تصل إلى 2400 ك.و. س./م² سنـة
 - (3) شبكة كهربائية ممتدة وشبكة غاز طبيعي
 - (4) القرب من مصدر مياه (نهر النيل).

تم استخدام تكنولوجيا مركبات القطع المكافئ الإسطوانى بالإرتباط بالدورة المركبة التي تستخدم الغاز الطبيعي كوقود.

التصميم الهندسي للمشروع :
مكونات الدورة المركبة :

- عدد (2) تربينة غازية قدرة كل منها حوالي 41.5 ميجاوات تستخدم الغاز الطبيعي كوقود أساسى لتوليد الكهرباء بالإضافة إلى إمكانية استخدام المازوت كوقود بديل.
- عدد (2) وحدة استرجاع الحرارة وتوليد البخار (HRSG)، وتتكون من عدة مراحل (مبادلات حرارية) لتوليد البخار وتحميصه (بواسطة

حرارة غازات عادم التربينة الغازية) على مستويين مختلفين من الضغط.

- تربينة بخارية بقدرة 67 ميجاوات تستقبل البخار الناتج من وحدتي استرجاع الحرارة لتوليد الكهرباء.
- يتم تكثيف البخار الخارج من التربينة البخارية في المكثف، حيث يتم ضخ المياه المكثفة إلى نازع الغازات (Deaerator) ومنه يتم ضخ مياه التغذية مرة أخرى إلى وحدتي استرجاع الحرارة لاستكمال دورة إنتاج البخار.

الحقل الشمسي بالمحطة الشمسية الحرارية لتوليد الكهرباء - الكريمات

المساحة الكلية للمحطة $640 \text{ m} * 900 \text{ m} = 576000 \text{ m}^2$

مساحة المجمعات $131000 \text{ m}^2 =$

النسبة بين المساحة الكلية إلى مساحة المجمعات 4.4

$= 40 \text{ loop} = 11+11+9+9 = \text{إجمالي عدد الحلقات}$

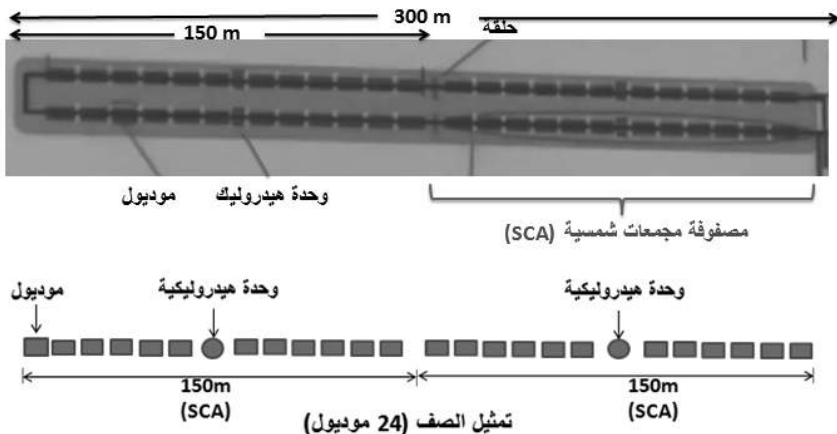
كل حلقة صفين تحتوي على 48 موديول (loop) الحلقة $= 2 \text{ row} = 24+24 \text{ module}$

(row) $= 2 \text{ SCA}$ الصف

$= 40 \text{ loop} \times 48 \text{ module} = 1920 \text{ module}$ إجمالي عدد الموديولات

كل حلقة مقسمة إلى 4 مصفوفات ، كل مصفوفة 6 موديولات + 6 موديولات بينهما وحدة هيدروليكية

(المصفوفة: (SCA) Solar Collector Assembly or Array أي أن الحلقة تتكون من صفين ، كل صف مصفوفتين ، كل مصفوفة 12 موديول مجمع ووحدة هيدروليكيه (الوحدة الهيدروليكيه مسؤولة عن تتبع الحلقة)، طول الصف 300 m وطول المصفوفة 150 m ويوضح شكل (1) الحلقة المكونة من 4 مصفوفات مجمعات شمسية (SCA)



شكل (1) الحلقة المكونة من 4 مصفوفات مجمعات شمسية (SCA)

كل 12 موديول ووحدة هيدروليكيه يطلق عليها مصفوفة (SCA):
طولها 150m ومساحتها 817 m^2

كل موديول يحتوي على 7×4 مرايات = 28 مرايا

$1.7 \text{ m} \times 1.6 \text{ m} \times (4-5 \text{ mm}) =$ مقاس المرايا

$76.16 \text{ m}^2 = 1.7 \times 1.6 \times 28 =$ مساحة الموديول

$(40 \text{ حلقة}) \times (4 \text{ مصفوفة}) =$ عدد المصفوفات (SCA)

$160 =$ مساحة فتحة المصفوفة (المجمع)

$817 \text{ m}^2 =$ مساحة المجمعات الشمسية

$130720 \text{ m}^2 = 817 \times 160 =$

$131000 \text{ m}^2 \approx$

البيانات الفنية للحقل الشمسي بالكريمات:

الحقل مقسم إلى 4 مناطق للحلقات بالإضافة إلى منطقة خامسة لمجموعة القوى

كما في شكل (2) & (3)

- عدد الحلقات = 40

- عدد مصفوفات المجمع الشمسي / الحلقة = 4

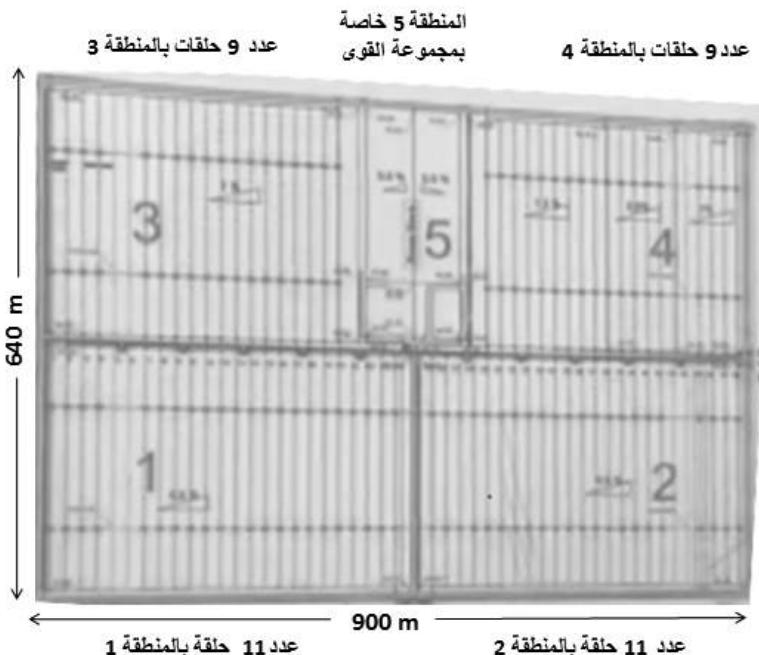
- إجمالي عدد مصفوفات المجمع الشمسي (SCA) = 160

- عدد الموديولات / مصفوفة = 12

- إجمالي عدد موبيلات المجمع الشمسي = 1920
- المساحة الفعلية الكلية للمرابيات = 131000 m^2
- أقصى مخرج للطاقة الحرارية من المجال الشمسي = $61 \text{ MW}_{\text{th}}$
- أقصى مخرج طاقة كهربائية = $20 \text{ MW}_{\text{el}}$
- درجة حرارة مدخل المائع = 293° C
- درجة حرارة مخرج المائع = 393° C
- نوع المائع = أملاح ذاتية



- شكل (2) الحقل الشمسي بالمحطة الشمسية الحرارية لتوليد الكهرباء -
الكريمات



شكل (3) تقسيم الحقل الشمسي بالمحطة الشمسية الحرارية لتوليد الكهرباء -
الكريمات

(2) وحدة تجريبية لإنتاج الطاقة وتحلية المياه باستخدام نظام المركزات الشمسية

Multipurpose Applications by Thermodynamic Solar (MATS)

مدينة الأبحاث العلمية والتطبيقات التكنولوجية - برج العرب - الاسكندرية

فى مجال توطين تكنولوجيا المركزات الشمسية وفى إطار اتفاقية التعاون بين
أكاديمية البحث العلمى والتكنولوجيا والوكالة الإيطالية ENE ، تم إعداد مقترن
محطة شمسية تجريبية متعددة الأغراض (توليد كهرباء، تحلية مياه) بإستخدام
تكنولوجيا الأملاح المذابة كمائع ناقل للحرارة ووسیط تخزين ، يهدف المشروع
إلى تصميم وبناء وحدات مركزات شمسية متعددة الأغراض بأحدث الأساليب

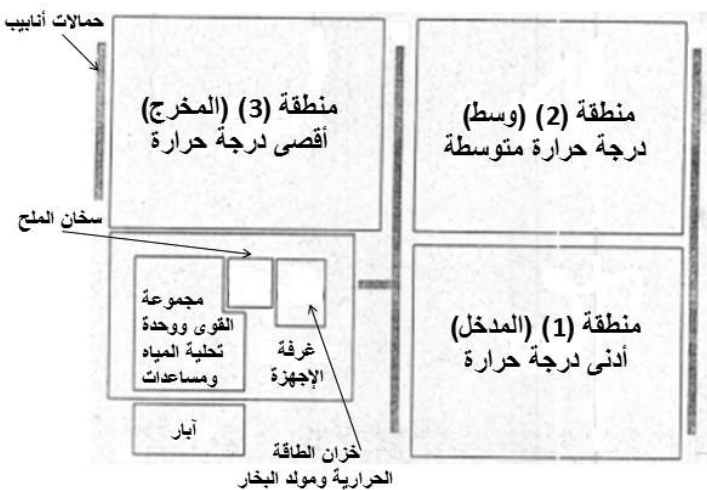
الเทคโนโลยية والقائمة على الابتكار لإنتاج الطاقة الكهربائية بقدرة واحد ميجاوات . وتقوم الوحدة بتحلية 250 متر مكعب في اليوم ، وقد تقرر بناء المشروع بمدينة الأبحاث العلمية والتطبيقات التكنولوجية بمدينة برج العرب الجديدة الإسكندرية.

الطاقة الكهربائية المنتجة ستوزع كالتالي:

- 200 كيلو وات لتغذية مساعدات المشروع
- 800 كيلو وات لتغذية أحمال مدينة الأبحاث العلمية والتطبيقات التكنولوجية

ت تكون المحطة كما فى شكل (4) من:

- الحقل الشمسي:
 - منطقة (1) (المدخل) أدنى درجة حرارة
 - منطقة (2) (وسط) درجة حرارة متوسطة
 - منطقة (3) (المخرج) أقصى درجة حرارة
 - مجموعة القوى ووحدة تحلية المياه ومساعدات (على مستوى (-4 متر)
 - خزان الطاقة الحرارية ومولد البخار (على مستوى (11 - متر)
 - سخان الملح (على مستوى (6.5 - متر)
- يستخدم الغاز الطبيعي في حالة صيانة الحقل الشمسي أو عدم إنتاج الطاقة الشمسية لفترة طويلة وذلك للحفاظ على الحالة السائلة لمحلول المذاب المستخدم لتخزين ونقل الطاقة الحرارية من الطاقة الشمسية.

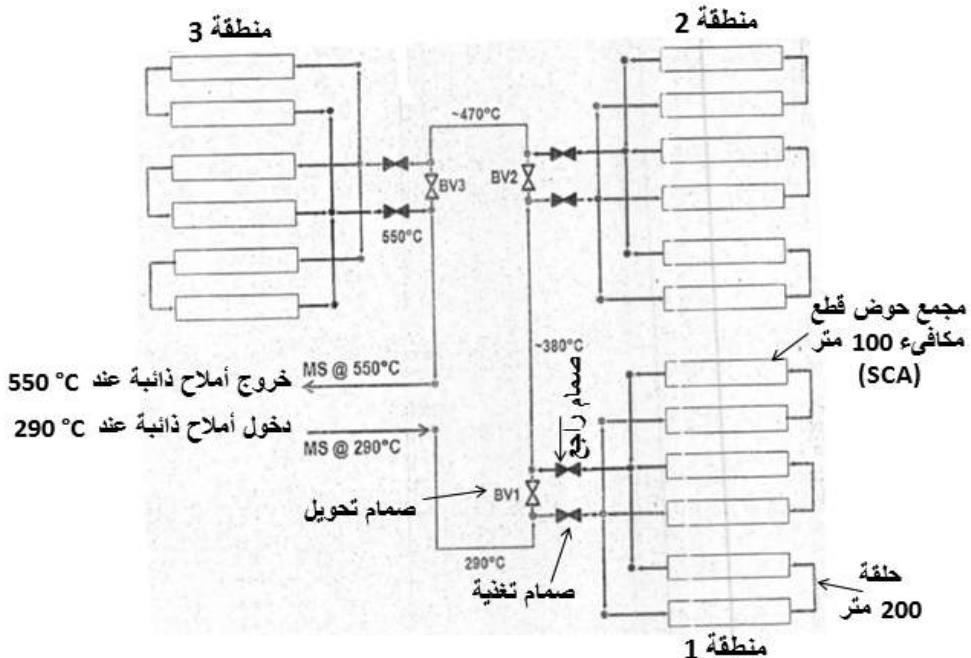


شكل (4) تمثيل للموقع الأساسية لوحدة MATS

مكونات الحقل الشمسي :

- عدد 18 مصفوفة مجمع شمسي (SCA) طول كل مصفوفة 100 m
- المساحة الكلية لأحواض المجمعات الشمسية 10000 متر مربع
- **المُستقبل (الممتص):**
 - مواسير استينلس ستيل مدهونة بمادة تساعد على امتصاص حرارة الشمس ومغلفة بمواسير من الزجاج لها نفاذية عالية ومفرغ الهواء بينهما.
 - الماسورة موضوعة في بؤرة مرايا تعكس أشعة الشمس
 - المواسير والمرايا مركبة على هيكل معدني يتم إدارته بنظام هيدروليكي دقيق لتتبع حركة الشمس من خلال حساسات لحركة الشمس
 - المياه المحلاة تستخدم في:
 - * تعويض مياه تغذية مولد البخار
 - * نظافة المرايا
 - * استخدامات معامل مدينة الأبحاث العلمية والتطبيقات التكنولوجية
 - تستخدم الأملام المذابة كمائع لنقل الحرارة

يوضح شكل (5) ترتيبة المجال الشمسي لوحدة MATS



شكل (5) ترتيبة المجال الشمسي لوحدة MATS

ملحق المحطات البخارية (Steam power plant)

إن عملية إنتاج الطاقة الكهربائية هي عملية تحويل الطاقة من شكل إلى آخر حسب مصادر الطاقة المتوفرة في مراكز الطلب على الطاقة الكهربائية وحسب الكميات المطلوبة لهذه الطاقة، الأمر الذي يحدد أنواع محطات الانتاج وكذلك أنواع الاستهلاك وأنواع الوقود ومصادره كلها تؤثر في تحديد نوع المحطة ومكانها وقدرتها.

أنواع محطات إنتاج الكهرباء :

1. محطات الإنتاج البخارية.
2. محطات الإنتاج النووية.
3. محطات الإنتاج المائية.
4. محطات الإنتاج من المد والجزر
5. محطات الإنتاج ذات الاحتراق الداخلي (ديزل - غازية)
6. محطات الإنتاج بواسطة الرياح.
7. محطات الإنتاج بالطاقة الشمسية.

المحطات البخارية

- تستعمل أنواع مختلفة من الوقود حسب النوع المتوافر مثل: الفحم - البترول السائل - الغاز الطبيعي
- تتصف المحطات البخارية بـ كبر حجمها ورخص تكاليفها (مقارنة بالأنواع الأخرى)
- الفارق بين المحطات البخارية هو كيفية نقل وتخزين وتدالول وحرق الوقود
- العوامل المؤثرة على اختيار الموقع المناسب للمحطة:

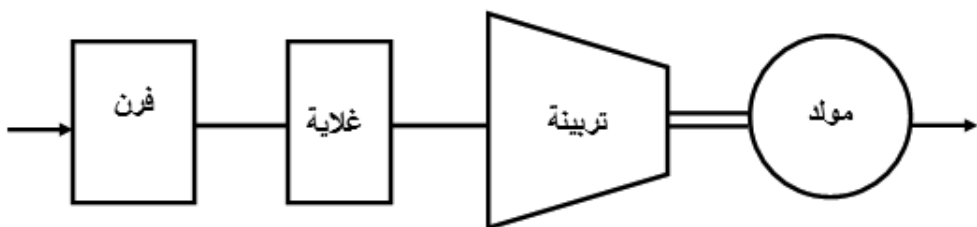
- ❖ القرب من مصادر الوقود المتاحه وسهولة نقله وتوافر وسائل النقل
- ❖ القرب من مصادر مياه التبريد (حيث يحتاج المكثف الي كميات كبيرة من مياه التبريد) لذلك تبني هذه المحطات عادة علي شواطئ البحار او بالقرب من مجاري مائية.

وتعتمد المحطات البخارية على استعمال نوع الوقود المتوفر وحرقه في أفران خاصة لتحويل الطاقة الكيميائية في الوقود الى طاقة حرارية في اللهب الناتج من عملية الاحتراق ثم استعمال الطاقة الحرارية في تسخين المياه في غلايات خاصة (BOILERS) وتحويلها الى بخار في درجة حرارة وضغط معين ثم تسلیط هذا البخار على توربينات بخارية صممته لهذه الغاية فيقوم البخار السريع بتدوير محور التوربينات وبذلك تتحول الطاقة الحرارية الى طاقة ميكانيكية على محور هذه التوربينات . يربط محور المولد الكهربائي ربطاً مباشراً مع محور التوربينات البخارية فيدور محور المولد الكهربائي بنفس السرعة وباستغلال خاصية المغناطيسية للعضو الدوار (ROTOR) من المولد والجزء الثابت (STATOR) منه تتولد على طرف في الجزء الثابت من المولد الطاقة الكهربائية اللازمة ..

لا يوجد فوارق أساسية بين المحطات البخارية التي تستعمل أنواع الوقود المختلفة إلا من حيث طرق نقل وتخزين وتدالو وحرق الوقود . وقد كان استعمال الفحم الحجري شائعاً في أواخر القرن الماضي وأوائل هذا القرن ، إلا أن اكتشاف واستخراج البترول ومنتجاته أحدث تغييراً جذرياً في المحطات الحرارية حيث أصبح يستعمل بنسبة تسعين بالمئة لسهولة نقله وتخزينه وحرقه إن كان بصورة وقود سائل أو غازي

المكونات الرئيسية للمحطات البخارية

يوضح شكل (1) المكونات الأساسية بالمحطة البخارية



شكل (1) المكونات الاساسية بالمحطة البخارية

1. الفرن (Furnace)

عبارة عن وعاء لحرق الوقود ، يختلف في الشكل والنوع طبقا لنوع الوقود المستخدم ، وملحق به وسائل تخزين ونقل وتداول الوقود ، والتخلص من المخلفات . ويكون عمل الفرن تحويل الطاقة الكيميائية في الوقود الى طاقة حرارية في اللهب الناتج عن عملية الاحتراق ثم استعمال الطاقة الحرارية في تسخين المياه في الغلايات

2. الغلاية (Boiler)

تقوم بانتاج بخار محمض أو جاف Super-heated steam / Dry steam
يوضح شكل (2) تمثيل الغلاية



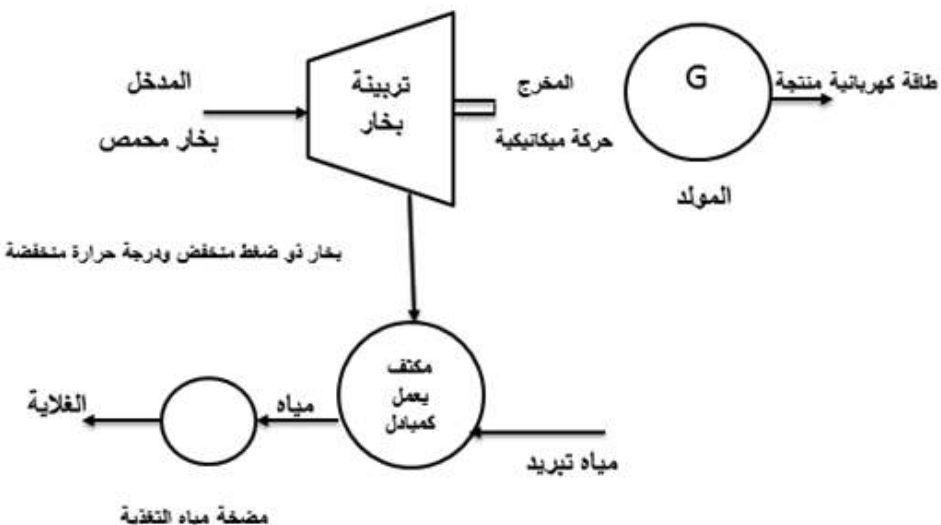
تصل درجة حرارة اللهب الى 1000 C°

شكل (2) تمثيل الغلاية

3. التربينة (Turbine) الحرارية

تقوم التربينة بتحويل الطاقة الحرارية الموجودة في البخار الى طاقة المحطات البخارية

ميكانيكية ممثلة في تدوير محور الترتبة المتصلة ميكانيكيا بالمولد
فيدور منتجا الطاقة الكهربائية، كما هو واضح بـشكل (3)



شكل (3) تمثيل الترتبة البخارية

4. المكثف Condenser

يكثف البخار ذي الضغط المنخفض ودرجة حرارة منخفضة الخارج من الترتبة ويتحول الى مياه ويضخ الى الغالية ليعاد تسخينه من جديد فكرة المكثف:

- تأخذ المياه الباردة من البحر أو النهر (بدون تنقية سوي مرشحات لجز الشوائب) وتمر بمواسير داخل المكثف
- يمر البخار المراد تكثيفه حول مواسير التبريد
- عن طريق التبادل الحراري يكتسب الماء البارد الحرارة الموجودة في البخار حتى يتكون
- بمجرد ان يتحول هذا البخار الى مياه فان مضخة مياه التغذية (boiler feed pump) تضخ هذه المياه من جديد الى الغالية ليعاد تسخينه من جديد

٥. برج التبريد (Cooling tower)

يستخدم برج التبريد مع المكثف لتخزين مياه تبريد لتغذية المكثف وذلك بالمحطات غير الواقعة على مصدر لمياه التبريد بجوار المحطة الحرارية

٦. المدخنة (Chimney)

هي مدخنة من الطوب الحراري اسطوانية الشكل مرتفعة جدا ، تقوم بطرد غازات الاحتراق الى الجو علي ارتفاع شاهق جدا بحيث يتم تقليل تلوث البيئة المحيطة بالمحطة.

٧. المولد الكهربى (Generator)

يتكون المولد من عضو دوار (rotor) متصل مباشرة مع محور الترددية ، وعضو ثابت (stator) عن طريق ملفات العصوين الدوار والثابت يتحول المجال المغناطيسي الدوار الى تيار كهربى (الطاقة الكهربائية) علي طرفي ملف العضو الثابت.

تعتبر محطة كهرباء شبرا الخيمة "البخارية" لتوليد الطاقة الكهربائية، واحدة من أكبر وأهم المحطات البخارية في الشرق الأوسط وأفريقيا وأقدمها أيضاً، إذ تبلغ قدرتها 1300 ميجاوات، وتمثل 4% من إجمالي الطاقة الكهربائية المولدة في مصر وحوالي 16% بالنسبة للفاورة. يوضح شكل (4) محطة كهرباء شبرا الخيمة "البخارية"، ويوضح شكل (5) محطة الكريمات "البخارية"



شكل (4) محطة كهرباء شيرا الخيمة "البخارية"



شكل (5) محطة الكريمات "البخارية"

References

[1]UNDERSTANDING SOLAR CONCENTRATORS

By George M. Kaplan

Technical Reviewers,Dr. Thomas E. Bowman,Dr. Maurice Raiford,JesseRibot

Illustrated By Rick Jali

[2]<http://www.powerfromthesun.net/Book/chapter09/chapter09.html>

[3]http://literature.rockwellautomation.com/idc/groups/literature/documents/wp/oem-wp009_-en-p.pdf

[4]http://www.appropedia.org/Understanding_solar_concentrators

[5]<http://cleanleap.com/7-solar-technology-assessment-and-appropriate-technology-options/71-solar-thermal-technology>

[6]<https://inhabitat.com/nevadas-new-molten-salt-solar-plant-will-produce-power-long-after-the-sun-sets/moltensalt/>

[7]<http://www.renewableenergyfocus.com/view/17095/csp-developments-in-heat-transfer-and-storage-materials/>

[8]<http://solarenergyengineering.asmedigitalcollection.asme.org/article.aspx?articleid=2607877>

[9]http://research3.fit.edu/nhc/documents/TES_NAI_Journal_Final.pdf

[10]<http://mechanicalinventions.blogspot.com.eg/2014/07/one-axis-tracking-concentrator.html>

[11]<http://www.industrial-solar.de/content/en/maerkte/fresnel-collector/>

[12]https://www.researchgate.net/publication/273696030_Dynamic_Modelling_of_Concentrated_Solar_Field_for_Thermal_Energy_Storage_Integration

[13]<http://www.ee.co.za/article/linear-fresnel-systems-future-csp.html>

[14]<http://www.sciencedirect.com/science/article/pii/S0960148115302494>

[15]<https://www.geni.org/globalenergy/research/review-and-comparison-of-solar-technologies/Review-and-Comparison-of-Different-Solar-Technologies.pdf>

[16]http://www.solarcellcentral.com/csp_page.html

[17]<http://www.alpha-e.com/at350-specifications.html>

[18]<http://landartgenerator.org/blagi/archives/2004>

[19]https://en.wikipedia.org/wiki/Frank_Shuman

[20] <http://www.skyfuel.com/en/technology/csp-101/>

[21]https://www.slideshare.net/swapnil_energy/concentrated-solar-power-technologies-csp-11509061

[22]<https://www.slideshare.net/asertseminar/solar-thermal-power>

[23]<https://newenergyportal.wordpress.com/category/solar-energy/>

[24]<https://www.nextbigfuture.com/2007/06/solar-cells-with-407-efficiency-made-58.html>

[25]<https://www.ecnmag.com/article/2013/11/cpv-technology-today-and-tomorrow>

[26]<https://sites.google.com/site/qasp22/comparison-of-pv-and-csp>

[27]https://www.researchgate.net/publication/311970734_Parametric_analysis_of_a_hybrid_solar_concentrating_photo voltaicconcentrating_solar_power_CPV_CSP_system

[28]https://en.wikipedia.org/wiki/Concentrated_solar_power#Efficiency

[29]<https://www.slideshare.net/IntertechPira/beningaworleyparsons>

[30]NREL is a national laboratory of the U.S. Department of Energy, Office of Energy Efficiency & Renewable Energy, operated by the Alliance for Sustainable Energy, LLC. Contract No. DE-AC36-08GO28308

Utility-Scale Parabolic Trough Solar Systems: Performance Acceptance Test Guidelines .April 2009 — December 2010

David Kearney Kearney& Associates Vashon, Washington

[31]Technical Manual for the SAM Physical Trough Model
Michael J. Wagner and Paul Gilman

[32]Estimating the Performance and Economic Value of Multiple Concentrating Solar Power Technologies in a Production Cost Model Jennie Jorgenson, Paul Denholm, Mark Mehos, and Craig Turchi

[33]Guidelines for CSP Yield Analysis – Optical Losses of Line Focusing Systems; Definitions, Sensitivity Analysis and Modeling...

Conference Paper in Energy Procedia · January 2013

DOI: 10.1016/j.egypro.2014.03.141 · Source: DLR

[34]Concentrated Solar Thermal Power

AnjaneyuluKrothapalli Department of Mechanical Engineering

Florida State University, Tallahassee, FL 32310
BrentonGreska

Sustainable Energy Technologies, LLC

St. Cloud, FL 34771

[35]Concentrated solar power plants: Review and design methodology H.L. Zhang ,J.Baeyens , J.Degr eve , G.Caceres

Renewable and Sustainable Energy Reviews 22 (2013)
466–481

[36]Global Potential of Concentrating Solar Power

Franz Trieb, Christoph Schillings, Marlene O’Sullivan, Thomas Pregger, Carsten Hoyer-Klick

SolarPaces Conference Berlin, September 2009

[37]Simplified Methodology for Designing Parabolic Trough Solar Power Plants

Ricardo Vasquez Padilla

University of South Florida, rvasque@mail.usf.edu

[38]An investigation on factors influencing dust accumulation on CSP mirrors

S. Pennetta, , S. Yu, , P. Borghesani, , M. Cholette, , John Barry, and , and Z. Guan

Published by the American Institute of Physics

[39]EUROTROUGH - Parabolic Trough Collector Developed for Cost Efficient Solar Power Generation

Michael Geyer ,EckhardLüpfer,

[40]Analysis & Design of Parabolic Trough Solar Thermal Power Plant for Typical Sites of Pakistan

Engr. ShahrukhSaleem, Prof. Dr. AzzamulAsar

[41]Reflector Soiling and Cleaning Methods

Fabian Wolfertstetter, DLR

@ SFERA Summer School

Hornberg, May 15th – 16th 2013

[42]Advanced CSP Teaching Materials

Chapter 6

Linear Fresnel Technology

Author

Matthias Günther

[43]Solar Engineering of Thermal Processes

Fourth Edition

John A. Duffie (Deceased)

Emeritus Professor of Chemical Engineering

[44]<https://www.google.com.eg/url?>

[45]<http://www.google.com/patents/US20130220303>

[46]<https://www.osapublishing.org/oe/abstract.cfm?uri=oe-24-14-a985>

[47]https://en.wikipedia.org/wiki/Solar_power_tower

[48]

<https://www.azocleantech.com/article.aspx?ArticleID=24>

[49]<http://www.seminarsonly.com/mech%20&%20auto/solar-power-towers-seminar-report-ppt.php>

[50]<https://hub.globalccsinstitute.com/publications/development-solar-and-wind-power-karnataka-and-tamil-nadu/71-solar-thermal-technology>

[51]<http://www.powerfromthesun.net/Book/chapter10/chapter10.html>

[52]<http://www.powerfromthesun.net/Book/chapter01/chapter01.html>

[53]<http://www.powertakeoff.com/blog/energy-efficiency-cheapest-fuel/>

[54]<http://www.marketoracle.co.uk/Article38024.html>

[55]<https://www.marefa.org/>

[56]<https://www.e-education.psu.edu/eme811/node/682>

[57]<http://turnkey-innovations.com/comparison-pv-csp/>

[58]<https://www.e-education.psu.edu/eme811/node/682>

[59]http://file.scirp.org/Html/7-6201461_31251.htm

[60]<https://www.slideshare.net/drpmills/81-to-84-2012>

[61]https://www.iea.org/publications/freepublications/publication/CSP_Essentials.pdf

[62]European Concentrated Solar Thermal Road-Map
(ECOSTAR SES6-CT-2003-502578), DLR

[63]Farah AL-Chaabani, Ahmed Ghamrawi, ChaibanHaykal and NazihMoubayed"Comparative study on PV and Thermal solar energy concentrators" (EEECEGC 2013), 2013

[64]Renewable energy technologies; cost analysis series concentrating solar power

IRENA, June 2012

[65]Towards cost reduction in CSP: innovative design for an efficient Fresnel based solar failed.

BUBEN ABBAS CAMARA

Ingeniero industrial

By: prof. Martinez-Val Penlosa, Madrid.

[66]Receiver Design Methodology for solar Tower plants

Joseph Stalin Maria Jebamalai

SE-10044, Stockholm, August 2016

جميع حقوق الطبع محفوظة للمؤلفة

رقم الإيداع

بدار الكتب والوثائق القومية

2018 / 16100

مطبعة

Crest Press

عنوان المطبعة: ١، شارع الأربعين، من جسر السويس، بجوار حديقة بدر

تلفون: ٠٦٢ ٧٠ ٢٢٩ ٤٢٠